



Tesis
Doctoral

Francisco
José Blanco
Rodríguez

1. Introducción
y objetivos

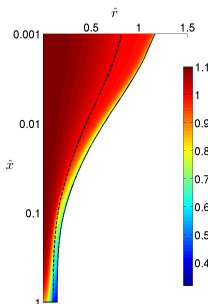
2. Modelado
matemático

3. Modelo 1-D

4. Modelo 2-D

5. Resultados
para fibras
compuestas

6. Conclusiones



NUMERICAL SIMULATION OF THE MOLECULAR ORIENTATION AND DEGREE OF CRYSTALLIZATION OF SEMI-CRYSTALLINE FIBRES

Autor: **Francisco José Blanco Rodríguez**
Director: **Dr. Juan I. Ramos**

Dept. de Lenguajes y Ciencias de la Computación
E.T.S.I. Industriales, Universidad de Málaga

23 de marzo de 2012, 12:00 h.
Lugar: **Sala de Grados B**



CONTENIDOS

Tesis
Doctoral

Francisco
José Blanco
Rodríguez

1. Introducción
y objetivos

2. Modelado
matemático

3. Modelo 1-D

4. Modelo 2-D

5. Resultados
para fibras
compuestas

6. Conclusiones

① Introducción y objetivos

- Introducción
- Antecedentes
- Fenómenos de orientación molecular y cristalización
- Consideraciones numéricas del proceso
- Objetivos de la tesis

② Modelo de fabricación de fibras. Melt spinning

- Formulación matemática. Ecuaciones y condiciones de contorno
- Adimensionalización
- Modelo de orientación molecular
- Modelo de cristalización

③ Modelo unidimensional

- Modelo asintótico 1-D para fibras compuestas amorphas
- Modelo asintótico 1-D para fibras anulares compuestas amorphas
- Modelo 1-D para la orientación molecular y grado de cristalización

④ Modelo bidimensional en estado estacionario

- Modelo estacionario 2-D para fibras compuestas semicristalinas
- Modelo estacionario 2-D para fibras anulares compuestas semicristalinas

⑤ Fibras semicristalinas compuestas. Resultados numéricos

- Introducción. Parámetros del proceso
- Resultados numéricos

⑥ Conclusiones



Tesis
Doctoral

Francisco
José Blanco
Rodríguez

1. Introducción
y objetivos

2. Modelado
matemático

3. Modelo 1-D

4. Modelo 2-D

5. Resultados
para fibras
compuestas

6. Conclusiones

1. INTRODUCCIÓN Y OBJETIVOS



INTRODUCCIÓN

Proceso de *melt spinning*

Tesis
Doctoral

Francisco
José Blanco
Rodríguez

1. Introducción
y objetivos

2. Modelado
matemático

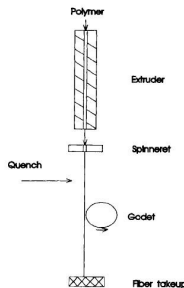
3. Modelo 1-D

4. Modelo 2-D

5. Resultados
para fibras
compuestas

6. Conclusiones

Involucra la extrusión y el estirado de una preforma cilíndrica de líquido. Se distinguen cuatro regiones.



- ① Región de flujo confinado.
- ② Región de reorganización del flujo.
- ③ Zona de estirado de la fibra.
- ④ Región de solidificación.



INTRODUCCIÓN

Proceso de *melt spinning*

Tesis
Doctoral

Francisco
José Blanco
Rodríguez

1. Introducción
y objetivos

2. Modelado
matemático

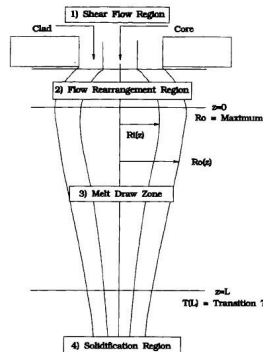
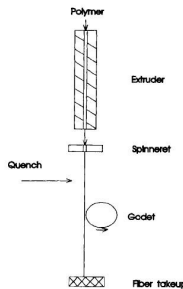
3. Modelo 1-D

4. Modelo 2-D

5. Resultados
para fibras
compuestas

6. Conclusiones

Involucra la extrusión y el estirado de una preforma cilíndrica de líquido. Se distinguen cuatro regiones.



- ① Región de flujo confinado.
- ② Región de reorganización del flujo.
- ③ Zona de estirado de la fibra.
- ④ Región de solidificación.



INTRODUCCIÓN

Proceso de *melt spinning*

Tesis
Doctoral

Francisco
José Blanco
Rodríguez

1. Introducción
y objetivos

2. Modelado
matemático

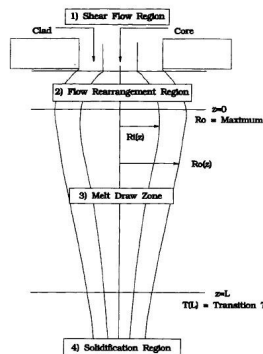
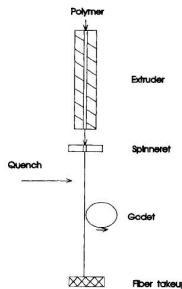
3. Modelo 1-D

4. Modelo 2-D

5. Resultados
para fibras
compuestas

6. Conclusiones

Involucra la extrusión y el estirado de una preforma cilíndrica de líquido. Se distinguen cuatro regiones.



- ① Región de flujo confinado.
- ② Región de reorganización del flujo.
- ③ Zona de estirado de la fibra.
- ④ Región de solidificación.



INTRODUCCIÓN

Proceso de *melt spinning*

Tesis
Doctoral

Francisco
José Blanco
Rodríguez

1. Introducción
y objetivos

2. Modelado
matemático

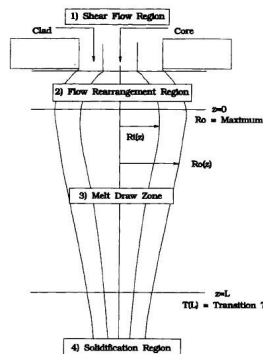
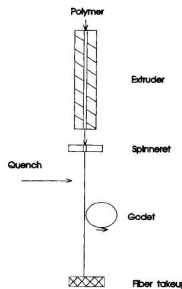
3. Modelo 1-D

4. Modelo 2-D

5. Resultados
para fibras
compuestas

6. Conclusiones

Involucra la extrusión y el estirado de una preforma cilíndrica de líquido. Se distinguen cuatro regiones.



- ① Región de flujo confinado.
- ② Región de reorganización del flujo.
- ③ Zona de estirado de la fibra.
- ④ Región de solidificación.



INTRODUCCIÓN

Proceso de *melt spinning*

Tesis
Doctoral

Francisco
José Blanco
Rodríguez

1. Introducción
y objetivos

2. Modelado
matemático

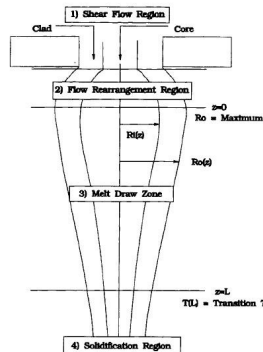
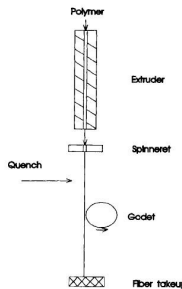
3. Modelo 1-D

4. Modelo 2-D

5. Resultados
para fibras
compuestas

6. Conclusiones

Involucra la extrusión y el estirado de una preforma cilíndrica de líquido. Se distinguen cuatro regiones.



- ① Región de flujo confinado.
- ② Región de reorganización del flujo.
- ③ **Zona de estirado de la fibra.**
- ④ Región de solidificación.



INTRODUCCIÓN

Proceso de *melt spinning*

Tesis
Doctoral

Francisco
José Blanco
Rodríguez

1. Introducción
y objetivos

2. Modelado
matemático

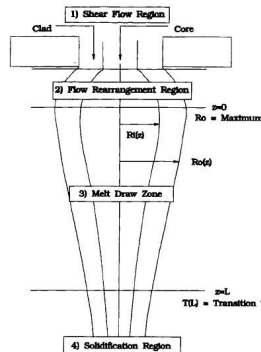
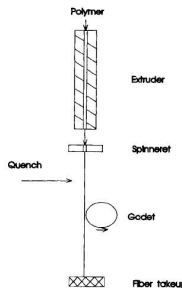
3. Modelo 1-D

4. Modelo 2-D

5. Resultados
para fibras
compuestas

6. Conclusiones

Involucra la extrusión y el estirado de una preforma cilíndrica de líquido. Se distinguen cuatro regiones.



- ① Región de flujo confinado.
- ② Región de reorganización del flujo.
- ③ **Zona de estirado de la fibra.**
- ④ Región de solidificación.



INTRODUCCIÓN

Proceso de *melt spinning*

Tesis
Doctoral

Francisco
José Blanco
Rodríguez

1. Introducción
y objetivos

2. Modelado
matemático

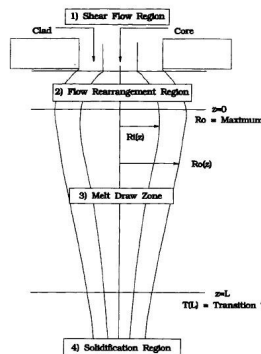
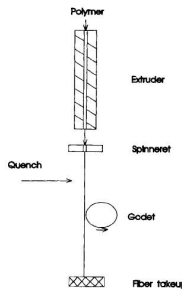
3. Modelo 1-D

4. Modelo 2-D

5. Resultados
para fibras
compuestas

6. Conclusiones

Involucra la extrusión y el estirado de una preforma cilíndrica de líquido. Se distinguen cuatro regiones.



- ① Región de flujo confinado.
- ② Región de reorganización del flujo.
- ③ **Zona de estirado de la fibra.**
- ④ Región de solidificación.



INTRODUCCIÓN

Aplicaciones y características del proceso

Tesis
Doctoral

Francisco
José Blanco
Rodríguez

1. Introducción
y objetivos

2. Modelado
matemático

3. Modelo 1-D

4. Modelo 2-D

5. Resultados
para fibras
compuestas

6. Conclusiones

- Gran interés en los últimos años por la fabricación MOF.
- Diferentes procesos de fabricación mediante torres de estirado.
- Uso de polímeros (POF).
- Correcto modelado del proceso de estirado.
- Aplicaciones

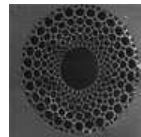
① Industria de las telecomunicaciones:

Transmisión de datos.

② Industria química: Procesos de filtración y separación.

③ Industria biomédica: cirugía por laser, ingeniería de tejidos, prótesis...

④ Industria textil





INTRODUCCIÓN

Aplicaciones y características del proceso

Tesis
Doctoral

Francisco
José Blanco
Rodríguez

1. Introducción
y objetivos

2. Modelado
matemático

3. Modelo 1-D

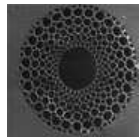
4. Modelo 2-D

5. Resultados
para fibras
compuestas

6. Conclusiones

- Gran interés en los últimos años por la fabricación MOF.
- Diferentes procesos de fabricación mediante torres de estirado.
- Uso de polímeros (POF).
- Correcto modelado del proceso de estirado.
- Aplicaciones

- **Industria de las telecomunicaciones:**
Transmisión de datos.
- **Industria química:** Procesos de filtración y separación.
- **Industria biomédica:** cirugía por laser, ingeniería de tejidos, prótesis...
- **Industria textil**





INTRODUCCIÓN

Aplicaciones y características del proceso

Tesis
Doctoral

Francisco
José Blanco
Rodríguez

1. Introducción
y objetivos

2. Modelado
matemático

3. Modelo 1-D

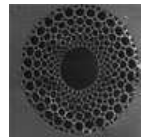
4. Modelo 2-D

5. Resultados
para fibras
compuestas

6. Conclusiones

- Gran interés en los últimos años por la fabricación MOF.
- Diferentes procesos de fabricación mediante torres de estirado.
- Uso de polímeros (POF).
- Correcto modelado del proceso de estirado.
- Aplicaciones

- Industria de las telecomunicaciones:
Transmisión de datos.
- Industria química: Procesos de filtración y separación.
- Industria biomédica: cirugía por laser,
ingeniería de tejidos, prótesis...
- Industria textil





INTRODUCCIÓN

Aplicaciones y características del proceso

Tesis
Doctoral

Francisco
José Blanco
Rodríguez

1. Introducción
y objetivos

2. Modelado
matemático

3. Modelo 1-D

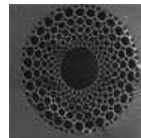
4. Modelo 2-D

5. Resultados
para fibras
compuestas

6. Conclusiones

- Gran interés en los últimos años por la fabricación MOF.
- Diferentes procesos de fabricación mediante torres de estirado.
- Uso de polímeros (POF).
- Correcto modelado del proceso de estirado.
- Aplicaciones

- Industria de las telecomunicaciones:
Transmisión de datos.
- Industria química: Procesos de filtración y separación.
- Industria biomédica: cirugía por laser,
ingeniería de tejidos, prótesis...
- Industria textil





INTRODUCCIÓN

Aplicaciones y características del proceso

Tesis
Doctoral

Francisco
José Blanco
Rodríguez

1. Introducción
y objetivos

2. Modelado
matemático

3. Modelo 1-D

4. Modelo 2-D

5. Resultados
para fibras
compuestas

6. Conclusiones

- Gran interés en los últimos años por la fabricación MOF.
- Diferentes procesos de fabricación mediante torres de estirado.
- Uso de polímeros (POF).
- Correcto modelado del proceso de estirado.
- Aplicaciones

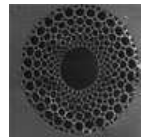
① Industria de las telecomunicaciones:

Transmisión de datos.

② Industria química: Procesos de filtración y separación.

③ Industria biomédica: cirugía por laser, ingeniería de tejidos, prótesis...

④ Industria textil





INTRODUCCIÓN

Aplicaciones y características del proceso

Tesis
Doctoral

Francisco
José Blanco
Rodríguez

1. Introducción
y objetivos

2. Modelado
matemático

3. Modelo 1-D

4. Modelo 2-D

5. Resultados
para fibras
compuestas

6. Conclusiones

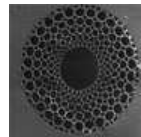
- Gran interés en los últimos años por la fabricación MOF.
- Diferentes procesos de fabricación mediante torres de estirado.
- Uso de polímeros (POF).
- Correcto modelado del proceso de estirado.
- Aplicaciones

1 Industria de las telecomunicaciones:
Transmisión de datos.

2 Industria química: Procesos de filtración y separación.

3 Industria biomédica: cirugía por laser,
ingeniería de tejidos, prótesis...

4 Industria textil





INTRODUCCIÓN

Aplicaciones y características del proceso

Tesis
Doctoral

Francisco
José Blanco
Rodríguez

1. Introducción
y objetivos

2. Modelado
matemático

3. Modelo 1-D

4. Modelo 2-D

5. Resultados
para fibras
compuestas

6. Conclusiones

- Gran interés en los últimos años por la fabricación MOF.
- Diferentes procesos de fabricación mediante torres de estirado.
- Uso de polímeros (POF).
- Correcto modelado del proceso de estirado.
- Aplicaciones

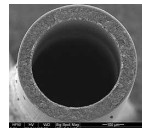
① **Industria de las telecomunicaciones:**

Transmisión de datos.

② **Industria química:** Procesos de filtración y separación.

③ **Industria biomédica:** cirugía por laser, ingeniería de tejidos, prótesis...

④ **Industria textil**





INTRODUCCIÓN

Aplicaciones y características del proceso

Tesis
Doctoral

Francisco
José Blanco
Rodríguez

1. Introducción
y objetivos

2. Modelado
matemático

3. Modelo 1-D

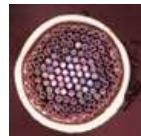
4. Modelo 2-D

5. Resultados
para fibras
compuestas

6. Conclusiones

- Gran interés en los últimos años por la fabricación MOF.
- Diferentes procesos de fabricación mediante torres de estirado.
- Uso de polímeros (POF).
- Correcto modelado del proceso de estirado.
- Aplicaciones

- ① **Industria de las telecomunicaciones:**
Transmisión de datos.
- ② **Industria química:** Procesos de filtración y separación.
- ③ **Industria biomédica:** cirugía por laser, ingeniería de tejidos, prótesis...
- ④ **Industria textil**





INTRODUCCIÓN

Aplicaciones y características del proceso

Tesis
Doctoral

Francisco
José Blanco
Rodríguez

1. Introducción
y objetivos

2. Modelado
matemático

3. Modelo 1-D

4. Modelo 2-D

5. Resultados
para fibras
compuestas

6. Conclusiones

- Gran interés en los últimos años por la fabricación MOF.
- Diferentes procesos de fabricación mediante torres de estirado.
- Uso de polímeros (POF).
- Correcto modelado del proceso de estirado.
- Aplicaciones

1 Industria de las telecomunicaciones:

Transmisión de datos.

2 Industria química: Procesos de filtración y separación.

3 Industria biomédica: cirugía por laser, ingeniería de tejidos, prótesis...

4 Industria textil



ANTECEDENTES

Estado del arte. Fibras compuestas

Tesis
Doctoral

Francisco
José Blanco
Rodríguez

1. Introducción
y objetivos

2. Modelado
matemático

3. Modelo 1-D

4. Modelo 2-D

5. Resultados
para fibras
compuestas

6. Conclusiones

Fibras compuestas

- ① Uso de métodos de perturbaciones para fibras compuestas isotermas para $De \ll 1$.
- ② Lee y Park estudiaron la estabilidad del modelo de Park.
- ③ Desarrollo de modelos de fibras compuestas isotermas basado en métodos asintóticos.
- ④ Inclusión de fenómenos de orientación molecular y cristalización para fibras compuestas usando parámetro de orden

Modelos 1-D ⇒ No variaciones radiales.



ANTECEDENTES

Estado del arte. Fibras compuestas

Tesis
Doctoral

Francisco
José Blanco
Rodríguez

1. Introducción
y objetivos

2. Modelado
matemático

3. Modelo 1-D

4. Modelo 2-D

5. Resultados
para fibras
compuestas

6. Conclusiones

Fibras compuestas

- ① Uso de métodos de perturbaciones para fibras compuestas isotermas para $De \ll 1$.
- ② Lee y Park estudiaron la estabilidad del modelo de Park.
- ③ Desarrollo de modelos de fibras compuestas isotermas basado en métodos asintóticos.
- ④ Inclusión de fenómenos de orientación molecular y cristalización para fibras compuestas usando parámetro de orden

Modelos 1-D ⇒ No variaciones radiales.



ANTECEDENTES

Estado del arte. Fibras compuestas

Tesis
Doctoral

Francisco
José Blanco
Rodríguez

1. Introducción
y objetivos

2. Modelado
matemático

3. Modelo 1-D

4. Modelo 2-D

5. Resultados
para fibras
compuestas

6. Conclusiones

Fibras compuestas

- ① Uso de métodos de perturbaciones para fibras compuestas isotermas para $De << 1$.
- ② Lee y Park estudiaron la estabilidad del modelo de Park.
- ③ Desarrollo de modelos de fibras compuestas isotermas basado en métodos asintóticos.
- ④ Inclusión de fenómenos de orientación molecular y cristalización para fibras compuestas usando parámetro de orden

Modelos 1-D \Rightarrow No variaciones radiales.



ANTECEDENTES

Estado del arte. Fibras compuestas

Tesis
Doctoral

Francisco
José Blanco
Rodríguez

1. Introducción
y objetivos

2. Modelado
matemático

3. Modelo 1-D

4. Modelo 2-D

5. Resultados
para fibras
compuestas

6. Conclusiones

Fibras compuestas

- ① Uso de métodos de perturbaciones para fibras compuestas isotermas para $De << 1$.
- ② Lee y Park estudiaron la estabilidad del modelo de Park.
- ③ Desarrollo de modelos de fibras compuestas isotermas basado en métodos asintóticos.
- ④ Inclusión de fenómenos de orientación molecular y cristalización para fibras compuestas usando parámetro de orden

Modelos 1-D \Rightarrow No variaciones radiales.



ANTECEDENTES

Estado del arte. Fibras compuestas

Tesis
Doctoral

Francisco
José Blanco
Rodríguez

1. Introducción
y objetivos

2. Modelado
matemático

3. Modelo 1-D

4. Modelo 2-D

5. Resultados
para fibras
compuestas

6. Conclusiones

Fibras compuestas

- ① Uso de métodos de perturbaciones para fibras compuestas isotermas para $De << 1$.
- ② Lee y Park estudiaron la estabilidad del modelo de Park.
- ③ Desarrollo de modelos de fibras compuestas isotermas basado en métodos asintóticos.
- ④ Inclusión de fenómenos de orientación molecular y cristalización para fibras compuestas usando parámetro de orden

Modelos 1-D ⇒ No variaciones radiales.



Fibras compuestas

- ① Uso de métodos de perturbaciones para fibras compuestas isotermas para $De << 1$.
- ② Lee y Park estudiaron la estabilidad del modelo de Park.
- ③ Desarrollo de modelos de fibras compuestas isotermas basado en métodos asintóticos.
- ④ Inclusión de fenómenos de orientación molecular y cristalización para fibras compuestas usando parámetro de orden

Modelos 1-D ⇒ No variaciones radiales.



ANTECEDENTES

Estado del arte. Fibras anulares compuestas

Tesis
Doctoral

Francisco
José Blanco
Rodríguez

1. Introducción
y objetivos

2. Modelado
matemático

3. Modelo 1-D

4. Modelo 2-D

5. Resultados
para fibras
compuestas

6. Conclusiones

Fibras anulares compuestas

- ① Análisis de flujos axilsimétricos estacionarios de *films* isotermos a $Re \ll 1$.
- ② Yeow estudió la estabilidad lineal del modelo de Pearson y Petrie.
- ③ Uso de un modelo de Cosserat unidimensional para el estudio de fibras ópticas huecas no isotermas.
- ④ Análisis asintótico basados en la esbeltez de las fibras de chorros líquidos anulares no isotermos a $Re \ll 1$.
- ⑤ Inclusión de fenómenos de orientación molecular y cristalización para fibras anulares compuestas usando parámetro de orden.



ANTECEDENTES

Estado del arte. Fibras anulares compuestas

Tesis
Doctoral

Francisco
José Blanco
Rodríguez

1. Introducción
y objetivos

2. Modelado
matemático

3. Modelo 1-D

4. Modelo 2-D

5. Resultados
para fibras
compuestas

6. Conclusiones

Fibras anulares compuestas

- ① Análisis de flujos axilsimétricos estacionarios de *films* isotermos a $Re \ll 1$.
- ② Yeow estudió la estabilidad lineal del modelo de Pearson y Petrie.
- ③ Uso de un modelo de Cosserat unidimensional para el estudio de fibras ópticas huecas no isotermas.
- ④ Análisis asintótico basados en la esbeltez de las fibras de chorros líquidos anulares no isotermos a $Re \ll 1$.
- ⑤ Inclusión de fenómenos de orientación molecular y cristalización para fibras anulares compuestas usando parámetro de orden.



ANTECEDENTES

Estado del arte. Fibras anulares compuestas

Tesis
Doctoral

Francisco
José Blanco
Rodríguez

1. Introducción
y objetivos

2. Modelado
matemático

3. Modelo 1-D

4. Modelo 2-D

5. Resultados
para fibras
compuestas

6. Conclusiones

Fibras anulares compuestas

- ① Análisis de flujos axilsimétricos estacionarios de *films* isotermos a $Re \ll 1$.
- ② Yeow estudió la estabilidad lineal del modelo de Pearson y Petrie.
- ③ Uso de un modelo de Cosserat unidimensional para el estudio de fibras ópticas huecas no isotermas.
- ④ Análisis asintótico basados en la esbeltez de las fibras de chorros líquidos anulares no isotermos a $Re \ll 1$.
- ⑤ Inclusión de fenómenos de orientación molecular y cristalización para fibras anulares compuestas usando parámetro de orden.



ANTECEDENTES

Estado del arte. Fibras anulares compuestas

Tesis
Doctoral

Francisco
José Blanco
Rodríguez

1. Introducción
y objetivos

2. Modelado
matemático

3. Modelo 1-D

4. Modelo 2-D

5. Resultados
para fibras
compuestas

6. Conclusiones

Fibras anulares compuestas

- ① Análisis de flujos axilsimétricos estacionarios de *films* isotermos a $Re \ll 1$.
- ② Yeow estudió la estabilidad lineal del modelo de Pearson y Petrie.
- ③ Uso de un modelo de Cosserat unidimensional para el estudio de fibras ópticas huecas no isotermas.
- ④ Análisis asintótico basados en la esbeltez de las fibras de chorros líquidos anulares no isotermos a $Re \ll 1$.
- ⑤ Inclusión de fenómenos de orientación molecular y cristalización para fibras anulares compuestas usando parámetro de orden.



ANTECEDENTES

Estado del arte. Fibras anulares compuestas

Tesis
Doctoral

Francisco
José Blanco
Rodríguez

1. Introducción
y objetivos

2. Modelado
matemático

3. Modelo 1-D

4. Modelo 2-D

5. Resultados
para fibras
compuestas

6. Conclusiones

Fibras anulares compuestas

- ① Análisis de flujos axilsimétricos estacionarios de *films* isotermos a $Re \ll 1$.
- ② Yeow estudió la estabilidad lineal del modelo de Pearson y Petrie.
- ③ Uso de un modelo de Cosserat unidimensional para el estudio de fibras ópticas huecas no isotermas.
- ④ Análisis asintótico basados en la esbeltez de las fibras de chorros líquidos anulares no isotermos a $Re \ll 1$.
- ⑤ Inclusión de fenómenos de orientación molecular y cristalización para fibras anulares compuestas usando parámetro de orden.



ANTECEDENTES

Estado del arte. Fibras anulares compuestas

Tesis
Doctoral

Francisco
José Blanco
Rodríguez

1. Introducción
y objetivos

2. Modelado
matemático

3. Modelo 1-D

4. Modelo 2-D

5. Resultados
para fibras
compuestas

6. Conclusiones

Fibras anulares compuestas

- ① Análisis de flujos axilsimétricos estacionarios de *films* isotermos a $Re \ll 1$.
- ② Yeow estudió la estabilidad lineal del modelo de Pearson y Petrie.
- ③ Uso de un modelo de Cosserat unidimensional para el estudio de fibras ópticas huecas no isotermas.
- ④ Análisis asintótico basados en la esbeltez de las fibras de chorros líquidos anulares no isotermos a $Re \ll 1$.
- ⑤ Inclusión de fenómenos de orientación molecular y cristalización para fibras anulares compuestas usando parámetro de orden.



Estabilidad es un aspecto crítico para cualquier proceso de fabricación.

Melt fracture

- ① Trae consigo superficies con rugosidades exageradas.
- ② Si la distorsión de la superficie es muy severa ⇒ **Ruptura del filamento**
- ③ Mecanismo complejo y escasamente estudiado ⇒ ¿Dónde comienza?
- ④ Se cree asociado a deformaciones elásticas ⇒ Flujos no-Newtonianos



Estabilidad es un aspecto crítico para cualquier proceso de fabricación.

Melt fracture

- ① Trae consigo superficies con rugosidades exageradas.
- ② Si la distorsión de la superficie es muy severa ⇒ **Ruptura del filamento**
- ③ Mecanismo complejo y escasamente estudiado ⇒ ¿Dónde comienza?
- ④ Se cree asociado a deformaciones elásticas ⇒ Flujos no-Newtonianos



Estabilidad es un aspecto crítico para cualquier proceso de fabricación.

Melt fracture

- ① Trae consigo superficies con rugosidades exageradas.
- ② Si la distorsión de la superficie es muy severa ⇒ **Ruptura del filamento**
- ③ Mecanismo complejo y escasamente estudiado ⇒ ¿Dónde comienza?
- ④ Se cree asociado a deformaciones elásticas ⇒ Flujos no-Newtonianos



Estabilidad es un aspecto crítico para cualquier proceso de fabricación.

Melt fracture

- ① Trae consigo superficies con rugosidades exageradas.
- ② Si la distorsión de la superficie es muy severa ⇒ **Ruptura del filamento**
- ③ Mecanismo complejo y escasamente estudiado ⇒ ¿Dónde comienza?
- ④ Se cree asociado a deformaciones elásticas ⇒ Flujos no-Newtonianos



Estabilidad es un aspecto crítico para cualquier proceso de fabricación.

Melt fracture

- ① Trae consigo superficies con rugosidades exageradas.
- ② Si la distorsión de la superficie es muy severa ⇒ **Ruptura del filamento**
- ③ Mecanismo complejo y escasamente estudiado ⇒ ¿Dónde comienza?
- ④ Se cree asociado a deformaciones elásticas ⇒ Flujos no-Newtonianos



Estabilidad es un aspecto crítico para cualquier proceso de fabricación.

Melt fracture

- ① Trae consigo superficies con rugosidades exageradas.
- ② Si la distorsión de la superficie es muy severa ⇒ **Ruptura del filamento**
- ③ Mecanismo complejo y escasamente estudiado ⇒ ¿Dónde comienza?
- ④ Se cree asociado a deformaciones elásticas ⇒ Flujos no-Newtonianos



ANTECEDENTES

Inestabilidades II

Tesis
Doctoral

Francisco
José Blanco
Rodríguez

1. Introducción
y objetivos

2. Modelado
matemático

3. Modelo 1-D

4. Modelo 2-D

5. Resultados
para fibras
compuestas

6. Conclusiones

Draw resonance

- ① Caracterizado por variaciones periódicas en las dimensiones de la fibra.
- ② Puede darse en fluidos Newtonianos \Rightarrow Tiene origen viscoso.
- ③ Se ha observado en procesos isotermos $\Rightarrow D_r^* \sim 20,22$
- ④ Mucho más complejo para fluidos no-Newtonianos \Rightarrow Depende de la reología
- ⑤ Fenómeno dinámico \Rightarrow Depende de la temperatura, inercia, gravedad, tensión superficial...



ANTECEDENTES

Inestabilidades II

Tesis
Doctoral

Francisco
José Blanco
Rodríguez

1. Introducción
y objetivos

2. Modelado
matemático

3. Modelo 1-D

4. Modelo 2-D

5. Resultados
para fibras
compuestas

6. Conclusiones

Draw resonance

- ① Caracterizado por variaciones periódicas en las dimensiones de la fibra.
- ② Puede darse en fluidos Newtonianos \Rightarrow Tiene origen viscoso.
- ③ Se ha observado en procesos isotermos $\Rightarrow D_r^* \sim 20,22$
- ④ Mucho más complejo para fluidos no-Newtonianos \Rightarrow Depende de la reología
- ⑤ Fenómeno dinámico \Rightarrow Depende de la temperatura, inercia, gravedad, tensión superficial...



ANTECEDENTES

Inestabilidades II

Tesis
Doctoral

Francisco
José Blanco
Rodríguez

1. Introducción
y objetivos

2. Modelado
matemático

3. Modelo 1-D

4. Modelo 2-D

5. Resultados
para fibras
compuestas

6. Conclusiones

Draw resonance

- ① Caracterizado por variaciones periódicas en las dimensiones de la fibra.
- ② Puede darse en fluidos Newtonianos \Rightarrow Tiene origen viscoso.
- ③ Se ha observado en procesos isotermos $\Rightarrow D_r^* \sim 20,22$
- ④ Mucho más complejo para fluidos no-Newtonianos \Rightarrow Depende de la reología
- ⑤ Fenómeno dinámico \Rightarrow Depende de la temperatura, inercia, gravedad, tensión superficial...



ANTECEDENTES

Inestabilidades II

Tesis
Doctoral

Francisco
José Blanco
Rodríguez

1. Introducción
y objetivos

2. Modelado
matemático

3. Modelo 1-D

4. Modelo 2-D

5. Resultados
para fibras
compuestas

6. Conclusiones

Draw resonance

- ① Caracterizado por variaciones periódicas en las dimensiones de la fibra.
- ② Puede darse en fluidos Newtonianos \Rightarrow Tiene origen viscoso.
- ③ Se ha observado en procesos isotermos $\Rightarrow D_r^* \sim 20,22$
- ④ Mucho más complejo para fluidos no-Newtonianos \Rightarrow Depende de la reología
- ⑤ Fenómeno dinámico \Rightarrow Depende de la temperatura, inercia, gravedad, tensión superficial...



ANTECEDENTES

Inestabilidades II

Tesis
Doctoral

Francisco
José Blanco
Rodríguez

1. Introducción
y objetivos

2. Modelado
matemático

3. Modelo 1-D

4. Modelo 2-D

5. Resultados
para fibras
compuestas

6. Conclusiones

Draw resonance

- ① Caracterizado por variaciones periódicas en las dimensiones de la fibra.
- ② Puede darse en fluidos Newtonianos \Rightarrow Tiene origen viscoso.
- ③ Se ha observado en procesos isotermos $\Rightarrow D_r^* \sim 20,22$
- ④ Mucho más complejo para fluidos no–Newtonianos \Rightarrow Depende de la reología
- ⑤ Fenómeno dinámico \Rightarrow Depende de la temperatura, inercia, gravedad, tensión superficial...



ANTECEDENTES

Inestabilidades II

Tesis
Doctoral

Francisco
José Blanco
Rodríguez

1. Introducción
y objetivos

2. Modelado
matemático

3. Modelo 1-D

4. Modelo 2-D

5. Resultados
para fibras
compuestas

6. Conclusiones

Draw resonance

- ① Caracterizado por variaciones periódicas en las dimensiones de la fibra.
- ② Puede darse en fluidos Newtonianos \Rightarrow Tiene origen viscoso.
- ③ Se ha observado en procesos isotermos $\Rightarrow D_r^* \sim 20,22$
- ④ Mucho más complejo para fluidos no-Newtonianos \Rightarrow Depende de la reología
- ⑤ Fenómeno dinámico \Rightarrow Depende de la temperatura, inercia, gravedad, tensión superficial...



FENÓMENOS DE ORIENTACIÓN MOLECULAR Y CRISTALIZACIÓN

Características generales

Tesis
Doctoral

Francisco
José Blanco
Rodríguez

1. Introducción
y objetivos

2. Modelado
matemático

3. Modelo 1-D

4. Modelo 2-D

5. Resultados
para fibras
compuestas

6. Conclusiones

- Los polímeros que no cristalizan durante su enfriamiento por debajo de $T_g \Rightarrow$ **Amorfo**.
- Los polímeros con estructura regular u ordenada \Rightarrow **Semicristalino**.
- La tasa de cristalización depende de la orientación molecular en el fundido.
- Proceso de cristalización es lento bajo condiciones estacionarias.
- Fluctuaciones de ρ en fase líquida crean núcleos (*clusters*).



FENÓMENOS DE ORIENTACIÓN MOLECULAR Y CRISTALIZACIÓN

Características generales

Tesis
Doctoral

Francisco
José Blanco
Rodríguez

1. Introducción
y objetivos

2. Modelado
matemático

3. Modelo 1-D

4. Modelo 2-D

5. Resultados
para fibras
compuestas

6. Conclusiones

- Los polímeros que no cristalizan durante su enfriamiento por debajo de $T_g \Rightarrow$ **Amorfo**.
- Los polímeros con estructura regular u ordenada \Rightarrow **Semicristalino**.
- La tasa de cristalización depende de la orientación molecular en el fundido.
- Proceso de cristalización es lento bajo condiciones estacionarias.
- Fluctuaciones de ρ en fase líquida crean núcleos (*clusters*).



FENÓMENOS DE ORIENTACIÓN MOLECULAR Y CRISTALIZACIÓN

Características generales

Tesis
Doctoral

Francisco
José Blanco
Rodríguez

1. Introducción
y objetivos

2. Modelado
matemático

3. Modelo 1-D

4. Modelo 2-D

5. Resultados
para fibras
compuestas

6. Conclusiones

- Los polímeros que no cristalizan durante su enfriamiento por debajo de $T_g \Rightarrow$ **Amorfo**.
- Los polímeros con estructura regular u ordenada \Rightarrow **Semicristalino**.
- La tasa de cristalización depende de la orientación molecular en el fundido.
- Proceso de cristalización es lento bajo condiciones estacionarias.
- Fluctuaciones de ρ en fase líquida crean núcleos (*clusters*).



FENÓMENOS DE ORIENTACIÓN MOLECULAR Y CRISTALIZACIÓN

Características generales

Tesis
Doctoral

Francisco
José Blanco
Rodríguez

1. Introducción
y objetivos

2. Modelado
matemático

3. Modelo 1-D

4. Modelo 2-D

5. Resultados
para fibras
compuestas

6. Conclusiones

- Los polímeros que no cristalizan durante su enfriamiento por debajo de $T_g \Rightarrow$ **Amorfo**.
- Los polímeros con estructura regular u ordenada \Rightarrow **Semicristalino**.
- La tasa de cristalización depende de la orientación molecular en el fundido.
- Proceso de cristalización es lento bajo condiciones estacionarias.
- Fluctuaciones de ρ en fase líquida crean núcleos (*clusters*).



FENÓMENOS DE ORIENTACIÓN MOLECULAR Y CRISTALIZACIÓN

Características generales

Tesis
Doctoral

Francisco
José Blanco
Rodríguez

1. Introducción
y objetivos

2. Modelado
matemático

3. Modelo 1-D

4. Modelo 2-D

5. Resultados
para fibras
compuestas

6. Conclusiones

- Los polímeros que no cristalizan durante su enfriamiento por debajo de $T_g \Rightarrow$ **Amorfo**.
- Los polímeros con estructura regular u ordenada \Rightarrow **Semicristalino**.
- La tasa de cristalización depende de la orientación molecular en el fundido.
- Proceso de cristalización es lento bajo condiciones estacionarias.
- Fluctuaciones de ρ en fase líquida crean núcleos (*clusters*).



FENÓMENOS DE ORIENTACIÓN MOLECULAR Y CRISTALIZACIÓN

Características generales

Tesis
Doctoral

Francisco
José Blanco
Rodríguez

1. Introducción
y objetivos

2. Modelado
matemático

3. Modelo 1-D

4. Modelo 2-D

5. Resultados
para fibras
compuestas

6. Conclusiones

- Los polímeros que no cristalizan durante su enfriamiento por debajo de $T_g \Rightarrow$ **Amorfo**.
- Los polímeros con estructura regular u ordenada \Rightarrow **Semicristalino**.
- La tasa de cristalización depende de la orientación molecular en el fundido.
- Proceso de cristalización es lento bajo condiciones estacionarias.
- Fluctuaciones de ρ en fase líquida crean núcleos (*clusters*).



FENÓMENOS DE ORIENTACIÓN MOLECULAR Y CRISTALIZACIÓN

Características generales

Tesis
Doctoral

Francisco
José Blanco
Rodríguez

1. Introducción
y objetivos

2. Modelado
matemático

3. Modelo 1-D

4. Modelo 2-D

5. Resultados
para fibras
compuestas

6. Conclusiones

- Los polímeros que no cristalizan durante su enfriamiento por debajo de $T_g \Rightarrow$ **Amorfo**.
- Los polímeros con estructura regular u ordenada \Rightarrow **Semicristalino**.
- La tasa de cristalización depende de la orientación molecular en el fundido.
- Proceso de cristalización es lento bajo condiciones estacionarias.
- Fluctuaciones de ρ en fase líquida crean núcleos (*clusters*).

Nucleación

Fenómeno por el cual se crean núcleos con un tamaño mayor o igual que el *tamaño crítico*. Dos tipos: homogénea (sustancia pura) y heterogénea (presencia de impurezas).



FENÓMENOS DE ORIENTACIÓN MOLECULAR Y CRISTALIZACIÓN

Características generales

Tesis
Doctoral

Francisco
José Blanco
Rodríguez

1. Introducción
y objetivos

2. Modelado
matemático

3. Modelo 1-D

4. Modelo 2-D

5. Resultados
para fibras
compuestas

6. Conclusiones

- Los polímeros que no cristalizan durante su enfriamiento por debajo de $T_g \Rightarrow$ **Amorfo**.
- Los polímeros con estructura regular u ordenada \Rightarrow **Semicristalino**.
- La tasa de cristalización depende de la orientación molecular en el fundido.
- Proceso de cristalización es lento bajo condiciones estacionarias.
- Fluctuaciones de ρ en fase líquida crean núcleos (*clusters*).

Nucleación

Fenómeno por el cual se crean núcleos con un tamaño mayor o igual que el *tamaño crítico*. Dos tipos: homogénea (sustancia pura) y heterogénea (presencia de impurezas).

Crecimiento

Los núcleos con tamaños mayores que el crítico crecen mediante la adición de monómeros o actuando como sitios de nucleación heterogénea.



CONSIDERACIONES NUMÉRICAS DEL PROCESO

A tener en cuenta...

Tesis
Doctoral

Francisco
José Blanco
Rodríguez

1. Introducción
y objetivos

2. Modelado
matemático

3. Modelo 1-D

4. Modelo 2-D

5. Resultados
para fibras
compuestas

6. Conclusiones

Proceso con dos características especiales:

- **Superficies libres**

- ① Presencia de hasta tres superficies libres (Fibras anulares compuestas).
- ② Deben ser resueltas junto a velocidad, presión, temperatura, orientación molecular y cristalización.

- **Die swell**

- ① Consideraremos región de estirado \Rightarrow Fenómeno de *die swell* obviado.



CONSIDERACIONES NUMÉRICAS DEL PROCESO

A tener en cuenta...

Tesis
Doctoral

Francisco
José Blanco
Rodríguez

1. Introducción
y objetivos

2. Modelado
matemático

3. Modelo 1-D

4. Modelo 2-D

5. Resultados
para fibras
compuestas

6. Conclusiones

Proceso con dos características especiales:

- **Superficies libres**

- ① Presencia de hasta tres superficies libres (Fibras anulares compuestas).
- ② Deben ser resueltas junto a velocidad, presión, temperatura, orientación molecular y cristalización.

- **Die swell**

- ① Consideraremos región de estirado \Rightarrow Fenómeno de *die swell* obviado.



CONSIDERACIONES NUMÉRICAS DEL PROCESO

A tener en cuenta...

Tesis
Doctoral

Francisco
José Blanco
Rodríguez

1. Introducción
y objetivos

2. Modelado
matemático

3. Modelo 1-D

4. Modelo 2-D

5. Resultados
para fibras
compuestas

6. Conclusiones

Proceso con dos características especiales:

- **Superficies libres**

- ① Presencia de hasta tres superficies libres (Fibras anulares compuestas).
- ② Deben ser resueltas junto a velocidad, presión, temperatura, orientación molecular y cristalización.

- **Die swell**

- ① Consideraremos región de estirado ⇒ Fenómeno de *die swell* obviado.



OBJETIVOS DE LA TESIS

Características generales del estudio

Tesis
Doctoral

Francisco
José Blanco
Rodríguez

1. Introducción
y objetivos

2. Modelado
matemático

3. Modelo 1-D

4. Modelo 2-D

5. Resultados
para fibras
compuestas

6. Conclusiones

Desarrollo de un modelo bidimensional simplificado o híbrido (1+1/2-D) para el estudio asintótico bidimensional de la fabricación de fibras axilsimétricas, tanto macizas como anulares, compuestas de líquidos poliméricos semicristalinos. Se derivan las ecuaciones 1-D para la geometría y velocidad axial de fibras esbeltas (*Thin Filament Equations*).

- ① Mejora de los modelos de orientación molecular usando un **tensor de orientación molecular**.
- ② Uso de la teoría de **Doi–Edwards** para la obtención de las ecuaciones que gobiernan las componentes del tensor.
- ③ Cinética de cristalización de **Avrami–Kolmogorov**.



OBJETIVOS DE LA TESIS

Características generales del estudio

Tesis
Doctoral

Francisco
José Blanco
Rodríguez

1. Introducción
y objetivos

2. Modelado
matemático

3. Modelo 1-D

4. Modelo 2-D

5. Resultados
para fibras
compuestas

6. Conclusiones

Desarrollo de un modelo bidimensional simplificado o híbrido (1+1/2-D) para el estudio asintótico bidimensional de la fabricación de fibras axilsimétricas, tanto macizas como anulares, compuestas de líquidos poliméricos semicristalinos. Se derivan las ecuaciones 1-D para la geometría y velocidad axial de fibras esbeltas (*Thin Filament Equations*).

- ① Mejora de los modelos de orientación molecular usando un **tensor de orientación molecular**.
- ② Uso de la teoría de **Doi–Edwards** para la obtención de las ecuaciones que gobiernan las componentes del tensor.
- ③ Cinética de cristalización de **Avrami–Kolmogorov**.



OBJETIVOS DE LA TESIS

Características generales del estudio

Tesis
Doctoral

Francisco
José Blanco
Rodríguez

1. Introducción
y objetivos

2. Modelado
matemático

3. Modelo 1-D

4. Modelo 2-D

5. Resultados
para fibras
compuestas

6. Conclusiones

Desarrollo de un modelo bidimensional simplificado o híbrido (1+1/2-D) para el estudio asintótico bidimensional de la fabricación de fibras axilsimétricas, tanto macizas como anulares, compuestas de líquidos poliméricos semicristalinos. Se derivan las ecuaciones 1-D para la geometría y velocidad axial de fibras esbeltas (*Thin Filament Equations*).

- ① Mejora de los modelos de orientación molecular usando un **tensor de orientación molecular**.
- ② Uso de la teoría de **Doi–Edwards** para la obtención de las ecuaciones que gobiernan las componentes del tensor.
- ③ Cinética de cristalización de **Avrami–Kolmogorov**.



OBJETIVOS DE LA TESIS

Características generales del estudio

Tesis
Doctoral

Francisco
José Blanco
Rodríguez

1. Introducción
y objetivos

2. Modelado
matemático

3. Modelo 1-D

4. Modelo 2-D

5. Resultados
para fibras
compuestas

6. Conclusiones

Desarrollo de un modelo bidimensional simplificado o híbrido (1+1/2-D) para el estudio asintótico bidimensional de la fabricación de fibras axilsimétricas, tanto macizas como anulares, compuestas de líquidos poliméricos semicristalinos. Se derivan las ecuaciones 1-D para la geometría y velocidad axial de fibras esbeltas (*Thin Filament Equations*).

- ① Mejora de los modelos de orientación molecular usando un **tensor de orientación molecular**.
- ② Uso de la teoría de **Doi–Edwards** para la obtención de las ecuaciones que gobiernan las componentes del tensor.
- ③ Cinética de cristalización de **Avrami–Kolmogorov**.



OBJETIVOS DE LA TESIS

Características generales del estudio

Tesis
Doctoral

Francisco
José Blanco
Rodríguez

1. Introducción
y objetivos

2. Modelado
matemático

3. Modelo 1-D

4. Modelo 2-D

5. Resultados
para fibras
compuestas

6. Conclusiones

Desarrollo de un modelo bidimensional simplificado o híbrido (1+1/2-D) para el estudio asintótico bidimensional de la fabricación de fibras axilsimétricas, tanto macizas como anulares, compuestas de líquidos poliméricos semicristalinos. Se derivan las ecuaciones 1-D para la geometría y velocidad axial de fibras esbeltas (*Thin Filament Equations*).

- ① Mejora de los modelos de orientación molecular usando un **tensor de orientación molecular**.
- ② Uso de la teoría de **Doi–Edwards** para la obtención de las ecuaciones que gobiernan las componentes del tensor.
- ③ Cinética de cristalización de **Avrami–Kolmogorov**.



Tesis
Doctoral

Francisco
José Blanco
Rodríguez

1. Introducción
y objetivos

2. Modelado
matemático

3. Modelo 1-D

4. Modelo 2-D

5. Resultados
para fibras
compuestas

6. Conclusiones

2. MODELADO MATEMÁTICO



FORMULACIÓN 2-D

Ecuaciones fluido-dinámicas para fibras amorphas I

Tesis
Doctoral

Francisco
José Blanco
Rodríguez

1. Introducción
y objetivos

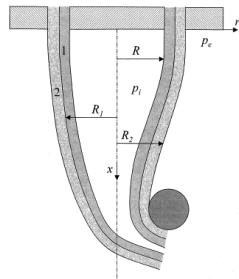
2. Modelado
matemático

3. Modelo 1-D

4. Modelo 2-D

5. Resultados
para fibras
compuestas

6. Conclusiones



- Ecuación de conservación de la masa

$$\nabla \cdot \mathbf{v}_i = 0 \quad i = 1, 2$$

- Condición de axisimetría

$$\mathbf{v} \cdot \mathbf{e}_\theta = 0 \Rightarrow \mathbf{v} = v(r, x, t) \mathbf{e}_r + u(r, x, t) \mathbf{e}_x$$

- Ecuación de conservación de la cantidad de movimiento

$$\rho_i \mathcal{L}(\mathbf{v}_i) = -\nabla p_i + \nabla \cdot \boldsymbol{\tau}_i + \rho_i \cdot \mathbf{f}_i^m \quad i = 1, 2$$

donde

$$\mathbf{f}_i^m = \mathbf{g} = g \mathbf{e}_x$$

$$\mathcal{L}(\alpha_i) = \frac{\partial \alpha_i}{\partial t} + u_i \frac{\partial \alpha_i}{\partial x} + v_i \frac{\partial \alpha_i}{\partial r}$$



FORMULACIÓN 2-D

Ecuaciones fluido-dinámicas para fibras amorphas I

Tesis
Doctoral

Francisco
José Blanco
Rodríguez

1. Introducción
y objetivos

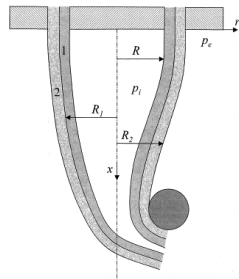
2. Modelado
matemático

3. Modelo 1-D

4. Modelo 2-D

5. Resultados
para fibras
compuestas

6. Conclusiones



- Ecuación de conservación de la masa

$$\nabla \cdot \mathbf{v}_i = 0 \quad i = 1, 2$$

- Condición de axisimetría

$$\mathbf{v} \cdot \mathbf{e}_\theta = 0 \Rightarrow \mathbf{v} = v(r, x, t) \mathbf{e}_r + u(r, x, t) \mathbf{e}_x$$

- Ecuación de conservación de la cantidad de movimiento

$$\rho_i \mathcal{L}(\mathbf{v}_i) = -\nabla p_i + \nabla \cdot \boldsymbol{\tau}_i + \rho_i \cdot \mathbf{f}_i^m \quad i = 1, 2$$

donde

$$\mathbf{f}_i^m = \mathbf{g} = g \mathbf{e}_x,$$

$$\mathcal{L}(\alpha_i) = \frac{\partial \alpha_i}{\partial t} + u_i \frac{\partial \alpha_i}{\partial x} + v_i \frac{\partial \alpha_i}{\partial r}$$



FORMULACIÓN 2-D

Ecuaciones fluido-dinámicas para fibras amorphas I

Tesis
Doctoral

Francisco
José Blanco
Rodríguez

1. Introducción
y objetivos

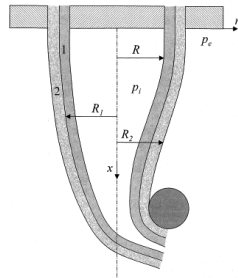
2. Modelado
matemático

3. Modelo 1-D

4. Modelo 2-D

5. Resultados
para fibras
compuestas

6. Conclusiones



● Ecuación de conservación de la masa

$$\nabla \cdot \mathbf{v}_i = 0 \quad i = 1, 2$$

● Condición de axisimetría

$$\mathbf{v} \cdot \mathbf{e}_\theta = 0 \Rightarrow \mathbf{v} = v(r, x, t) \mathbf{e}_r + u(r, x, t) \mathbf{e}_x$$

● Ecuación de conservación de la cantidad de movimiento

$$\rho_i \mathcal{L}(\mathbf{v}_i) = -\nabla p_i + \nabla \cdot \boldsymbol{\tau}_i + \rho_i \cdot \mathbf{f}_i^m \quad i = 1, 2$$

donde

$$\mathbf{f}_i^m = \mathbf{g} = g \mathbf{e}_x$$

$$\mathcal{L}(\alpha_i) = \frac{\partial \alpha_i}{\partial t} + u_i \frac{\partial \alpha_i}{\partial x} + v_i \frac{\partial \alpha_i}{\partial r}$$



FORMULACIÓN 2-D

Ecuaciones fluido-dinámicas para fibras amorphas I

Tesis
Doctoral

Francisco
José Blanco
Rodríguez

1. Introducción
y objetivos

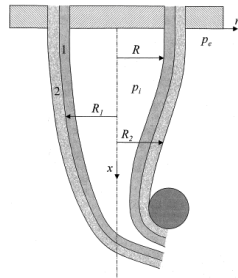
2. Modelado
matemático

3. Modelo 1-D

4. Modelo 2-D

5. Resultados
para fibras
compuestas

6. Conclusiones



● Ecuación de conservación de la masa

$$\nabla \cdot \mathbf{v}_i = 0 \quad i = 1, 2$$

● Condición de axisimetría

$$\mathbf{v} \cdot \mathbf{e}_\theta = 0 \Rightarrow \mathbf{v} = v(r, x, t) \mathbf{e}_r + u(r, x, t) \mathbf{e}_x$$

● Ecuación de conservación de la cantidad de movimiento

$$\rho_i \mathcal{L}(\mathbf{v}_i) = -\nabla p_i + \nabla \cdot \boldsymbol{\tau}_i + \rho_i \cdot \mathbf{f}_i^m \quad i = 1, 2$$

donde

$$\mathbf{f}^m = \mathbf{g} = g \mathbf{e}_x, \quad \mathcal{L}(\alpha_i) \equiv \frac{\partial \alpha_i}{\partial t} + u_i \frac{\partial \alpha_i}{\partial x} + v_i \frac{\partial \alpha_i}{\partial r}$$



FORMULACIÓN 2-D

Ecuaciones fluido-dinámicas para fibras amorphas I

Tesis
Doctoral

Francisco
José Blanco
Rodríguez

1. Introducción
y objetivos

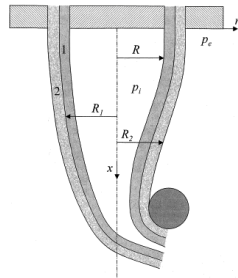
2. Modelado
matemático

3. Modelo 1-D

4. Modelo 2-D

5. Resultados
para fibras
compuestas

6. Conclusiones



- Ecuación de conservación de la masa

$$\nabla \cdot \mathbf{v}_i = 0 \quad i = 1, 2$$

- Condición de axisimetría

$$\mathbf{v} \cdot \mathbf{e}_\theta = 0 \Rightarrow \mathbf{v} = v(r, x, t) \mathbf{e}_r + u(r, x, t) \mathbf{e}_x$$

- Ecuación de conservación de la cantidad de movimiento

$$\rho_i \mathcal{L}(\mathbf{v}_i) = -\nabla p_i + \nabla \cdot \boldsymbol{\tau}_i + \rho_i \cdot \mathbf{f}_i^m \quad i = 1, 2$$

donde

$$\mathbf{f}^m = \mathbf{g} = g \mathbf{e}_x, \quad \mathcal{L}(\alpha_i) \equiv \frac{\partial \alpha_i}{\partial t} + u_i \frac{\partial \alpha_i}{\partial x} + v_i \frac{\partial \alpha_i}{\partial r}$$



FORMULACIÓN 2-D

Ecuaciones fluido-dinámicas para fibras amorfas II

Tesis
Doctoral

Francisco
José Blanco
Rodríguez

1. Introducción
y objetivos

2. Modelado
matemático

3. Modelo 1-D

4. Modelo 2-D

5. Resultados
para fibras
compuestas

6. Conclusiones

- Esfuerzo inducido por la orientación

$$\tau = \tau_N + \tau_P$$

$$\tau_N = 2\mu D = \mu (\nabla v + \nabla v^T)$$

$$\tau_P = 3c k_B T \left[-\frac{\lambda(T)}{\phi} F(S) + 2\lambda(T) (\nabla v^T : S) \left(S + \frac{I}{3} \right) \right]$$

donde

$$\mu(T) = D \exp(H(T_0 - T)), \quad \lambda(T) = \lambda_0 \exp(\omega(T_0 - T))$$

- Ecuación de conservación de la energía

$$\rho_i C_i \mathcal{L}(T_i) = -\nabla \cdot q_i + \tau_i : \nabla v_i \quad i = 1, 2$$

donde $q = -k \nabla T$



FORMULACIÓN 2-D

Ecuaciones fluido-dinámicas para fibras amorfas II

Tesis
Doctoral

Francisco
José Blanco
Rodríguez

1. Introducción
y objetivos

2. Modelado
matemático

3. Modelo 1-D

4. Modelo 2-D

5. Resultados
para fibras
compuestas

6. Conclusiones

- **Esfuerzo inducido por la orientación**

$$\boldsymbol{\tau} = \boldsymbol{\tau}_N + \boldsymbol{\tau}_P$$

$$\boldsymbol{\tau}_N = 2\mu \mathbf{D} = \mu (\nabla \mathbf{v} + \nabla \mathbf{v}^T)$$

$$\boldsymbol{\tau}_P = 3c k_B T \left[-\frac{\lambda(T)}{\phi} F(\mathbf{S}) + 2\lambda(T) (\nabla \mathbf{v}^T : \mathbf{S}) \left(\mathbf{S} + \frac{\mathbf{I}}{3} \right) \right]$$

donde

$$\mu(T) = D \exp(H(T_0 - T)), \quad \lambda(T) = \lambda_0 \exp(\omega(T_0 - T))$$

- **Ecuación de conservación de la energía**

$$\rho_i C_i \mathcal{L}(T_i) = -\nabla \cdot \mathbf{q}_i + \boldsymbol{\tau}_i : \nabla \mathbf{v}_i \quad i = 1, 2$$

donde $\mathbf{q} = -k \nabla T$



FORMULACIÓN 2-D

Ecuaciones fluido-dinámicas para fibras amorfas II

Tesis
Doctoral

Francisco
José Blanco
Rodríguez

1. Introducción
y objetivos

2. Modelado
matemático

3. Modelo 1-D

4. Modelo 2-D

5. Resultados
para fibras
compuestas

6. Conclusiones

- **Esfuerzo inducido por la orientación**

$$\boldsymbol{\tau} = \boldsymbol{\tau}_N + \boldsymbol{\tau}_P$$

$$\boldsymbol{\tau}_N = 2\mu \mathbf{D} = \mu (\nabla \mathbf{v} + \nabla \mathbf{v}^T)$$

$$\boldsymbol{\tau}_P = 3c k_B T \left[-\frac{\lambda(T)}{\phi} F(\mathbf{S}) + 2\lambda(T) (\nabla \mathbf{v}^T : \mathbf{S}) \left(\mathbf{S} + \frac{\mathbf{I}}{3} \right) \right]$$

donde

$$\mu(T) = D \exp(H(T_0 - T)), \quad \lambda(T) = \lambda_0 \exp(\omega(T_0 - T))$$

- **Ecuación de conservación de la energía**

$$\rho_i C_i \mathcal{L}(T_i) = -\nabla \cdot \mathbf{q}_i + \boldsymbol{\tau}_i : \nabla \mathbf{v}_i \quad i = 1, 2$$

donde $\mathbf{q} = -k \nabla T$



FORMULACIÓN 2-D

Ecuación para la orientación molecular

Tesis
Doctoral

Francisco
José Blanco
Rodríguez

1. Introducción
y objetivos

2. Modelado
matemático

3. Modelo 1-D

4. Modelo 2-D

5. Resultados
para fibras
compuestas

6. Conclusiones

● Ecuación de Doi–Edwards

$$\nabla \mathbf{S} = F(\mathbf{S}) + G(\nabla \mathbf{v}, \mathbf{S})$$

donde

$$\nabla \mathbf{S} = \mathcal{L}(\mathbf{S}) - (\nabla \mathbf{v}^T \cdot \mathbf{S} + \mathbf{S} \cdot \nabla \mathbf{v})$$

$$F(\mathbf{S}) = -\frac{\phi}{\lambda(T)} \left\{ \left(1 - \frac{N}{3}\right) \mathbf{S} - N(\mathbf{S} \cdot \mathbf{S}) + N(\mathbf{S} : \mathbf{S}) \left(\mathbf{S} + \frac{\mathbf{I}}{3}\right) \right\}$$

y

$$G(\nabla \mathbf{v}, \mathbf{S}) = \frac{2}{3} D - 2(\nabla \mathbf{v}^T : \mathbf{S}) \left(\mathbf{S} + \frac{\mathbf{I}}{3}\right)$$



FORMULACIÓN 2-D

Ecuación para la orientación molecular

Tesis
Doctoral

Francisco
José Blanco
Rodríguez

1. Introducción
y objetivos

2. Modelado
matemático

3. Modelo 1-D

4. Modelo 2-D

5. Resultados
para fibras
compuestas

6. Conclusiones

● Ecuación de Doi–Edwards

$$\nabla \mathbf{S} = F(\mathbf{S}) + G(\nabla \mathbf{v}, \mathbf{S})$$

donde

$$\nabla \mathbf{S} \equiv \mathcal{L}(\mathbf{S}) - \left(\nabla \mathbf{v}^T \cdot \mathbf{S} + \mathbf{S} \cdot \nabla \mathbf{v} \right)$$

$$F(\mathbf{S}) = -\frac{\phi}{\lambda(T)} \left\{ \left(1 - \frac{N}{3} \right) \mathbf{S} - N(\mathbf{S} \cdot \mathbf{S}) + N(\mathbf{S} : \mathbf{S}) \left(\mathbf{S} + \frac{\mathbf{I}}{3} \right) \right\}$$

y

$$G(\nabla \mathbf{v}, \mathbf{S}) = \frac{2}{3} D - 2 \left(\nabla \mathbf{v}^T : \mathbf{S} \right) \left(\mathbf{S} + \frac{\mathbf{I}}{3} \right)$$



FORMULACIÓN 2-D

Ecuación para la orientación molecular

Tesis
Doctoral

Francisco
José Blanco
Rodríguez

1. Introducción
y objetivos

2. Modelado
matemático

3. Modelo 1-D

4. Modelo 2-D

5. Resultados
para fibras
compuestas

6. Conclusiones

● Ecuación de Doi–Edwards

$$\nabla \mathbf{S} = F(\mathbf{S}) + G(\nabla \mathbf{v}, \mathbf{S})$$

donde

$$\nabla \mathbf{S} \equiv \mathcal{L}(\mathbf{S}) - \left(\nabla \mathbf{v}^T \cdot \mathbf{S} + \mathbf{S} \cdot \nabla \mathbf{v} \right)$$

$$F(\mathbf{S}) = -\frac{\phi}{\lambda(T)} \left\{ \left(1 - \frac{N}{3} \right) \mathbf{S} - N(\mathbf{S} \cdot \mathbf{S}) + N(\mathbf{S} : \mathbf{S}) \left(\mathbf{S} + \frac{\mathbf{I}}{3} \right) \right\}$$

y

$$G(\nabla \mathbf{v}, \mathbf{S}) = \frac{2}{3} D - 2 \left(\nabla \mathbf{v}^T : \mathbf{S} \right) \left(\mathbf{S} + \frac{\mathbf{I}}{3} \right)$$



FORMULACIÓN 2-D

Ecuación para la orientación molecular

Tesis
Doctoral

Francisco
José Blanco
Rodríguez

1. Introducción
y objetivos

2. Modelado
matemático

3. Modelo 1-D

4. Modelo 2-D

5. Resultados
para fibras
compuestas

6. Conclusiones

● Ecuación de Doi–Edwards

$$\nabla \mathbf{S} = F(\mathbf{S}) + G(\nabla \mathbf{v}, \mathbf{S})$$

donde

$$\nabla \mathbf{S} \equiv \mathcal{L}(\mathbf{S}) - \left(\nabla \mathbf{v}^T \cdot \mathbf{S} + \mathbf{S} \cdot \nabla \mathbf{v} \right)$$

$$F(\mathbf{S}) = -\frac{\phi}{\lambda(T)} \left\{ \left(1 - \frac{N}{3} \right) \mathbf{S} - N(\mathbf{S} \cdot \mathbf{S}) + N(\mathbf{S} : \mathbf{S}) \left(\mathbf{S} + \frac{\mathbf{I}}{3} \right) \right\}$$

y

$$G(\nabla \mathbf{v}, \mathbf{S}) = \frac{2}{3} \mathbf{D} - 2 \left(\nabla \mathbf{v}^T : \mathbf{S} \right) \left(\mathbf{S} + \frac{\mathbf{I}}{3} \right)$$



FORMULACIÓN 2-D

Condiciones de contorno

Tesis
Doctoral

Francisco
José Blanco
Rodríguez

1. Introducción
y objetivos

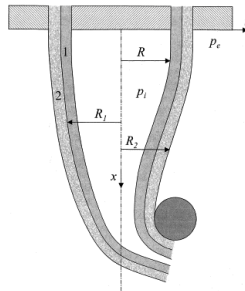
2. Modelado
matemático

3. Modelo 1-D

4. Modelo 2-D

5. Resultados
para fibras
compuestas

6. Conclusiones



- **Condiciones en $r = R(x)$, $r = R_1(x)$ y $r = R_2(x)$**
- **Condiciones de simetría en $r = 0$**
- **Condiciones en $x = 0$**
- **Condiciones en $x = L$**



FORMULACIÓN 2-D

Condiciones de contorno

Tesis
Doctoral

Francisco
José Blanco
Rodríguez

1. Introducción
y objetivos

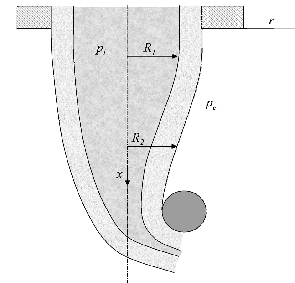
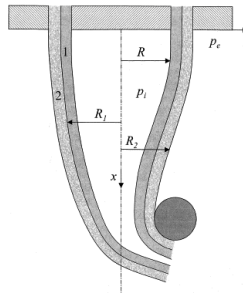
2. Modelado
matemático

3. Modelo 1-D

4. Modelo 2-D

5. Resultados
para fibras
compuestas

6. Conclusiones



- Condiciones en $r = R(x)$, $r = R_1(x)$ y $r = R_2(x)$
- Condiciones de simetría en $r = 0$
 - Condiciones en $x = 0$
 - Condiciones en $x = L$



FORMULACIÓN 2-D

Condiciones de contorno

Tesis Doctoral

Francisco
José Blanco
Rodríguez

1. Introducción
y objetivos

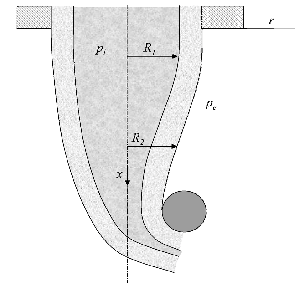
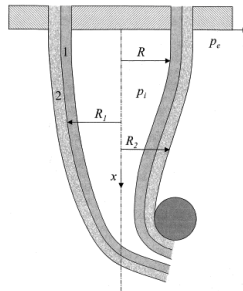
2. Modelado
matemático

3. Modelo 1-D

4. Modelo 2-D

5. Resultados
para fibras
compuestas

6. Conclusiones



- Condiciones en $r = R(x)$, $r = R_1(x)$ y $r = R_2(x)$
- Condiciones de simetría en $r = 0$
- Condiciones en $x = 0$
- Condiciones en $x = L$



FORMULACIÓN 2-D

Condiciones de contorno

Tesis
Doctoral

Francisco
José Blanco
Rodríguez

1. Introducción
y objetivos

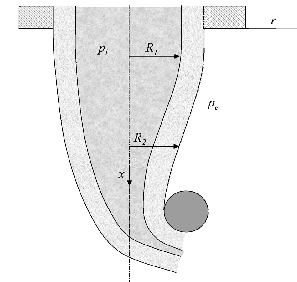
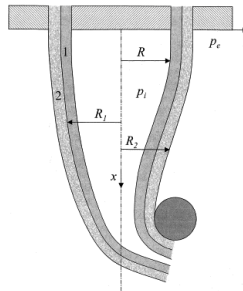
2. Modelado
matemático

3. Modelo 1-D

4. Modelo 2-D

5. Resultados
para fibras
compuestas

6. Conclusiones



- Condiciones en $r = R(x)$, $r = R_1(x)$ y $r = R_2(x)$
- Condiciones de simetría en $r = 0$
- Condiciones en $x = 0$
- Condiciones en $x = L$



ADIMENSIONALIZACIÓN

Tesis
Doctoral

Francisco
José Blanco
Rodríguez

1. Introducción
y objetivos

2. Modelado
matemático

3. Modelo 1-D

4. Modelo 2-D

5. Resultados
para fibras
compuestas

6. Conclusiones

● Variables adimensionales

$$\hat{r} = \frac{r}{R_0} \quad \hat{x} = \frac{x}{L} \Rightarrow \epsilon = \frac{R_0}{L} \ll 1 \quad \hat{t} = \frac{t}{(L/u_0)}$$

$$\hat{u} = \frac{u}{u_0} \quad \hat{v} = \frac{v}{(u_0 \epsilon)} \quad \hat{p} = \frac{p}{(\mu_0 u_0 / L)} \quad \hat{T} = \frac{T}{T_0}$$

$$\hat{\rho} = \frac{\rho}{\rho_0} \quad \hat{C} = \frac{C}{C_0} \quad \hat{\mu} = \frac{\mu}{\mu_0} \quad \hat{k} = \frac{k}{k_0}$$

● Parámetros adimensionales

$$Re = \frac{\rho_0 u_0 R_0}{\mu_0}, \quad Fr = \frac{u_0^2}{g R_0}, \quad Ca = \frac{\mu_0 u_0}{\sigma_2}, \quad Pr = \frac{\mu_0 C_0}{k_0},$$

$$Pe = Re Pr, \quad Br = \frac{\mu_0 u_0^2}{k_0 T_0}, \quad Bi = \frac{h R_0}{k_0}$$



ADIMENSIONALIZACIÓN

Tesis
Doctoral

Francisco
José Blanco
Rodríguez

1. Introducción
y objetivos

2. Modelado
matemático

3. Modelo 1-D

4. Modelo 2-D

5. Resultados
para fibras
compuestas

6. Conclusiones

● Variables adimensionales

$$\hat{r} = \frac{r}{R_0} \quad \hat{x} = \frac{x}{L} \quad \Rightarrow \quad \epsilon = \frac{R_0}{L} \ll 1 \quad \hat{t} = \frac{t}{(L/u_0)}$$

$$\hat{u} = \frac{u}{u_0} \quad \hat{v} = \frac{v}{(u_0 \epsilon)} \quad \hat{p} = \frac{p}{(\mu_0 u_0 / L)} \quad \hat{T} = \frac{T}{T_0}$$

$$\hat{\rho} = \frac{\rho}{\rho_0} \quad \hat{C} = \frac{C}{C_0} \quad \hat{\mu} = \frac{\mu}{\mu_0} \quad \hat{k} = \frac{k}{k_0}$$

● Parámetros adimensionales

$$Re = \frac{\rho_0 u_0 R_0}{\mu_0}, \quad Fr = \frac{u_0^2}{g R_0}, \quad Ca = \frac{\mu_0 u_0}{\sigma_2}, \quad Pr = \frac{\mu_0 C_0}{k_0},$$

$$Pe = Re Pr, \quad Br = \frac{\mu_0 u_0^2}{k_0 T_0}, \quad Bi = \frac{h R_0}{k_0}$$



MODELO DE ORIENTACIÓN MOLECULAR

Tesis
Doctoral

Francisco
José Blanco
Rodríguez

1. Introducción
y objetivos

2. Modelado
matemático

3. Modelo 1-D

4. Modelo 2-D

5. Resultados
para fibras
compuestas

6. Conclusiones

- Tensor de orientación, \mathbf{S} , diagonal y con traza nula

$$\mathbf{S} = \frac{1}{3} \begin{pmatrix} -s_r & 0 & 0 \\ 0 & s_r - s_x & 0 \\ 0 & 0 & s_x \end{pmatrix}$$

- Ecuaciones para las componentes del tensor de orientación

$$\frac{\partial s_{ir}}{\partial \hat{t}} + \hat{\mathbf{v}}_i \cdot \hat{\nabla} s_{ir} = (s_{ir} - 1) \left(2 \frac{\partial \hat{v}_i}{\partial \hat{r}} - 2 \Pi_i^* \right) - \frac{\phi_i}{\lambda_i} \left\{ s_{ir} - \frac{N_i}{3} [(1 - s_{ir}) (s_{ir} + 3 \Pi_{i,s})] \right\}$$

$$\frac{\partial s_{ix}}{\partial \hat{t}} + \hat{\mathbf{v}}_i \cdot \hat{\nabla} s_{ix} = (s_{ix} + 1) \left(2 \frac{\partial \hat{v}_i}{\partial \hat{x}} - 2 \Pi_i^* \right) - \frac{\phi_i}{\lambda_i} \left\{ s_{ix} - \frac{N_i}{3} [(s_{ix} + 1) (s_{ix} - 3 \Pi_{i,s})] \right\}$$

donde

$$\Pi_{i,s} = (\mathbf{S} : \mathbf{S}) = \frac{2}{9} (s_{ir}^2 + s_{ix}^2 - s_{ir}s_{ix}) \quad \Rightarrow \quad S_i = \sqrt{\frac{3}{2} \Pi_{i,s}} \quad i = 1, 2$$

$$\Pi_i^* = (\hat{\nabla} \mathbf{v}^* : \mathbf{S}) = \frac{1}{3} \left[s_{ir} \left(\frac{\partial \hat{v}_i}{\partial \hat{r}} - \frac{\partial \hat{u}_i}{\partial \hat{r}} \right) - s_{ix} \left(\frac{\partial \hat{v}_i}{\partial \hat{x}} - \frac{\partial \hat{u}_i}{\partial \hat{x}} \right) \right] \quad i = 1, 2$$



MODELO DE ORIENTACIÓN MOLECULAR

Tesis
Doctoral

Francisco
José Blanco
Rodríguez

1. Introducción
y objetivos

2. Modelado
matemático

3. Modelo 1-D

4. Modelo 2-D

5. Resultados
para fibras
compuestas

6. Conclusiones

- Tensor de orientación, \mathbf{S} , diagonal y con traza nula

$$\mathbf{S} = \frac{1}{3} \begin{pmatrix} -s_r & 0 & 0 \\ 0 & s_r - s_x & 0 \\ 0 & 0 & s_x \end{pmatrix}$$

- Ecuaciones para las componentes del tensor de orientación

$$\frac{\partial s_{ir}}{\partial \hat{t}} + \hat{\mathbf{v}}_i \cdot \hat{\nabla} s_{ir} = (s_{ir} - 1) \left(2 \frac{\partial \hat{v}_i}{\partial \hat{r}} - 2 \Pi_i^* \right) - \frac{\phi_i}{\hat{\lambda}_i} \left\{ s_{ir} - \frac{N_i}{3} [(1 - s_{ir}) (s_{ir} + 3 \Pi_{i,s})] \right\}$$

$$\frac{\partial s_{ix}}{\partial \hat{t}} + \hat{\mathbf{v}}_i \cdot \hat{\nabla} s_{ix} = (s_{ix} + 1) \left(2 \frac{\partial \hat{u}_i}{\partial \hat{x}} - 2 \Pi_i^* \right) - \frac{\phi_i}{\hat{\lambda}_i} \left\{ s_{ix} - \frac{N_i}{3} [(s_{ix} + 1) (s_{ix} - 3 \Pi_{i,s})] \right\}$$

donde

$$\Pi_{i,s} = (\mathbf{S} : \mathbf{S}) = \frac{2}{9} (s_{ir}^2 + s_{ix}^2 - s_{ir}s_{ix}) \quad \Rightarrow \quad \mathcal{S}_i = \sqrt{\frac{3}{2} \Pi_{i,s}} \quad i = 1, 2$$

$$\Pi_i^* = (\hat{\nabla} \hat{\mathbf{v}}^T : \mathbf{S}) = \frac{1}{3} \left[s_{ir} \left(\frac{\hat{v}_i}{\hat{r}} - \frac{\partial \hat{v}_i}{\partial \hat{r}} \right) - s_{ix} \left(\frac{\hat{v}_i}{\hat{r}} - \frac{\partial \hat{u}_i}{\partial \hat{x}} \right) \right] \quad i = 1, 2$$



MODELO DE ORIENTACIÓN MOLECULAR

Tesis
Doctoral

Francisco
José Blanco
Rodríguez

1. Introducción
y objetivos

2. Modelado
matemático

3. Modelo 1-D

4. Modelo 2-D

5. Resultados
para fibras
compuestas

6. Conclusiones

- Tensor de orientación, \mathbf{S} , diagonal y con traza nula

$$\mathbf{S} = \frac{1}{3} \begin{pmatrix} -s_r & 0 & 0 \\ 0 & s_r - s_x & 0 \\ 0 & 0 & s_x \end{pmatrix}$$

- Ecuaciones para las componentes del tensor de orientación

$$\frac{\partial s_{ir}}{\partial \hat{t}} + \hat{\mathbf{v}}_i \cdot \hat{\nabla} s_{ir} = (s_{ir} - 1) \left(2 \frac{\partial \hat{v}_i}{\partial \hat{r}} - 2 \Pi_i^* \right) - \frac{\phi_i}{\hat{\lambda}_i} \left\{ s_{ir} - \frac{N_i}{3} [(1 - s_{ir}) (s_{ir} + 3 \Pi_{i,s})] \right\}$$

$$\frac{\partial s_{ix}}{\partial \hat{t}} + \hat{\mathbf{v}}_i \cdot \hat{\nabla} s_{ix} = (s_{ix} + 1) \left(2 \frac{\partial \hat{u}_i}{\partial \hat{x}} - 2 \Pi_i^* \right) - \frac{\phi_i}{\hat{\lambda}_i} \left\{ s_{ix} - \frac{N_i}{3} [(s_{ix} + 1) (s_{ix} - 3 \Pi_{i,s})] \right\}$$

donde

$$\Pi_{i,s} = (\mathbf{S} : \mathbf{S}) = \frac{2}{9} (s_{ir}^2 + s_{ix}^2 - s_{ir}s_{ix}) \quad \Rightarrow \quad \mathcal{S}_i = \sqrt{\frac{3}{2} \Pi_{i,s}} \quad i = 1, 2$$

$$\Pi_i^* = (\hat{\nabla} \hat{\mathbf{v}}^T : \mathbf{S}) = \frac{1}{3} \left[s_{ir} \left(\frac{\hat{v}_i}{\hat{r}} - \frac{\partial \hat{v}_i}{\partial \hat{r}} \right) - s_{ix} \left(\frac{\hat{v}_i}{\hat{r}} - \frac{\partial \hat{u}_i}{\partial \hat{x}} \right) \right] \quad i = 1, 2$$



MODELO DE CRISTALIZACIÓN

Tesis
Doctoral

Francisco
José Blanco
Rodríguez

1. Introducción
y objetivos

2. Modelado
matemático

3. Modelo 1-D

4. Modelo 2-D

5. Resultados
para fibras
compuestas

6. Conclusiones

Hipótesis

Fluidos semicristalinos se comportan como monofásicos

- Cinética de cristalización de Avrami–Kolmogorov

$$\frac{\partial \mathcal{Y}_i}{\partial \hat{t}} + \hat{\mathbf{v}}_i \cdot \hat{\nabla} \mathcal{Y}_i = k_{Ai}(\mathcal{S}_i) (\mathcal{Y}_{\infty,i} - \mathcal{Y}_i) \quad i = 1, 2$$

donde

$$k_{Ai}(\mathcal{S}_i) = k_{Ai}(0) \exp(a_{2i} \mathcal{S}_i^2) \quad i = 1, 2$$

- Viscosidad dinámica efectiva

$$\hat{\mu}_{e,i}(\hat{T}_i, \mathcal{Y}_i) = \hat{\mu}_i(\hat{T}_i) \cdot \exp\left(\beta_i \left(\frac{\mathcal{Y}_i}{\mathcal{Y}_{\infty,i}}\right)^{n_i}\right) \quad i = 1, 2$$



MODELO DE CRISTALIZACIÓN

Tesis
Doctoral

Francisco
José Blanco
Rodríguez

1. Introducción
y objetivos

2. Modelado
matemático

3. Modelo 1-D

4. Modelo 2-D

5. Resultados
para fibras
compuestas

6. Conclusiones

Hipótesis

Fluidos semicristalinos se comportan como monofásicos

- Cinética de cristalización de Avrami–Kolmogorov

$$\frac{\partial \mathcal{Y}_i}{\partial t} + \hat{\mathbf{v}}_i \cdot \hat{\nabla} \mathcal{Y}_i = k_{Ai}(\mathcal{S}_i) (\mathcal{Y}_{\infty,i} - \mathcal{Y}_i) \quad i = 1, 2$$

donde

$$k_{Ai}(\mathcal{S}_i) = k_{Ai}(0) \exp(a_{2i}\mathcal{S}_i^2) \quad i = 1, 2$$

- Viscosidad dinámica efectiva

$$\hat{\mu}_{e,i}(\hat{T}_i, \mathcal{Y}_i) = \hat{\mu}_i(\hat{T}_i) \cdot \exp\left(\beta_i \left(\frac{\mathcal{Y}_i}{\mathcal{Y}_{\infty,i}}\right)^{n_i}\right) \quad i = 1, 2$$



MODELO DE CRISTALIZACIÓN

Tesis
Doctoral

Francisco
José Blanco
Rodríguez

1. Introducción
y objetivos

2. Modelado
matemático

3. Modelo 1-D

4. Modelo 2-D

5. Resultados
para fibras
compuestas

6. Conclusiones

Hipótesis

Fluidos semicristalinos se comportan como monofásicos

- **Cinética de cristalización de Avrami–Kolmogorov**

$$\frac{\partial \mathcal{Y}_i}{\partial t} + \hat{\mathbf{v}}_i \cdot \hat{\nabla} \mathcal{Y}_i = k_{Ai}(\mathcal{S}_i) (\mathcal{Y}_{\infty,i} - \mathcal{Y}_i) \quad i = 1, 2$$

donde

$$k_{Ai}(\mathcal{S}_i) = k_{Ai}(0) \exp(a_{2i} \mathcal{S}_i^2) \quad i = 1, 2$$

- **Viscosidad dinámica efectiva**

$$\hat{\mu}_{e,i}(\hat{T}_i, \mathcal{Y}_i) = \hat{\mu}_i(\hat{T}_i) \cdot \exp\left(\beta_i \left(\frac{\mathcal{Y}_i}{\mathcal{Y}_{\infty,i}}\right)^{n_i}\right) \quad i = 1, 2$$



Tesis
Doctoral

Francisco
José Blanco
Rodríguez

1. Introducción
y objetivos

2. Modelado
matemático

3. Modelo 1-D

4. Modelo 2-D

5. Resultados
para fibras
compuestas

6. Conclusiones

3. MODELO UNIDIMENSIONAL



ANÁLISIS ASINTÓTICO

Tesis
Doctoral

Francisco
José Blanco
Rodríguez

1. Introducción
y objetivos

2. Modelado
matemático

3. Modelo 1-D

4. Modelo 2-D

5. Resultados
para fibras
compuestas

6. Conclusiones

• Régimen de flujo analizado

$$Re = \epsilon \bar{R}, \quad Fr = \frac{\bar{F}}{\epsilon}, \quad Ca = \frac{\bar{C}}{\epsilon},$$

$$Pe = \epsilon \bar{P}, \quad Br = \epsilon^2 \bar{Br}, \quad Bi = \epsilon^2 \bar{B}$$

• Método perturbativo usando como parámetro la esbeltez, ϵ , de la fibra

$$\Psi_i = \Psi_{i,0} + \epsilon^2 \Psi_{i,2} + O(\epsilon^4),$$

para las variables \hat{R}_i , \hat{u}_i , \hat{v}_i , \hat{p}_i y \hat{T}_i donde $i = 1, 2$.

• Expresiones para el orden más bajo

$$\hat{R}_{i,0} \equiv \mathcal{R}_i(\hat{x}, \hat{t}), \quad \hat{u}_{i,0} \equiv \mathcal{B}_i = \mathcal{B}(\hat{x}, \hat{t}), \quad \hat{v}_{i,0} \equiv \mathcal{V}_i = \mathcal{V}(\hat{r}, \hat{x}, \hat{t})$$

$$\hat{T}_{i,0} \equiv \mathcal{F}_i = \mathcal{F}(\hat{x}, \hat{t}) \quad i = 1, 2$$



ANÁLISIS ASINTÓTICO

Tesis
Doctoral

Francisco
José Blanco
Rodríguez

1. Introducción
y objetivos

2. Modelado
matemático

3. Modelo 1-D

4. Modelo 2-D

5. Resultados
para fibras
compuestas

6. Conclusiones

- **Régimen de flujo analizado**

$$Re = \epsilon \bar{R}, \quad Fr = \frac{\bar{F}}{\epsilon}, \quad Ca = \frac{\bar{C}}{\epsilon},$$

$$Pe = \epsilon \bar{P}, \quad Br = \epsilon^2 \bar{Br}, \quad Bi = \epsilon^2 \bar{B}$$

- **Método perturbativo usando como parámetro la esbeltez,
 ϵ , de la fibra**

$$\Psi_i = \Psi_{i,0} + \epsilon^2 \Psi_{i,2} + O(\epsilon^4),$$

para las variables \hat{R}_i , \hat{u}_i , \hat{v}_i , \hat{p}_i y \hat{T}_i donde $i = 1, 2$.

- **Expresiones para el orden más bajo**

$$\hat{R}_{i,0} \equiv \mathcal{R}_i(\hat{x}, \hat{t}), \quad \hat{u}_{i,0} \equiv \mathcal{B}_i = \mathcal{B}(\hat{x}, \hat{t}), \quad \hat{v}_{i,0} \equiv \mathcal{V}_i = \mathcal{V}(\hat{r}, \hat{x}, \hat{t})$$

$$\hat{T}_{i,0} \equiv \mathcal{F}_i = \mathcal{F}(\hat{x}, \hat{t}) \quad i = 1, 2$$



ANÁLISIS ASINTÓTICO

Tesis
Doctoral

Francisco
José Blanco
Rodríguez

1. Introducción
y objetivos

2. Modelado
matemático

3. Modelo 1-D

4. Modelo 2-D

5. Resultados
para fibras
compuestas

6. Conclusiones

- **Régimen de flujo analizado**

$$Re = \epsilon \bar{R}, \quad Fr = \frac{\bar{F}}{\epsilon}, \quad Ca = \frac{\bar{C}}{\epsilon},$$

$$Pe = \epsilon \bar{P}, \quad Br = \epsilon^2 \bar{Br}, \quad Bi = \epsilon^2 \bar{B}$$

- **Método perturbativo usando como parámetro la esbeltez,
 ϵ , de la fibra**

$$\Psi_i = \Psi_{i,0} + \epsilon^2 \Psi_{i,2} + O(\epsilon^4),$$

para las variables \hat{R}_i , \hat{u}_i , \hat{v}_i , \hat{p}_i y \hat{T}_i donde $i = 1, 2$.

- **Expresiones para el orden más bajo**

$$\hat{R}_{i,0} \equiv \mathcal{R}_i(\hat{x}, \hat{t}), \quad \hat{u}_{i,0} \equiv \mathcal{B}_i = \mathcal{B}(\hat{x}, \hat{t}), \quad \hat{v}_{i,0} \equiv \mathcal{V}_i = \mathcal{V}(\hat{r}, \hat{x}, \hat{t})$$

$$\hat{T}_{i,0} \equiv \mathcal{F}_i = \mathcal{F}(\hat{x}, \hat{t}) \quad i = 1, 2$$



FIBRAS COMPUESTAS AMORFAS

Ecuaciones modelo 1-D

Tesis
Doctoral

Francisco
José Blanco
Rodríguez

1. Introducción
y objetivos

2. Modelado
matemático

3. Modelo 1-D

4. Modelo 2-D

5. Resultados
para fibras
compuestas

6. Conclusiones

- Ecuación de conservación de la masa

$$\frac{\partial \mathcal{A}_i}{\partial \hat{t}} + \frac{\partial}{\partial \hat{x}} (\mathcal{A}_i \mathcal{B}) = 0 \quad i = 1, 2$$

$$\mathcal{A}_1 = \frac{\mathcal{R}_1^2}{2}, \quad \mathcal{A}_2 = \frac{\mathcal{R}_2^2 - \mathcal{R}_1^2}{2}$$

- Condición de incompresibilidad

$$\mathcal{V}(\hat{r}, \hat{x}, \hat{t}) = -\frac{\hat{r}}{2} \frac{\partial \mathcal{B}}{\partial \hat{x}}$$



FIBRAS COMPUESTAS AMORFAS

Ecuaciones modelo 1-D

Tesis
Doctoral

Francisco
José Blanco
Rodríguez

1. Introducción
y objetivos

2. Modelado
matemático

3. Modelo 1-D

4. Modelo 2-D

5. Resultados
para fibras
compuestas

6. Conclusiones

- Ecuación de conservación de la masa

$$\frac{\partial \mathcal{A}_i}{\partial \hat{t}} + \frac{\partial}{\partial \hat{x}} (\mathcal{A}_i \mathcal{B}) = 0 \quad i = 1, 2$$

$$\mathcal{A}_1 = \frac{\mathcal{R}_1^2}{2}, \quad \mathcal{A}_2 = \frac{\mathcal{R}_2^2 - \mathcal{R}_1^2}{2}$$

- Condición de incompresibilidad

$$\mathcal{V}(\hat{r}, \hat{x}, \hat{t}) = -\frac{\hat{r}}{2} \frac{\partial \mathcal{B}}{\partial \hat{x}}$$



FIBRAS COMPUESTAS AMORFAS

Ecuaciones modelo 1-D

Tesis
Doctoral

Francisco
José Blanco
Rodríguez

1. Introducción
y objetivos

2. Modelado
matemático

3. Modelo 1-D

4. Modelo 2-D

5. Resultados
para fibras
compuestas

6. Conclusiones

- Ecuación de conservación de cantidad de movimiento

$$\bar{R} (\hat{\rho}_1 \mathcal{A}_1 + \hat{\rho}_2 \mathcal{A}_2) \frac{D\mathcal{B}}{Dt} = (\hat{\rho}_1 \mathcal{A}_1 + \hat{\rho}_2 \mathcal{A}_2) \frac{\bar{R}}{\bar{F}} + \frac{1}{2\bar{C}} \left(\frac{\partial \mathcal{R}_2}{\partial \hat{x}} + \frac{\sigma_1}{\sigma_2} \frac{\partial \mathcal{R}_1}{\partial \hat{x}} \right) \\ + \frac{\partial}{\partial \hat{x}} \left\{ 3 (\hat{\mu}_{1,0} \mathcal{A}_1 + \hat{\mu}_{2,0} \mathcal{A}_2) \frac{\partial \mathcal{B}}{\partial \hat{x}} \right\} \\ - \hat{\mathcal{T}}_2 \mathcal{R}_2 - \frac{\partial \hat{p}_e}{\partial \hat{x}} (\mathcal{A}_1 + \mathcal{A}_2)$$

donde

$$\hat{\mu}_{i,0} = \hat{\mu}_{i,0} (\mathcal{F}) = \hat{D}_i \exp \left(\hat{H}_i (1 - \mathcal{F}) \right) \quad i = 1, 2$$

- Ecuación de conservación de energía

$$\bar{P} (\hat{\rho}_1 \hat{C}_1 \mathcal{A}_1 + \hat{\rho}_2 \hat{C}_2 \mathcal{A}_2) \frac{D\mathcal{F}}{Dt} = \frac{\partial}{\partial \hat{x}} \left((\mathcal{A}_1 \hat{k}_1 + \mathcal{A}_2 \hat{k}_2) \frac{\partial \mathcal{F}}{\partial \hat{x}} \right) \\ - \bar{B} \hat{h}_2 \mathcal{R}_2 (\mathcal{F} - \mathcal{F}_{\infty,2})$$



FIBRAS COMPUESTAS AMORFAS

Ecuaciones modelo 1-D

Tesis
Doctoral

Francisco
José Blanco
Rodríguez

1. Introducción
y objetivos

2. Modelado
matemático

3. Modelo 1-D

4. Modelo 2-D

5. Resultados
para fibras
compuestas

6. Conclusiones

- Ecuación de conservación de cantidad de movimiento

$$\bar{R} (\hat{\rho}_1 \mathcal{A}_1 + \hat{\rho}_2 \mathcal{A}_2) \frac{D\mathcal{B}}{D\hat{t}} = (\hat{\rho}_1 \mathcal{A}_1 + \hat{\rho}_2 \mathcal{A}_2) \frac{\bar{R}}{\bar{F}} + \frac{1}{2\bar{C}} \left(\frac{\partial \mathcal{R}_2}{\partial \hat{x}} + \frac{\sigma_1}{\sigma_2} \frac{\partial \mathcal{R}_1}{\partial \hat{x}} \right) \\ + \frac{\partial}{\partial \hat{x}} \left\{ 3 (\hat{\mu}_{1,0} \mathcal{A}_1 + \hat{\mu}_{2,0} \mathcal{A}_2) \frac{\partial \mathcal{B}}{\partial \hat{x}} \right\} \\ - \hat{\mathcal{T}}_2 \mathcal{R}_2 - \frac{\partial \hat{p}_e}{\partial \hat{x}} (\mathcal{A}_1 + \mathcal{A}_2)$$

donde

$$\hat{\mu}_{i,0} = \hat{\mu}_{i,0} (\mathcal{F}) = \hat{D}_i \exp \left(\hat{H}_i (1 - \mathcal{F}) \right) \quad i = 1, 2$$

- Ecuación de conservación de energía

$$\bar{P} (\hat{\rho}_1 \hat{C}_1 \mathcal{A}_1 + \hat{\rho}_2 \hat{C}_2 \mathcal{A}_2) \frac{D\mathcal{F}}{D\hat{t}} = \frac{\partial}{\partial \hat{x}} \left((\mathcal{A}_1 \hat{k}_1 + \mathcal{A}_2 \hat{k}_2) \frac{\partial \mathcal{F}}{\partial \hat{x}} \right) \\ - \bar{B} \hat{h}_2 \mathcal{R}_2 (\mathcal{F} - \mathcal{F}_{\infty,2})$$



FIBRAS ANULARES COMPUESTAS AMORFAS

Ecuaciones modelo 1-D

Tesis
Doctoral

Francisco
José Blanco
Rodríguez

1. Introducción
y objetivos

2. Modelado
matemático

3. Modelo 1-D

4. Modelo 2-D

5. Resultados
para fibras
compuestas

6. Conclusiones

• Ecuación de conservación de la masa

$$\frac{\partial \mathcal{A}_i}{\partial \hat{t}} + \frac{\partial}{\partial \hat{x}} (\mathcal{A}_i \mathcal{B}) = 0 \quad i = 1, 2$$

$$\mathcal{A}_1 = \frac{\mathcal{R}_1^2 - \mathcal{R}_0^2}{2}, \quad \mathcal{A}_2 = \frac{\mathcal{R}_2^2 - \mathcal{R}_1^2}{2}$$

y

$$\frac{\partial}{\partial \hat{t}} \left(\frac{\mathcal{R}_1^2}{2} \right) + \frac{\partial}{\partial \hat{x}} \left(\frac{\mathcal{R}_1^2}{2} \mathcal{B} \right) = \mathcal{C}(\hat{x}, \hat{t})$$

donde

$$\mathcal{C}(\hat{x}, \hat{t}) = -\frac{1}{2} \frac{(\hat{p}_e - \hat{p}_i) + \frac{1}{C} \left[\left(\frac{\sigma}{\sigma_2} \right) \frac{1}{\mathcal{R}_0} + \left(\frac{\sigma_1}{\sigma_2} \right) \frac{1}{\mathcal{R}_1} + \frac{1}{\mathcal{R}_2} \right]}{\hat{\mu}_{1,0} \left(\frac{1}{\mathcal{R}_0^2} - \frac{1}{\mathcal{R}_1^2} \right) + \hat{\mu}_{2,0} \left(\frac{1}{\mathcal{R}_1^2} - \frac{1}{\mathcal{R}_2^2} \right)}$$

• Condición de incompresibilidad

$$\mathcal{V}(\hat{r}, \hat{x}, \hat{t}) = \frac{\mathcal{C}(\hat{x}, \hat{t})}{\hat{r}} - \frac{\hat{r}}{2} \frac{\partial \mathcal{B}}{\partial \hat{x}}$$



FIBRAS ANULARES COMPUESTAS AMORFAS

Ecuaciones modelo 1-D

Tesis
Doctoral

Francisco
José Blanco
Rodríguez

1. Introducción
y objetivos

2. Modelado
matemático

3. Modelo 1-D

4. Modelo 2-D

5. Resultados
para fibras
compuestas

6. Conclusiones

• Ecuación de conservación de la masa

$$\frac{\partial \mathcal{A}_i}{\partial \hat{t}} + \frac{\partial}{\partial \hat{x}} (\mathcal{A}_i \mathcal{B}) = 0 \quad i = 1, 2$$

$$\mathcal{A}_1 = \frac{\mathcal{R}_1^2 - \mathcal{R}_0^2}{2}, \quad \mathcal{A}_2 = \frac{\mathcal{R}_2^2 - \mathcal{R}_1^2}{2}$$

y

$$\frac{\partial}{\partial \hat{t}} \left(\frac{\mathcal{R}_1^2}{2} \right) + \frac{\partial}{\partial \hat{x}} \left(\frac{\mathcal{R}_1^2}{2} \mathcal{B} \right) = \mathcal{C}(\hat{x}, \hat{t})$$

donde

$$\mathcal{C}(\hat{x}, \hat{t}) = -\frac{1}{2} \frac{(\hat{p}_e - \hat{p}_i) + \frac{1}{C} \left[\left(\frac{\sigma}{\sigma_2} \right) \frac{1}{\mathcal{R}_0} + \left(\frac{\sigma_1}{\sigma_2} \right) \frac{1}{\mathcal{R}_1} + \frac{1}{\mathcal{R}_2} \right]}{\hat{\mu}_{1,0} \left(\frac{1}{\mathcal{R}_0^2} - \frac{1}{\mathcal{R}_1^2} \right) + \hat{\mu}_{2,0} \left(\frac{1}{\mathcal{R}_1^2} - \frac{1}{\mathcal{R}_2^2} \right)}$$

• Condición de incompresibilidad

$$\mathcal{V}(\hat{r}, \hat{x}, \hat{t}) = \frac{\mathcal{C}(\hat{x}, \hat{t})}{\hat{r}} - \frac{\hat{r}}{2} \frac{\partial \mathcal{B}}{\partial \hat{x}}$$



FIBRAS ANULARES COMPUESTAS AMORFAS

Ecuaciones modelo 1-D

Tesis
Doctoral

Francisco
José Blanco
Rodríguez

1. Introducción
y objetivos

2. Modelado
matemático

3. Modelo 1-D

4. Modelo 2-D

5. Resultados
para fibras
compuestas

6. Conclusiones

- Ecuación de conservación de cantidad de movimiento

$$\begin{aligned}\bar{R}(\hat{\rho}_1 \mathcal{A}_1 + \hat{\rho}_2 \mathcal{A}_2) \frac{D\mathcal{B}}{Dt} &= (\hat{\rho}_1 \mathcal{A}_1 + \hat{\rho}_2 \mathcal{A}_2) \frac{\bar{R}}{\bar{F}} - \mathcal{A}_1 \frac{\partial \mathcal{D}_1}{\partial \hat{x}} - \mathcal{A}_2 \frac{\partial \mathcal{D}_2}{\partial \hat{x}} \\ &\quad + \frac{\partial}{\partial \hat{x}} \left(3(\hat{\mu}_{1,0} \mathcal{A}_1 + \hat{\mu}_{2,0} \mathcal{A}_2) \frac{\partial \mathcal{B}}{\partial \hat{x}} \right) \\ &\quad + 2\mathcal{C}(\hat{x}) \left(\hat{\mu}_{1,0} \frac{\partial \mathcal{A}_1}{\partial \hat{x}} + \hat{\mu}_{2,0} \frac{\partial \mathcal{A}_2}{\partial \hat{x}} \right) \\ &\quad - \hat{T}_2 \mathcal{R}_2 + \hat{T} \mathcal{R}_0\end{aligned}$$

donde

$$\mathcal{D}_1(\hat{x}, \hat{t}) = \hat{p}_i - \frac{1}{\bar{C}} \left(\frac{\sigma}{\sigma_2} \right) \frac{1}{\mathcal{R}_0} - \hat{\mu}_{1,0} \frac{2\mathcal{C}(\hat{x})}{\mathcal{R}_0^2}$$

$$\mathcal{D}_2(\hat{x}, \hat{t}) = \hat{p}_e + \frac{1}{\bar{C}} \frac{1}{\mathcal{R}_2} - \hat{\mu}_{2,0} \frac{2\mathcal{C}(\hat{x})}{\mathcal{R}_2^2}$$

- Ecuación de conservación de la energía

$$\begin{aligned}\bar{P} \left(\hat{\rho}_1 \hat{C}_1 \mathcal{A}_1 + \hat{\rho}_2 \hat{C}_2 \mathcal{A}_2 \right) \frac{D\mathcal{F}}{Dt} &= \frac{\partial}{\partial \hat{x}} \left(\left(\mathcal{A}_1 \hat{k}_1 + \mathcal{A}_2 \hat{k}_2 \right) \frac{\partial \mathcal{F}}{\partial \hat{x}} \right) \\ &\quad - \bar{B} \left[\hat{h}_2 \mathcal{R}_2 (\mathcal{F} - \mathcal{F}_{\infty,2}) + \hat{h}_1 \mathcal{R}_0 (\mathcal{F} - \mathcal{F}_{\infty,1}) \right]\end{aligned}$$

donde $\frac{D}{Dt} \equiv \frac{\partial}{\partial \hat{t}} + \mathcal{B} \frac{\partial}{\partial \hat{x}}$



FIBRAS ANULARES COMPUESTAS AMORFAS

Ecuaciones modelo 1-D

Tesis
Doctoral

Francisco
José Blanco
Rodríguez

1. Introducción
y objetivos

2. Modelado
matemático

3. Modelo 1-D

4. Modelo 2-D

5. Resultados
para fibras
compuestas

6. Conclusiones

- **Ecuación de conservación de cantidad de movimiento**

$$\begin{aligned}\bar{R}(\hat{\rho}_1 \mathcal{A}_1 + \hat{\rho}_2 \mathcal{A}_2) \frac{D\mathcal{B}}{Dt} &= (\hat{\rho}_1 \mathcal{A}_1 + \hat{\rho}_2 \mathcal{A}_2) \frac{\bar{R}}{\bar{F}} - \mathcal{A}_1 \frac{\partial \mathcal{D}_1}{\partial \hat{x}} - \mathcal{A}_2 \frac{\partial \mathcal{D}_2}{\partial \hat{x}} \\ &\quad + \frac{\partial}{\partial \hat{x}} \left(3(\hat{\mu}_{1,0} \mathcal{A}_1 + \hat{\mu}_{2,0} \mathcal{A}_2) \frac{\partial \mathcal{B}}{\partial \hat{x}} \right) \\ &\quad + 2\mathcal{C}(\hat{x}) \left(\hat{\mu}_{1,0} \frac{\partial \mathcal{A}_1}{\partial \hat{x}} + \hat{\mu}_{2,0} \frac{\partial \mathcal{A}_2}{\partial \hat{x}} \right) \\ &\quad - \hat{T}_2 \mathcal{R}_2 + \hat{T} \mathcal{R}_0\end{aligned}$$

donde

$$\mathcal{D}_1(\hat{x}, \hat{t}) = \hat{p}_i - \frac{1}{\bar{C}} \left(\frac{\sigma}{\sigma_2} \right) \frac{1}{\mathcal{R}_0} - \hat{\mu}_{1,0} \frac{2\mathcal{C}(\hat{x})}{\mathcal{R}_0^2}$$

$$\mathcal{D}_2(\hat{x}, \hat{t}) = \hat{p}_e + \frac{1}{\bar{C}} \frac{1}{\mathcal{R}_2} - \hat{\mu}_{2,0} \frac{2\mathcal{C}(\hat{x})}{\mathcal{R}_2^2}$$

- **Ecuación de conservación de la energía**

$$\begin{aligned}\bar{P} \left(\hat{\rho}_1 \hat{C}_1 \mathcal{A}_1 + \hat{\rho}_2 \hat{C}_2 \mathcal{A}_2 \right) \frac{D\mathcal{F}}{D\hat{t}} &= \frac{\partial}{\partial \hat{x}} \left(\left(\mathcal{A}_1 \hat{k}_1 + \mathcal{A}_2 \hat{k}_2 \right) \frac{\partial \mathcal{F}}{\partial \hat{x}} \right) \\ &\quad - \bar{B} \left[\hat{h}_2 \mathcal{R}_2 (\mathcal{F} - \mathcal{F}_{\infty,2}) + \hat{h}_1 \mathcal{R}_0 (\mathcal{F} - \mathcal{F}_{\infty,1}) \right]\end{aligned}$$

donde $\frac{D}{D\hat{t}} \equiv \frac{\partial}{\partial \hat{t}} + \mathcal{B} \frac{\partial}{\partial \hat{x}}$



ORIENTACIÓN MOLECULAR Y GRADO DE CRISTALIZACIÓN

Ecuaciones modelo 1-D

Tesis Doctoral

Francisco
José Blanco
Rodríguez

1. Introducción
y objetivos

2. Modelado
matemático

3. Modelo 1-D

4. Modelo 2-D

5. Resultados
para fibras
compuestas

6. Conclusiones

- Modelo con parámetro de orden

$$\mathbf{S} = \frac{s}{3} \begin{pmatrix} -1 & 0 & 0 \\ 0 & -1 & 0 \\ 0 & 0 & 2 \end{pmatrix} \sim \hat{\nabla} \mathbf{v} \quad \Rightarrow \quad \mathcal{S}_i = \sqrt{\frac{3}{2} (\mathbf{S}_i : \mathbf{S}_i)} = s_i \quad i = 1, 2$$

- Ecuación de Doi–Edwards

$$\frac{D\mathcal{S}_i}{D\hat{t}} = (1-\mathcal{S}_i)(2\mathcal{S}_i+1) \frac{\partial \mathcal{B}}{\partial \hat{x}} - \frac{\phi_i}{\hat{\lambda}_i} \mathcal{F} U(\mathcal{S}_i), \quad U(\mathcal{S}_i) = \mathcal{S}_i \left(1 - \frac{N_i}{3} (1-\mathcal{S}_i)(2\mathcal{S}_i+1) \right)$$

- Modelo de Ziabicki

$$\frac{D\mathcal{Y}_i}{D\hat{t}} = k_{Ai}(\mathcal{S})(\mathcal{Y}_{\infty,i} - \mathcal{Y}_i) \quad i = 1, 2$$

- Viscosidad dinámica efectiva

$$\hat{\tau} = 2\hat{\mu}_{ei,0} \hat{\mathbf{D}} \quad \Rightarrow \quad \hat{\mu}_{ei,0} = \hat{\mu}_{i,0}(\mathcal{F}) \exp \left(\beta_i \left(\frac{\mathcal{Y}_i}{\mathcal{Y}_{\infty,i}} \right)^{n_i} \right) + \frac{2}{3} \alpha_i \hat{\lambda}_i \hat{T}_i \mathcal{S}_i^2 \quad i = 1, 2$$

$$\text{donde } \alpha = \frac{3c k_B T_0}{p_0}$$



ORIENTACIÓN MOLECULAR Y GRADO DE CRISTALIZACIÓN

Ecuaciones modelo 1-D

Tesis Doctoral

Francisco
José Blanco
Rodríguez

1. Introducción
y objetivos

2. Modelado
matemático

3. Modelo 1-D

4. Modelo 2-D

5. Resultados
para fibras
compuestas

6. Conclusiones

• Modelo con parámetro de orden

$$\mathbf{S} = \frac{s}{3} \begin{pmatrix} -1 & 0 & 0 \\ 0 & -1 & 0 \\ 0 & 0 & 2 \end{pmatrix} \sim \hat{\nabla} \mathbf{v} \quad \Rightarrow \quad \mathcal{S}_i = \sqrt{\frac{3}{2} (\mathbf{S}_i : \mathbf{S}_i)} = s_i \quad i = 1, 2$$

• Ecuación de Doi–Edwards

$$\frac{D\mathcal{S}_i}{D\hat{t}} = (1-\mathcal{S}_i)(2\mathcal{S}_i+1) \frac{\partial \mathcal{B}}{\partial \hat{x}} - \frac{\phi_i}{\hat{\lambda}_i} \mathcal{F} U(\mathcal{S}_i), \quad U(\mathcal{S}_i) = \mathcal{S}_i \left(1 - \frac{N_i}{3} (1-\mathcal{S}_i)(2\mathcal{S}_i+1) \right)$$

• Modelo de Ziabicki

$$\frac{D\mathcal{Y}_i}{D\hat{t}} = k_{Ai}(\mathcal{S})(\mathcal{Y}_{\infty,i} - \mathcal{Y}_i) \quad i = 1, 2$$

• Viscosidad dinámica efectiva

$$\hat{\tau} = 2\hat{\mu}_{ei,0} \hat{\mathbf{D}} \quad \Rightarrow \quad \hat{\mu}_{ei,0} = \hat{\mu}_{i,0}(\mathcal{F}) \exp \left(\beta_i \left(\frac{\mathcal{Y}_i}{\mathcal{Y}_{\infty,i}} \right)^{n_i} \right) + \frac{2}{3} \alpha_i \hat{\lambda}_i \hat{T}_i \mathcal{S}_i^2 \quad i = 1, 2$$

$$\text{donde } \alpha = \frac{3c k_B T_0}{p_0}$$



ORIENTACIÓN MOLECULAR Y GRADO DE CRISTALIZACIÓN

Ecuaciones modelo 1-D

Tesis
Doctoral

Francisco
José Blanco
Rodríguez

1. Introducción
y objetivos

2. Modelado
matemático

3. Modelo 1-D

4. Modelo 2-D

5. Resultados
para fibras
compuestas

6. Conclusiones

- **Modelo con parámetro de orden**

$$\mathbf{S} = \frac{s}{3} \begin{pmatrix} -1 & 0 & 0 \\ 0 & -1 & 0 \\ 0 & 0 & 2 \end{pmatrix} \sim \hat{\nabla} \mathbf{v} \quad \Rightarrow \quad \mathcal{S}_i = \sqrt{\frac{3}{2} (\mathbf{S}_i : \mathbf{S}_i)} = s_i \quad i = 1, 2$$

- **Ecuación de Doi–Edwards**

$$\frac{D\mathcal{S}_i}{D\hat{t}} = (1-\mathcal{S}_i)(2\mathcal{S}_i+1) \frac{\partial \mathcal{B}}{\partial \hat{x}} - \frac{\phi_i}{\hat{\lambda}_i} \mathcal{F} U(\mathcal{S}_i), \quad U(\mathcal{S}_i) = \mathcal{S}_i \left(1 - \frac{N_i}{3} (1-\mathcal{S}_i)(2\mathcal{S}_i+1) \right)$$

- **Modelo de Ziabicki**

$$\frac{D\mathcal{Y}_i}{D\hat{t}} = k_{Ai}(\mathcal{S})(\mathcal{Y}_{\infty,i} - \mathcal{Y}_i) \quad i = 1, 2$$

- **Viscosidad dinámica efectiva**

$$\hat{\tau} = 2\hat{\mu}_{ei,0} \hat{\mathbf{D}} \quad \Rightarrow \quad \hat{\mu}_{ei,0} = \hat{\mu}_{i,0}(\mathcal{F}) \exp \left(\beta_i \left(\frac{\mathcal{Y}_i}{\mathcal{Y}_{\infty,i}} \right)^{n_i} \right) + \frac{2}{3} \alpha_i \hat{\lambda}_i \hat{T}_i \mathcal{S}_i^2 \quad i = 1, 2$$

$$\text{donde } \alpha = \frac{3c k_B T_0}{p_0}$$



ORIENTACIÓN MOLECULAR Y GRADO DE CRISTALIZACIÓN

Ecuaciones modelo 1-D

Tesis
Doctoral

Francisco
José Blanco
Rodríguez

1. Introducción
y objetivos

2. Modelado
matemático

3. Modelo 1-D

4. Modelo 2-D

5. Resultados
para fibras
compuestas

6. Conclusiones

- **Modelo con parámetro de orden**

$$\mathbf{S} = \frac{s}{3} \begin{pmatrix} -1 & 0 & 0 \\ 0 & -1 & 0 \\ 0 & 0 & 2 \end{pmatrix} \sim \hat{\nabla} \mathbf{v} \quad \Rightarrow \quad \mathcal{S}_i = \sqrt{\frac{3}{2} (\mathbf{S}_i : \mathbf{S}_i)} = s_i \quad i = 1, 2$$

- **Ecuación de Doi–Edwards**

$$\frac{D\mathcal{S}_i}{Dt} = (1-\mathcal{S}_i)(2\mathcal{S}_i+1) \frac{\partial \mathcal{B}}{\partial \hat{x}} - \frac{\phi_i}{\hat{\lambda}_i} \mathcal{F} U(\mathcal{S}_i), \quad U(\mathcal{S}_i) = \mathcal{S}_i \left(1 - \frac{N_i}{3} (1-\mathcal{S}_i)(2\mathcal{S}_i+1) \right)$$

- **Modelo de Ziabicki**

$$\frac{D\mathcal{Y}_i}{Dt} = k_{Ai}(\mathcal{S})(\mathcal{Y}_{\infty,i} - \mathcal{Y}_i) \quad i = 1, 2$$

- **Viscosidad dinámica efectiva**

$$\hat{\tau} = 2\hat{\mu}_{ei,0} \hat{\mathbf{D}} \quad \Rightarrow \quad \hat{\mu}_{ei,0} = \hat{\mu}_{i,0}(\mathcal{F}) \exp \left(\beta_i \left(\frac{\mathcal{Y}_i}{\mathcal{Y}_{\infty,i}} \right)^{n_i} \right) + \frac{2}{3} \alpha_i \hat{\lambda}_i \hat{T}_i \mathcal{S}_i^2 \quad i = 1, 2$$

$$\text{donde } \alpha = \frac{3c k_B T_0}{p_0}$$



ORIENTACIÓN MOLECULAR Y GRADO DE CRISTALIZACIÓN

Ecuaciones modelo 1-D

Tesis
Doctoral

Francisco
José Blanco
Rodríguez

1. Introducción
y objetivos

2. Modelado
matemático

3. Modelo 1-D

4. Modelo 2-D

5. Resultados
para fibras
compuestas

6. Conclusiones

- **Modelo con parámetro de orden**

$$\mathbf{S} = \frac{s}{3} \begin{pmatrix} -1 & 0 & 0 \\ 0 & -1 & 0 \\ 0 & 0 & 2 \end{pmatrix} \sim \hat{\nabla} \mathbf{v} \quad \Rightarrow \quad \mathcal{S}_i = \sqrt{\frac{3}{2} (\mathbf{S}_i : \mathbf{S}_i)} = s_i \quad i = 1, 2$$

- **Ecuación de Doi–Edwards**

$$\frac{D\mathcal{S}_i}{D\hat{t}} = (1-\mathcal{S}_i)(2\mathcal{S}_i+1) \frac{\partial \mathcal{B}}{\partial \hat{x}} - \frac{\phi_i}{\hat{\lambda}_i} \mathcal{F} U(\mathcal{S}_i), \quad U(\mathcal{S}_i) = \mathcal{S}_i \left(1 - \frac{N_i}{3} (1-\mathcal{S}_i)(2\mathcal{S}_i+1) \right)$$

- **Modelo de Ziabicki**

$$\frac{D\mathcal{Y}_i}{D\hat{t}} = k_{Ai}(\mathcal{S})(\mathcal{Y}_{\infty,i} - \mathcal{Y}_i) \quad i = 1, 2$$

- **Viscosidad dinámica efectiva**

$$\hat{\tau} = 2\hat{\mu}_{ei,0} \hat{\mathbf{D}} \quad \Rightarrow \quad \hat{\mu}_{ei,0} = \hat{\mu}_{i,0}(\mathcal{F}) \exp \left(\beta_i \left(\frac{\mathcal{Y}_i}{\mathcal{Y}_{\infty,i}} \right)^{n_i} \right) + \frac{2}{3} \alpha_i \hat{\lambda}_i \hat{T}_i \mathcal{S}_i^2 \quad i = 1, 2$$

$$\text{donde } \alpha = \frac{3c k_B T_0}{p_0}$$



Tesis
Doctoral

Francisco
José Blanco
Rodríguez

1. Introducción
y objetivos

2. Modelado
matemático

3. Modelo 1-D

4. Modelo 2-D

5. Resultados
para fibras
compuestas

6. Conclusiones

4. MODELO BIDIMENSIONAL EN ESTADO ESTACIONARIO



FIBRAS COMPUESTAS SEMICRISTALINAS

Ecuaciones unidimensionales modelo 2-D

Tesis
Doctoral

Francisco
José Blanco
Rodríguez

1. Introducción
y objetivos

2. Modelado
matemático

3. Modelo 1-D

4. Modelo 2-D

5. Resultados
para fibras
compuestas

6. Conclusiones

- Ecuación de conservación de la masa

$$\mathcal{A}_i \mathcal{B} = Q_i \quad i = 1, 2$$

- Ecuación de conservación de cantidad de movimiento

$$\begin{aligned} \bar{R}(\hat{\rho}_1 \mathcal{A}_1 + \hat{\rho}_2 \mathcal{A}_2) \mathcal{B} \frac{d\mathcal{B}}{d\hat{x}} &= (\hat{\rho}_1 \mathcal{A}_1 + \hat{\rho}_2 \mathcal{A}_2) \frac{\bar{R}}{\bar{F}} + \frac{1}{2\bar{C}} \left(\frac{d\mathcal{R}_2}{d\hat{x}} + \frac{\sigma_1}{\sigma_2} \frac{d\mathcal{R}_1}{d\hat{x}} \right) \\ &+ \frac{d}{d\hat{x}} \left\{ 3 \left(\langle \hat{\mu}_{e1,0} \rangle \mathcal{A}_1 + \langle \hat{\mu}_{e2,0} \rangle \mathcal{A}_2 \right) \frac{d\mathcal{B}}{d\hat{x}} \right\} \\ &- \hat{\mathcal{T}}_2 \mathcal{R}_2 - \frac{d\hat{p}_e}{d\hat{x}} (\mathcal{A}_1 + \mathcal{A}_2) \end{aligned}$$

donde

$$\langle \hat{\mu}_{ei,0} \rangle(\hat{x}) = \frac{1}{\mathcal{A}_i} \int_0^{\mathcal{R}_i} \hat{\mu}_{ei,0}(\hat{r}, \hat{x}) \hat{r} d\hat{r}$$

$$\langle \hat{\mu}_{e2,0} \rangle(\hat{x}) = \frac{1}{\mathcal{A}_2} \int_{\mathcal{R}_1}^{\mathcal{R}_2} \hat{\mu}_{e2,0}(\hat{r}, \hat{x}) \hat{r} d\hat{r}$$

- Viscosidad dinámica efectiva

$$\hat{\mu}_{ei,0}(\hat{r}, \hat{x}) = \hat{\mu}_i(\hat{T}) \exp \left(\beta_i \left(\frac{\mathcal{Y}_i}{\mathcal{Y}_{\infty,i}} \right)^{n_i} \right) \quad i = 1, 2$$



FIBRAS COMPUESTAS SEMICRISTALINAS

Ecuaciones unidimensionales modelo 2-D

Tesis
Doctoral

Francisco
José Blanco
Rodríguez

1. Introducción
y objetivos

2. Modelado
matemático

3. Modelo 1-D

4. Modelo 2-D

5. Resultados
para fibras
compuestas

6. Conclusiones

- Ecuación de conservación de la masa

$$\mathcal{A}_i \mathcal{B} = Q_i \quad i = 1, 2$$

- Ecuación de conservación de cantidad de movimiento

$$\begin{aligned} \bar{R}(\hat{\rho}_1 \mathcal{A}_1 + \hat{\rho}_2 \mathcal{A}_2) \mathcal{B} \frac{d\mathcal{B}}{d\hat{x}} &= (\hat{\rho}_1 \mathcal{A}_1 + \hat{\rho}_2 \mathcal{A}_2) \frac{\bar{R}}{\bar{F}} + \frac{1}{2\bar{C}} \left(\frac{d\mathcal{R}_2}{d\hat{x}} + \frac{\sigma_1}{\sigma_2} \frac{d\mathcal{R}_1}{d\hat{x}} \right) \\ &+ \frac{d}{d\hat{x}} \left\{ 3 \left(\langle \hat{\mu}_{e1,0} \rangle \mathcal{A}_1 + \langle \hat{\mu}_{e2,0} \rangle \mathcal{A}_2 \right) \frac{d\mathcal{B}}{d\hat{x}} \right\} \\ &- \hat{T}_2 \mathcal{R}_2 - \frac{d\hat{p}_e}{d\hat{x}} (\mathcal{A}_1 + \mathcal{A}_2) \end{aligned}$$

donde

$$\langle \hat{\mu}_{e1,0} \rangle(\hat{x}) = \frac{1}{\mathcal{A}_1} \int_0^{\mathcal{R}_1} \hat{\mu}_{e1,0}(\hat{r}, \hat{x}) \hat{r} d\hat{r}$$

$$\langle \hat{\mu}_{e2,0} \rangle(\hat{x}) = \frac{1}{\mathcal{A}_2} \int_{\mathcal{R}_1}^{\mathcal{R}_2} \hat{\mu}_{e2,0}(\hat{r}, \hat{x}) \hat{r} d\hat{r}$$

- Viscosidad dinámica efectiva

$$\hat{\mu}_{ei,0}(\hat{r}, \hat{x}) = \hat{\mu}_i(\hat{T}) \exp \left(\beta_i \left(\frac{\mathcal{Y}_i}{\mathcal{Y}_{\infty,i}} \right)^{n_i} \right) \quad i = 1, 2$$



FIBRAS COMPUESTAS SEMICRISTALINAS

Ecuaciones unidimensionales modelo 2-D

Tesis
Doctoral

Francisco
José Blanco
Rodríguez

1. Introducción
y objetivos

2. Modelado
matemático

3. Modelo 1-D

4. Modelo 2-D

5. Resultados
para fibras
compuestas

6. Conclusiones

- **Ecuación de conservación de la masa**

$$\mathcal{A}_i \mathcal{B} = Q_i \quad i = 1, 2$$

- **Ecuación de conservación de cantidad de movimiento**

$$\begin{aligned} \bar{R}(\hat{\rho}_1 \mathcal{A}_1 + \hat{\rho}_2 \mathcal{A}_2) \mathcal{B} \frac{d\mathcal{B}}{d\hat{x}} &= (\hat{\rho}_1 \mathcal{A}_1 + \hat{\rho}_2 \mathcal{A}_2) \frac{\bar{R}}{\bar{F}} + \frac{1}{2\bar{C}} \left(\frac{d\mathcal{R}_2}{d\hat{x}} + \frac{\sigma_1}{\sigma_2} \frac{d\mathcal{R}_1}{d\hat{x}} \right) \\ &+ \frac{d}{d\hat{x}} \left\{ 3 \left(\langle \hat{\mu}_{e1,0} \rangle \mathcal{A}_1 + \langle \hat{\mu}_{e2,0} \rangle \mathcal{A}_2 \right) \frac{d\mathcal{B}}{d\hat{x}} \right\} \\ &- \hat{T}_2 \mathcal{R}_2 - \frac{d\hat{p}_e}{d\hat{x}} (\mathcal{A}_1 + \mathcal{A}_2) \end{aligned}$$

donde

$$\langle \hat{\mu}_{e1,0} \rangle(\hat{x}) = \frac{1}{\mathcal{A}_1} \int_0^{\mathcal{R}_1} \hat{\mu}_{e1,0}(\hat{r}, \hat{x}) \hat{r} d\hat{r}$$

$$\langle \hat{\mu}_{e2,0} \rangle(\hat{x}) = \frac{1}{\mathcal{A}_2} \int_{\mathcal{R}_1}^{\mathcal{R}_2} \hat{\mu}_{e2,0}(\hat{r}, \hat{x}) \hat{r} d\hat{r}$$

- **Viscosidad dinámica efectiva**

$$\hat{\mu}_{ei,0}(\hat{r}, \hat{x}) = \hat{\mu}_i(\hat{T}) \exp \left(\beta_i \left(\frac{\mathcal{Y}_i}{\mathcal{Y}_{\infty,i}} \right)^{n_i} \right) \quad i = 1, 2$$



FIBRAS COMPUESTAS SEMICRISTALINAS

Ecuaciones unidimensionales modelo 2-D

Tesis
Doctoral

Francisco
José Blanco
Rodríguez

1. Introducción
y objetivos

2. Modelado
matemático

3. Modelo 1-D

4. Modelo 2-D

5. Resultados
para fibras
compuestas

6. Conclusiones

- Ecuación de conservación de la masa

$$\mathcal{A}_i \mathcal{B} = Q_i \quad i = 1, 2$$

- Ecuación de conservación de cantidad de movimiento

$$\begin{aligned} \bar{R}(\hat{\rho}_1 \mathcal{A}_1 + \hat{\rho}_2 \mathcal{A}_2) \mathcal{B} \frac{d\mathcal{B}}{d\hat{x}} &= (\hat{\rho}_1 \mathcal{A}_1 + \hat{\rho}_2 \mathcal{A}_2) \frac{\bar{R}}{\bar{F}} + \frac{1}{2\bar{C}} \left(\frac{d\mathcal{R}_2}{d\hat{x}} + \frac{\sigma_1}{\sigma_2} \frac{d\mathcal{R}_1}{d\hat{x}} \right) \\ &+ \frac{d}{d\hat{x}} \left\{ 3 \left(\langle \hat{\mu}_{e1,0} \rangle \mathcal{A}_1 + \langle \hat{\mu}_{e2,0} \rangle \mathcal{A}_2 \right) \frac{d\mathcal{B}}{d\hat{x}} \right\} \\ &- \hat{T}_2 \mathcal{R}_2 - \frac{d\hat{p}_e}{d\hat{x}} (\mathcal{A}_1 + \mathcal{A}_2) \end{aligned}$$

donde

$$\langle \hat{\mu}_{e1,0} \rangle(\hat{x}) = \frac{1}{\mathcal{A}_1} \int_0^{\mathcal{R}_1} \hat{\mu}_{e1,0}(\hat{r}, \hat{x}) \hat{r} d\hat{r}$$

$$\langle \hat{\mu}_{e2,0} \rangle(\hat{x}) = \frac{1}{\mathcal{A}_2} \int_{\mathcal{R}_1}^{\mathcal{R}_2} \hat{\mu}_{e2,0}(\hat{r}, \hat{x}) \hat{r} d\hat{r}$$

- Viscosidad dinámica efectiva

$$\hat{\mu}_{ei,0}(\hat{r}, \hat{x}) = \hat{\mu}_i(\hat{T}) \exp \left(\beta_i \left(\frac{\mathcal{Y}_i}{\mathcal{Y}_{\infty,i}} \right)^{n_i} \right) \quad i = 1, 2$$



FIBRAS COMPUESTAS SEMICRISTALINAS

Ecuaciones bidimensionales modelo 2-D

Tesis
Doctoral

Francisco
José Blanco
Rodríguez

1. Introducción
y objetivos

2. Modelado
matemático

3. Modelo 1-D

4. Modelo 2-D

5. Resultados
para fibras
compuestas

6. Conclusiones

● Ecuación de conservación de energía

$$\bar{P} \left(\frac{\hat{\rho}_i \hat{C}_i}{\hat{k}_i} \right) \mathcal{L}_{ss} (\hat{T}_i) = \frac{1}{\hat{r}} \frac{\partial}{\partial \hat{r}} \left(\hat{r} \frac{\partial \hat{T}_i}{\partial \hat{r}} \right) \quad i = 1, 2$$

donde $\mathcal{L}_{ss} (\alpha) \equiv \hat{u}_{i,0} \frac{\partial \alpha}{\partial \hat{x}} + \hat{v}_{i,0} \frac{\partial \alpha}{\partial \hat{r}}$

● Componentes del tensor de orientación molecular

$$\begin{aligned} \mathcal{L}_{ss} (s_{ir}) &= (1 - s_{ir}) (1 + s_{ix}) \frac{d\mathcal{B}}{d\hat{x}} \\ &- \frac{\phi_i}{\hat{\lambda}_i} \left\{ s_{ir} - \frac{N_i}{3} [(1 - s_{ir})(s_{ir} + 3\Pi_{is})] \right\} \quad i = 1, 2 \end{aligned}$$

$$\begin{aligned} \mathcal{L}_{ss} (s_{ix}) &= (s_{ix} + 1) (2 - s_{ix}) \frac{d\mathcal{B}}{d\hat{x}} \\ &- \frac{\phi_i}{\hat{\lambda}_i} \left\{ s_{ix} - \frac{N_i}{3} [(s_{ix} + 1)(s_{ix} - 3\Pi_{is})] \right\} \quad i = 1, 2 \end{aligned}$$

● Grado de cristalización

$$\mathcal{L}_{ss} (\mathcal{Y}_i) = k_{Ai}(0) \exp(a_{2i}\mathcal{S}_i^2) (\mathcal{Y}_{\infty,i} - \mathcal{Y}_i) \quad i = 1, 2$$



FIBRAS COMPUESTAS SEMICRISTALINAS

Ecuaciones bidimensionales modelo 2-D

Tesis
Doctoral

Francisco
José Blanco
Rodríguez

1. Introducción
y objetivos

2. Modelado
matemático

3. Modelo 1-D

4. Modelo 2-D

5. Resultados
para fibras
compuestas

6. Conclusiones

• Ecuación de conservación de energía

$$\bar{P} \left(\frac{\hat{\rho}_i \hat{C}_i}{\hat{k}_i} \right) \mathcal{L}_{ss} \left(\hat{T}_i \right) = \frac{1}{\hat{r}} \frac{\partial}{\partial \hat{r}} \left(\hat{r} \frac{\partial \hat{T}_i}{\partial \hat{r}} \right) \quad i = 1, 2$$

donde $\mathcal{L}_{ss}(\alpha) \equiv \hat{u}_{i,0} \frac{\partial \alpha}{\partial \hat{x}} + \hat{v}_{i,0} \frac{\partial \alpha}{\partial \hat{r}}$

• Componentes del tensor de orientación molecular

$$\begin{aligned} \mathcal{L}_{ss}(s_{i,r}) &= (1 - s_{i,r})(1 + s_{i,x}) \frac{d\mathcal{B}}{d\hat{x}} \\ &\quad - \frac{\phi_i}{\hat{\lambda}_i} \left\{ s_{i,r} - \frac{N_i}{3} [(1 - s_{i,r})(s_{i,r} + 3\Pi_{i,s})] \right\} \quad i = 1, 2 \end{aligned}$$

$$\begin{aligned} \mathcal{L}_{ss}(s_{i,x}) &= (s_{i,x} + 1)(2 - s_{i,x}) \frac{d\mathcal{B}}{d\hat{x}} \\ &\quad - \frac{\phi_i}{\hat{\lambda}_i} \left\{ s_{i,x} - \frac{N_i}{3} [(s_{i,x} + 1)(s_{i,x} - 3\Pi_{i,s})] \right\} \quad i = 1, 2 \end{aligned}$$

• Grado de cristalización

$$\mathcal{L}_{ss}(\mathcal{Y}_i) = k_{Ai}(0) \exp(a_{2i}\mathcal{S}_i^2) (\mathcal{Y}_{\infty,i} - \mathcal{Y}_i) \quad i = 1, 2$$



FIBRAS COMPUESTAS SEMICRISTALINAS

Ecuaciones bidimensionales modelo 2-D

Tesis
Doctoral

Francisco
José Blanco
Rodríguez

1. Introducción
y objetivos

2. Modelado
matemático

3. Modelo 1-D

4. Modelo 2-D

5. Resultados
para fibras
compuestas

6. Conclusiones

- Ecuación de conservación de energía

$$\bar{P} \left(\frac{\hat{\rho}_i \hat{C}_i}{\hat{k}_i} \right) \mathcal{L}_{ss} \left(\hat{T}_i \right) = \frac{1}{\hat{r}} \frac{\partial}{\partial \hat{r}} \left(\hat{r} \frac{\partial \hat{T}_i}{\partial \hat{r}} \right) \quad i = 1, 2$$

donde $\mathcal{L}_{ss}(\alpha) \equiv \hat{u}_{i,0} \frac{\partial \alpha}{\partial \hat{x}} + \hat{v}_{i,0} \frac{\partial \alpha}{\partial \hat{r}}$

- Componentes del tensor de orientación molecular

$$\begin{aligned} \mathcal{L}_{ss}(s_{i,r}) &= (1 - s_{i,r})(1 + s_{i,x}) \frac{d\mathcal{B}}{d\hat{x}} \\ &\quad - \frac{\phi_i}{\hat{\lambda}_i} \left\{ s_{i,r} - \frac{N_i}{3} [(1 - s_{i,r})(s_{i,r} + 3\Pi_{i,s})] \right\} \quad i = 1, 2 \end{aligned}$$

$$\begin{aligned} \mathcal{L}_{ss}(s_{i,x}) &= (s_{i,x} + 1)(2 - s_{i,x}) \frac{d\mathcal{B}}{d\hat{x}} \\ &\quad - \frac{\phi_i}{\hat{\lambda}_i} \left\{ s_{i,x} - \frac{N_i}{3} [(s_{i,x} + 1)(s_{i,x} - 3\Pi_{i,s})] \right\} \quad i = 1, 2 \end{aligned}$$

- Grado de cristalización

$$\mathcal{L}_{ss}(\mathcal{Y}_i) = k_{Ai}(0) \exp(a_{2i}\mathcal{S}_i^2) (\mathcal{Y}_{\infty,i} - \mathcal{Y}_i) \quad i = 1, 2$$



FIBRAS COMPUESTAS SEMICRISTALINAS

Condiciones de contorno I

Tesis Doctoral

Francisco
José Blanco
Rodríguez

1. Introducción
y objetivos

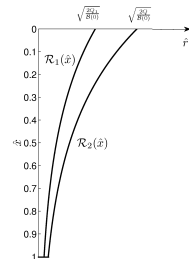
2. Modelado
matemático

3. Modelo 1-D

4. Modelo 2-D

5. Resultados
para fibras
compuestas

6. Conclusiones



- Velocidad axial

$$\mathcal{B}(0) = \mathcal{B}_0$$

$$\mathcal{B}(1) = D_r \mathcal{B}_0$$

- Perfil inicial de temperatura

$$\hat{T}_i(\hat{r}, 0) = \hat{T}_{i0}(\hat{r}) \quad i = 1, 2$$

- Condiciones radiales de temperatura

$$\frac{\partial \hat{T}_1}{\partial \hat{r}}(0, \hat{x}) = 0$$

$$\hat{T}_1(\mathcal{R}_1, \hat{x}) = \hat{T}_2(\mathcal{R}_1, \hat{x})$$

$$\hat{q}_1(\mathcal{R}_1, \hat{x}) = \hat{q}_2(\mathcal{R}_1, \hat{x}) \quad \Rightarrow \quad -\hat{k}_1 \frac{\partial \hat{T}_1}{\partial \hat{r}}(\mathcal{R}_1, \hat{x}) = -\hat{k}_2 \frac{\partial \hat{T}_2}{\partial \hat{r}}(\mathcal{R}_1, \hat{x})$$

$$\hat{q}_2(\mathcal{R}_2, \hat{x}) = \hat{q}_e \quad \Rightarrow \quad -\hat{k}_2 \frac{\partial \hat{T}_2}{\partial \hat{r}}(\mathcal{R}_2, \hat{x}) = Bi \hat{h}_2 \left(\hat{T}_2(\mathcal{R}_2, \hat{x}) - \hat{T}_{\infty, 2} \right)$$



FIBRAS COMPUESTAS SEMICRISTALINAS

Condiciones de contorno I

Tesis Doctoral

Francisco
José Blanco
Rodríguez

1. Introducción
y objetivos

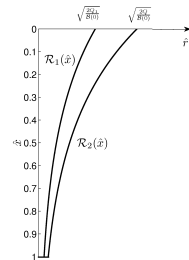
2. Modelado
matemático

3. Modelo 1-D

4. Modelo 2-D

5. Resultados
para fibras
compuestas

6. Conclusiones



- **Velocidad axial**

$$\mathcal{B}(0) = \mathcal{B}_0$$

$$\mathcal{B}(1) = D_r \mathcal{B}_0$$

- Perfil inicial de temperatura

$$\hat{T}_i(\hat{r}, 0) = \hat{T}_{i0}(\hat{r}) \quad i = 1, 2$$

- Condiciones radiales de temperatura

$$\frac{\partial \hat{T}_1}{\partial \hat{r}}(0, \hat{x}) = 0$$

$$\hat{T}_1(\mathcal{R}_1, \hat{x}) = \hat{T}_2(\mathcal{R}_1, \hat{x})$$

$$\hat{q}_1(\mathcal{R}_1, \hat{x}) = \hat{q}_2(\mathcal{R}_1, \hat{x}) \quad \Rightarrow \quad -\hat{k}_1 \frac{\partial \hat{T}_1}{\partial \hat{r}}(\mathcal{R}_1, \hat{x}) = -\hat{k}_2 \frac{\partial \hat{T}_2}{\partial \hat{r}}(\mathcal{R}_1, \hat{x})$$

$$\hat{q}_2(\mathcal{R}_2, \hat{x}) = \hat{q}_e \quad \Rightarrow \quad -\hat{k}_2 \frac{\partial \hat{T}_2}{\partial \hat{r}}(\mathcal{R}_2, \hat{x}) = Bi \hat{h}_2 \left(\hat{T}_2(\mathcal{R}_2, \hat{x}) - \hat{T}_{\infty, 2} \right)$$



FIBRAS COMPUESTAS SEMICRISTALINAS

Condiciones de contorno I

Tesis Doctoral

Francisco
José Blanco
Rodríguez

1. Introducción
y objetivos

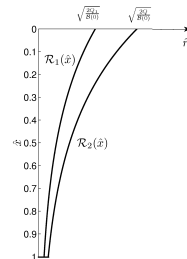
2. Modelado
matemático

3. Modelo 1-D

4. Modelo 2-D

5. Resultados
para fibras
compuestas

6. Conclusiones



- **Velocidad axial**

$$\mathcal{B}(0) = \mathcal{B}_0$$

$$\mathcal{B}(1) = D_r \mathcal{B}_0$$

- **Perfil inicial de temperatura**

$$\hat{T}_i(\hat{r}, 0) = \hat{T}_{i0}(\hat{r}) \quad i = 1, 2$$

- **Condiciones radiales de temperatura**

$$\frac{\partial \hat{T}_1}{\partial \hat{r}}(0, \hat{x}) = 0$$

$$\hat{T}_1(\mathcal{R}_1, \hat{x}) = \hat{T}_2(\mathcal{R}_1, \hat{x})$$

$$\hat{q}_1(\mathcal{R}_1, \hat{x}) = \hat{q}_2(\mathcal{R}_1, \hat{x}) \quad \Rightarrow \quad -\hat{k}_1 \frac{\partial \hat{T}_1}{\partial \hat{r}}(\mathcal{R}_1, \hat{x}) = -\hat{k}_2 \frac{\partial \hat{T}_2}{\partial \hat{r}}(\mathcal{R}_1, \hat{x})$$

$$\hat{q}_2(\mathcal{R}_2, \hat{x}) = \hat{q}_e \quad \Rightarrow \quad -\hat{k}_2 \frac{\partial \hat{T}_2}{\partial \hat{r}}(\mathcal{R}_2, \hat{x}) = Bi \hat{h}_2 \left(\hat{T}_2(\mathcal{R}_2, \hat{x}) - \hat{T}_{\infty, 2} \right)$$



FIBRAS COMPUESTAS SEMICRISTALINAS

Condiciones de contorno I

Tesis
Doctoral

Francisco
José Blanco
Rodríguez

1. Introducción
y objetivos

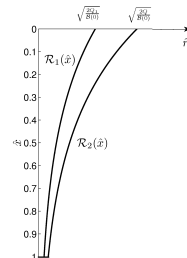
2. Modelado
matemático

3. Modelo 1-D

4. Modelo 2-D

5. Resultados
para fibras
compuestas

6. Conclusiones



- **Velocidad axial**

$$\mathcal{B}(0) = \mathcal{B}_0$$

$$\mathcal{B}(1) = D_r \mathcal{B}_0$$

- **Perfil inicial de temperatura**

$$\hat{T}_i(\hat{r}, 0) = \hat{T}_{i0}(\hat{r}) \quad i = 1, 2$$

- **Condiciones radiales de temperatura**

$$\frac{\partial \hat{T}_1}{\partial \hat{r}}(0, \hat{x}) = 0$$

$$\hat{T}_1(\mathcal{R}_1, \hat{x}) = \hat{T}_2(\mathcal{R}_1, \hat{x})$$

$$\hat{q}_1(\mathcal{R}_1, \hat{x}) = \hat{q}_2(\mathcal{R}_1, \hat{x}) \Rightarrow -\hat{k}_1 \frac{\partial \hat{T}_1}{\partial \hat{r}}(\mathcal{R}_1, \hat{x}) = -\hat{k}_2 \frac{\partial \hat{T}_2}{\partial \hat{r}}(\mathcal{R}_1, \hat{x})$$

$$\hat{q}_2(\mathcal{R}_2, \hat{x}) = \hat{q}_e \Rightarrow -\hat{k}_2 \frac{\partial \hat{T}_2}{\partial \hat{r}}(\mathcal{R}_2, \hat{x}) = Bi \hat{h}_2 \left(\hat{T}_2(\mathcal{R}_2, \hat{x}) - \hat{T}_{\infty, 2} \right)$$



FIBRAS COMPUESTAS SEMICRISTALINAS

Condiciones de contorno II

Tesis Doctoral

Francisco
José Blanco
Rodríguez

1. Introducción
y objetivos

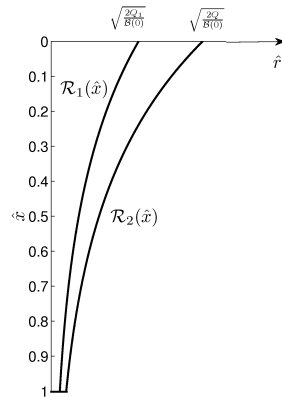
2. Modelado
matemático

3. Modelo 1-D

4. Modelo 2-D

5. Resultados
para fibras
compuestas

6. Conclusiones



- Perfil inicial para el parámetro de orientación molecular

$$s_{ir}(\hat{r}, 0) = \mathcal{S}_{i0}(\hat{r}) \quad i = 1, 2$$

$$s_{ix}(\hat{r}, 0) = 2\mathcal{S}_{i0}(\hat{r}) \quad i = 1, 2$$

- Perfil inicial para el grado de cristalización

$$\mathcal{Y}_i(\hat{r}, 0) = \mathcal{Y}_{i0}(\hat{r}) \quad i = 1, 2$$



FIBRAS COMPUESTAS SEMICRISTALINAS

Condiciones de contorno II

Tesis Doctoral

Francisco
José Blanco
Rodríguez

1. Introducción
y objetivos

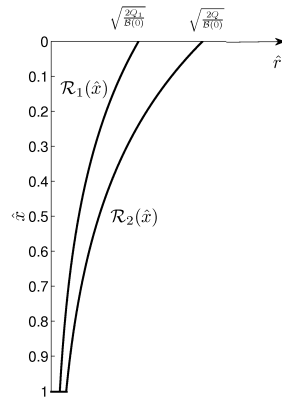
2. Modelado
matemático

3. Modelo 1-D

4. Modelo 2-D

5. Resultados
para fibras
compuestas

6. Conclusiones



- Perfil inicial para el parámetro de orientación molecular

$$s_{ir}(\hat{r}, 0) = \mathcal{S}_{i0}(\hat{r}) \quad i = 1, 2$$

$$s_{ix}(\hat{r}, 0) = 2\mathcal{S}_{i0}(\hat{r}) \quad i = 1, 2$$

- Perfil inicial para el grado de cristalización

$$\mathcal{Y}_i(\hat{r}, 0) = \mathcal{Y}_{i0}(\hat{r}) \quad i = 1, 2$$



FIBRAS COMPUESTAS SEMICRISTALINAS

Condiciones de contorno II

Tesis
Doctoral

Francisco
José Blanco
Rodríguez

1. Introducción
y objetivos

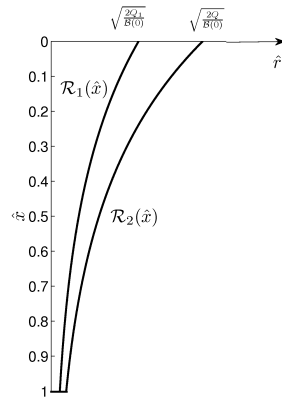
2. Modelado
matemático

3. Modelo 1-D

4. Modelo 2-D

5. Resultados
para fibras
compuestas

6. Conclusiones



- Perfil inicial para el parámetro de orientación molecular

$$s_{ir}(\hat{r}, 0) = \mathcal{S}_{i0}(\hat{r}) \quad i = 1, 2$$

$$s_{ix}(\hat{r}, 0) = 2\mathcal{S}_{i0}(\hat{r}) \quad i = 1, 2$$

- Perfil inicial para el grado de cristalización

$$\mathcal{Y}_i(\hat{r}, 0) = \mathcal{Y}_{i0}(\hat{r}) \quad i = 1, 2$$



FIBRAS COMPUESTAS SEMICRISTALINAS

Transformación de coordenadas

Tesis
Doctoral

Francisco
José Blanco
Rodríguez

1. Introducción
y objetivos

2. Modelado
matemático

3. Modelo 1-D

4. Modelo 2-D

5. Resultados
para fibras
compuestas

6. Conclusiones

$(\hat{r}, \hat{x}) \mapsto (\xi, \eta)$ transforma el espacio $\Omega_{\hat{r}\hat{x}} = \{[0, \mathcal{R}_2(\hat{x})] \times [0, 1]\}$ en un dominio rectangular $\Omega_{\xi\eta} = \{[0, 1] \times [0, 1]\}$



FIBRAS COMPUESTAS SEMICRISTALINAS

Transformación de coordenadas

Tesis
Doctoral

Francisco
José Blanco
Rodríguez

1. Introducción
y objetivos

2. Modelado
matemático

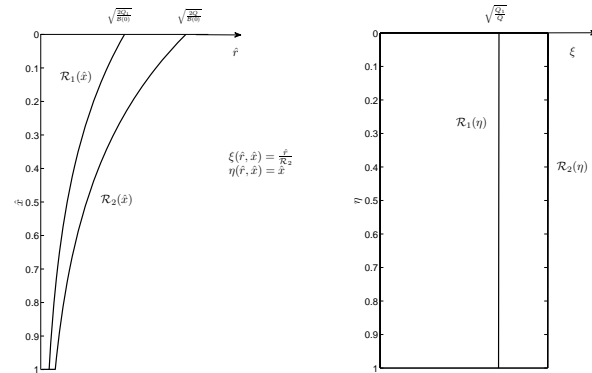
3. Modelo 1-D

4. Modelo 2-D

5. Resultados
para fibras
compuestas

6. Conclusiones

$(\hat{r}, \hat{x}) \mapsto (\xi, \eta)$ transforma el espacio $\Omega_{\hat{r}\hat{x}} = \{[0, \mathcal{R}_2(\hat{x})] \times [0, 1]\}$ en un dominio rectangular $\Omega_{\xi\eta} = \{[0, 1] \times [0, 1]\}$





FIBRAS COMPUESTAS SEMICRISTALINAS

Dominio computacional. Ecuaciones bidimensionales modelo 2-D

Tesis Doctoral

Francisco
José Blanco
Rodríguez

1. Introducción
y objetivos

2. Modelado
matemático

3. Modelo 1-D

4. Modelo 2-D

5. Resultados
para fibras
compuestas

6. Conclusiones

• Temperatura

$$\frac{\partial \hat{T}_i}{\partial \eta} = \frac{1}{2Q} \frac{1}{\bar{P}_i} \frac{1}{\xi} \frac{\partial}{\partial \xi} \left(\xi \frac{\partial \hat{T}_i}{\partial \xi} \right) \quad i = 1, 2$$

$$\text{donde } \bar{P}_i = \bar{P} \left(\frac{\hat{\rho}_i \hat{C}_i}{\hat{k}_i} \right)$$

• Componentes del tensor de orientación molecular

$$\mathcal{B} \frac{\partial s_{i,r}}{\partial \eta} = (1 - s_{i,r}) (1 + s_{i,x}) \frac{d\mathcal{B}}{d\eta} - \frac{\phi_i}{\lambda_i} \left\{ s_{i,r} - \frac{N_i}{3} [(1 - s_{i,r}) (s_{i,r} + 3\Pi_{i,s})] \right\}$$

$$\mathcal{B} \frac{\partial s_{i,x}}{\partial \eta} = (s_{i,x} + 1) (2 - s_{i,x}) \frac{d\mathcal{B}}{d\eta} - \frac{\phi_i}{\lambda_i} \left\{ s_{i,x} - \frac{N_i}{3} [(s_{i,x} + 1) (s_{i,x} - 3\Pi_{i,s})] \right\}$$

• Grado de cristalización

$$\mathcal{B} \frac{\partial \mathcal{Y}_i}{\partial \eta} = k_{Ai}(0) \exp(a_{2i}\mathcal{S}_i^2) (\mathcal{Y}_{\infty,i} - \mathcal{Y}_i) \quad i = 1, 2$$



FIBRAS COMPUESTAS SEMICRISTALINAS

Dominio computacional. Ecuaciones bidimensionales modelo 2-D

Tesis
Doctoral

Francisco
José Blanco
Rodríguez

1. Introducción
y objetivos

2. Modelado
matemático

3. Modelo 1-D

4. Modelo 2-D

5. Resultados
para fibras
compuestas

6. Conclusiones

• Temperatura

$$\frac{\partial \hat{T}_i}{\partial \eta} = \frac{1}{2Q} \frac{1}{\bar{P}_i} \frac{1}{\xi} \frac{\partial}{\partial \xi} \left(\xi \frac{\partial \hat{T}_i}{\partial \xi} \right) \quad i = 1, 2$$

donde $\bar{P}_i = \bar{P} \left(\frac{\hat{\rho}_i \hat{C}_i}{\hat{k}_i} \right)$

• Componentes del tensor de orientación molecular

$$\mathcal{B} \frac{\partial s_{i,r}}{\partial \eta} = (1 - s_{i,r}) (1 + s_{i,x}) \frac{d\mathcal{B}}{d\eta} - \frac{\phi_i}{\lambda_i} \left\{ s_{i,r} - \frac{N_i}{3} [(1 - s_{i,r}) (s_{i,r} + 3 \Pi_{i,s})] \right\}$$

$$\mathcal{B} \frac{\partial s_{i,x}}{\partial \eta} = (s_{i,x} + 1) (2 - s_{i,x}) \frac{d\mathcal{B}}{d\eta} - \frac{\phi_i}{\lambda_i} \left\{ s_{i,x} - \frac{N_i}{3} [(s_{i,x} + 1) (s_{i,x} - 3 \Pi_{i,s})] \right\}$$

• Grado de cristalización

$$\mathcal{B} \frac{\partial \mathcal{Y}_i}{\partial \eta} = k_{Ai}(0) \exp(a_{2i} \mathcal{S}_i^2) (\mathcal{Y}_{\infty,i} - \mathcal{Y}_i) \quad i = 1, 2$$



Tesis Doctoral

Francisco
José Blanco
Rodríguez

1. Introducción
y objetivos

2. Modelado
matemático

3. Modelo 1-D

4. Modelo 2-D

5. Resultados
para fibras
compuestas

6. Conclusiones

• Temperatura

$$\frac{\partial \hat{T}_i}{\partial \eta} = \frac{1}{2Q} \frac{1}{\bar{P}_i} \frac{1}{\xi} \frac{\partial}{\partial \xi} \left(\xi \frac{\partial \hat{T}_i}{\partial \xi} \right) \quad i = 1, 2$$

$$\text{donde } \bar{P}_i = \bar{P} \left(\frac{\hat{\rho}_i \hat{C}_i}{\hat{k}_i} \right)$$

• Componentes del tensor de orientación molecular

$$\mathcal{B} \frac{\partial s_{i,r}}{\partial \eta} = (1 - s_{i,r}) (1 + s_{i,x}) \frac{d\mathcal{B}}{d\eta} - \frac{\phi_i}{\lambda_i} \left\{ s_{i,r} - \frac{N_i}{3} [(1 - s_{i,r}) (s_{i,r} + 3 \Pi_{i,s})] \right\}$$

$$\mathcal{B} \frac{\partial s_{i,x}}{\partial \eta} = (s_{i,x} + 1) (2 - s_{i,x}) \frac{d\mathcal{B}}{d\eta} - \frac{\phi_i}{\lambda_i} \left\{ s_{i,x} - \frac{N_i}{3} [(s_{i,x} + 1) (s_{i,x} - 3 \Pi_{i,s})] \right\}$$

• Grado de cristalización

$$\mathcal{B} \frac{\partial \mathcal{Y}_i}{\partial \eta} = k_{Ai}(0) \exp(a_{2i} \mathcal{S}_i^2) (\mathcal{Y}_{\infty,i} - \mathcal{Y}_i) \quad i = 1, 2$$



FIBRAS COMPUESTAS SEMICRISTALINAS

Temperatura promedio

Tesis
Doctoral

Francisco
José Blanco
Rodríguez

1. Introducción
y objetivos

2. Modelado
matemático

3. Modelo 1-D

4. Modelo 2-D

5. Resultados
para fibras
compuestas

6. Conclusiones

- Temperatura promedio de los chorros

$$\langle \hat{T}_1 \rangle (\eta) = \frac{2Q}{Q_1} \int_0^{\sqrt{\frac{Q_1}{Q}}} \hat{T}_1(\xi, \eta) \xi d\xi$$

$$\langle \hat{T}_2 \rangle (\eta) = \frac{2Q}{Q_2} \int_{\sqrt{\frac{Q_1}{Q}}}^1 \hat{T}_2(\xi, \eta) \xi d\xi$$

- Ecuación de evolución de la temperatura promedio global de la fibra

$$\frac{d\langle \hat{T} \rangle}{d\eta} = -\frac{St}{\hat{\rho}_1 \hat{C}_1 Q_1 + \hat{\rho}_2 \hat{C}_2 Q_2} \mathcal{R}_2(\eta) \hat{h}_2 \left(\hat{T}_2(1, \eta) - \hat{T}_{\infty, 2} \right)$$

donde $St = \frac{Bi}{P}$

- Temperatura promedio global de la fibra

$$\langle \hat{T} \rangle (\eta) = \frac{\bar{P}_1 \left(\frac{\hat{k}_1}{k_2} \right) Q_1 \langle \hat{T}_1(\eta) \rangle + \bar{P}_2 Q_2 \langle \hat{T}_2(\eta) \rangle}{\bar{P}_1 \left(\frac{\hat{k}_1}{k_2} \right) Q_1 + \bar{P}_2 Q_2}$$



FIBRAS COMPUESTAS SEMICRISTALINAS

Temperatura promedio

Tesis
Doctoral

Francisco
José Blanco
Rodríguez

1. Introducción
y objetivos

2. Modelado
matemático

3. Modelo 1-D

4. Modelo 2-D

5. Resultados
para fibras
compuestas

6. Conclusiones

- Temperatura promedio de los chorros

$$\langle \hat{T}_1 \rangle (\eta) = \frac{2Q}{Q_1} \int_0^{\sqrt{\frac{Q_1}{Q}}} \hat{T}_1(\xi, \eta) \xi d\xi$$

$$\langle \hat{T}_2 \rangle (\eta) = \frac{2Q}{Q_2} \int_{\sqrt{\frac{Q_1}{Q}}}^1 \hat{T}_2(\xi, \eta) \xi d\xi$$

- Ecuación de evolución de la temperatura promedio global de la fibra

$$\frac{d\langle \hat{T} \rangle}{d\eta} = - \frac{St}{\hat{\rho}_1 \hat{C}_1 Q_1 + \hat{\rho}_2 \hat{C}_2 Q_2} \mathcal{R}_2(\eta) \hat{h}_2 \left(\hat{T}_2(1, \eta) - \hat{T}_{\infty, 2} \right)$$

donde $St = \frac{Bi}{P}$

- Temperatura promedio global de la fibra

$$\langle \hat{T} \rangle (\eta) = \frac{\bar{P}_1 \left(\frac{\hat{k}_1}{\hat{k}_2} \right) Q_1 \langle \hat{T}_1(\eta) \rangle + \bar{P}_2 Q_2 \langle \hat{T}_2(\eta) \rangle}{\bar{P}_1 \left(\frac{\hat{k}_1}{\hat{k}_2} \right) Q_1 + \bar{P}_2 Q_2}$$



FIBRAS COMPUESTAS SEMICRISTALINAS

Temperatura promedio

Tesis
Doctoral

Francisco
José Blanco
Rodríguez

1. Introducción
y objetivos

2. Modelado
matemático

3. Modelo 1-D

4. Modelo 2-D

5. Resultados
para fibras
compuestas

6. Conclusiones

- Temperatura promedio de los chorros

$$\langle \hat{T}_1 \rangle (\eta) = \frac{2Q}{Q_1} \int_0^{\sqrt{\frac{Q_1}{Q}}} \hat{T}_1(\xi, \eta) \xi d\xi$$

$$\langle \hat{T}_2 \rangle (\eta) = \frac{2Q}{Q_2} \int_{\sqrt{\frac{Q_1}{Q}}}^1 \hat{T}_2(\xi, \eta) \xi d\xi$$

- Ecuación de evolución de la temperatura promedio global de la fibra

$$\frac{d\langle \hat{T} \rangle}{d\eta} = - \frac{St}{\hat{\rho}_1 \hat{C}_1 Q_1 + \hat{\rho}_2 \hat{C}_2 Q_2} \mathcal{R}_2(\eta) \hat{h}_2 \left(\hat{T}_2(1, \eta) - \hat{T}_{\infty, 2} \right)$$

donde $St = \frac{Bi}{P}$

- Temperatura promedio global de la fibra

$$\langle \hat{T} \rangle (\eta) = \frac{\bar{P}_1 \left(\frac{\hat{k}_1}{\hat{k}_2} \right) Q_1 \langle \hat{T}_1(\eta) \rangle + \bar{P}_2 Q_2 \langle \hat{T}_2(\eta) \rangle}{\bar{P}_1 \left(\frac{\hat{k}_1}{\hat{k}_2} \right) Q_1 + \bar{P}_2 Q_2}$$



FIBRAS ANULARES COMPUESTAS SEMICRISTALINAS

Transformación de coordenadas

Tesis
Doctoral

Francisco
José Blanco
Rodríguez

1. Introducción
y objetivos

2. Modelado
matemático

3. Modelo 1-D

4. Modelo 2-D

5. Resultados
para fibras
compuestas

6. Conclusiones

$(\hat{r}, \hat{x}) \mapsto (\xi, \eta)$ transforma el espacio $\Omega_{\hat{r}\hat{x}} = \{[\mathcal{R}_0(\hat{x}), \mathcal{R}_2(\hat{x})] \times [0, 1]\}$ en un dominio rectangular $\Omega_{\xi\eta} = \{[0, 1] \times [0, 1]\}$



FIBRAS ANULARES COMPUESTAS SEMICRISTALINAS

Transformación de coordenadas

Tesis
Doctoral

Francisco
José Blanco
Rodríguez

1. Introducción
y objetivos

2. Modelado
matemático

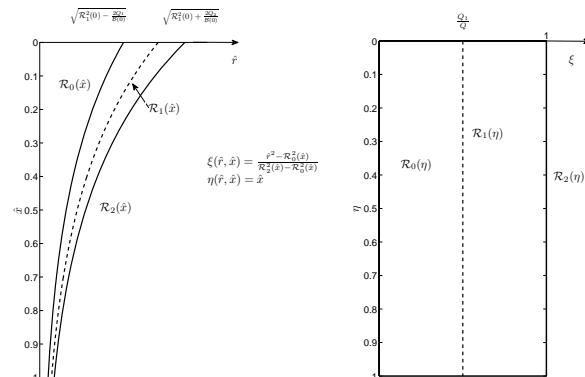
3. Modelo 1-D

4. Modelo 2-D

5. Resultados
para fibras
compuestas

6. Conclusiones

$(\hat{r}, \hat{x}) \mapsto (\xi, \eta)$ transforma el espacio $\Omega_{\hat{r}\hat{x}} = \{[\mathcal{R}_0(\hat{x}), \mathcal{R}_2(\hat{x})] \times [0, 1]\}$ en un dominio rectangular $\Omega_{\xi\eta} = \{[0, 1] \times [0, 1]\}$





FIBRAS ANULARES COMPUESTAS SEMICRISTALINAS

Dominio computacional. Ecuaciones bidimensionales modelo 2-D

Tesis
Doctoral

Francisco
José Blanco
Rodríguez

1. Introducción
y objetivos

2. Modelado
matemático

3. Modelo 1-D

4. Modelo 2-D

5. Resultados
para fibras
compuestas

6. Conclusiones

- Temperatura

$$\frac{\partial \hat{T}_i}{\partial \eta} = \frac{1}{Q} \frac{2}{\bar{P}_i} \frac{\partial}{\partial \xi} \left[\left(\frac{\mathcal{A}_0}{\mathcal{A}} + \xi \right) \frac{\partial \hat{T}_i}{\partial \xi} \right] \quad i = 1, 2$$

dónde $\mathcal{A}_0 = \frac{\mathcal{R}_0^2}{2}$ y $\mathcal{A} = \mathcal{A}_1 + \mathcal{A}_2$

- Componentes del tensor de orientación molecular

$$\begin{aligned} \mathcal{B} \frac{\partial s_{ir}}{\partial \eta} &= (1 - s_{ir}) \left[(1 + s_{ix}) \frac{d\mathcal{B}}{d\eta} + \frac{1}{3} \frac{\mathcal{C}(\eta)}{\mathcal{A}(\eta)\xi + \mathcal{A}_0(\eta)} (3 + 2s_{ir} - s_{ix}) \right] \\ &\quad - \frac{\phi_i}{\hat{\lambda}_i} \left\{ s_{ir} - \frac{N_i}{3} [(1 - s_{ir})(s_{ir} + 3\Pi_{is})] \right\} \quad i = 1, 2 \end{aligned}$$

$$\begin{aligned} \mathcal{B} \frac{\partial s_{ix}}{\partial \eta} &= (s_{ix} + 1) \left[(2 - s_{ix}) \frac{d\mathcal{B}}{d\eta} + \frac{1}{3} \frac{\mathcal{C}(\eta)}{\mathcal{A}(\eta)\xi + \mathcal{A}_0(\eta)} (2s_{ir} - s_{ix}) \right] \\ &\quad - \frac{\phi_i}{\hat{\lambda}_i} \left\{ s_{ix} - \frac{N_i}{3} [(s_{ix} + 1)(s_{ix} - 3\Pi_{is})] \right\} \quad i = 1, 2 \end{aligned}$$

- Grado de cristalización

$$\mathcal{B} \frac{\partial \mathcal{Y}_i}{\partial \eta} = k_{Ai}(0) \exp(a_{2i}\mathcal{S}_i^2) (\mathcal{Y}_{\infty,i} - \mathcal{Y}_i) \quad i = 1, 2$$



FIBRAS ANULARES COMPUESTAS SEMICRISTALINAS

Dominio computacional. Ecuaciones bidimensionales modelo 2-D

Tesis
Doctoral

Francisco
José Blanco
Rodríguez

1. Introducción
y objetivos

2. Modelado
matemático

3. Modelo 1-D

4. Modelo 2-D

5. Resultados
para fibras
compuestas

6. Conclusiones

- Temperatura

$$\frac{\partial \hat{T}_i}{\partial \eta} = \frac{1}{Q} \frac{2}{\bar{P}_i} \frac{\partial}{\partial \xi} \left[\left(\frac{\mathcal{A}_0}{\mathcal{A}} + \xi \right) \frac{\partial \hat{T}_i}{\partial \xi} \right] \quad i = 1, 2$$

dónde $\mathcal{A}_0 = \frac{\mathcal{R}_0^2}{2}$ y $\mathcal{A} = \mathcal{A}_1 + \mathcal{A}_2$

- Componentes del tensor de orientación molecular

$$\begin{aligned} \mathcal{B} \frac{\partial s_{ir}}{\partial \eta} &= (1 - s_{ir}) \left[(1 + s_{ix}) \frac{d\mathcal{B}}{d\eta} + \frac{1}{3} \frac{\mathcal{C}(\eta)}{\mathcal{A}(\eta)\xi + \mathcal{A}_0(\eta)} (3 + 2s_{ir} - s_{ix}) \right] \\ &\quad - \frac{\phi_i}{\hat{\lambda}_i} \left\{ s_{ir} - \frac{N_i}{3} [(1 - s_{ir})(s_{ir} + 3\Pi_{is})] \right\} \quad i = 1, 2 \end{aligned}$$

$$\begin{aligned} \mathcal{B} \frac{\partial s_{ix}}{\partial \eta} &= (s_{ix} + 1) \left[(2 - s_{ix}) \frac{d\mathcal{B}}{d\eta} + \frac{1}{3} \frac{\mathcal{C}(\eta)}{\mathcal{A}(\eta)\xi + \mathcal{A}_0(\eta)} (2s_{ir} - s_{ix}) \right] \\ &\quad - \frac{\phi_i}{\hat{\lambda}_i} \left\{ s_{ix} - \frac{N_i}{3} [(s_{ix} + 1)(s_{ix} - 3\Pi_{is})] \right\} \quad i = 1, 2 \end{aligned}$$

- Grado de cristalización

$$\mathcal{B} \frac{\partial \mathcal{Y}_i}{\partial \eta} = k_{Ai}(0) \exp(a_{2i}\mathcal{S}_i^2) (\mathcal{Y}_{\infty,i} - \mathcal{Y}_i) \quad i = 1, 2$$



FIBRAS ANULARES COMPUESTAS SEMICRISTALINAS

Dominio computacional. Ecuaciones bidimensionales modelo 2-D

Tesis
Doctoral

Francisco
José Blanco
Rodríguez

1. Introducción
y objetivos

2. Modelado
matemático

3. Modelo 1-D

4. Modelo 2-D

5. Resultados
para fibras
compuestas

6. Conclusiones

- **Temperatura**

$$\frac{\partial \hat{T}_i}{\partial \eta} = \frac{1}{Q} \frac{2}{\bar{P}_i} \frac{\partial}{\partial \xi} \left[\left(\frac{\mathcal{A}_0}{\mathcal{A}} + \xi \right) \frac{\partial \hat{T}_i}{\partial \xi} \right] \quad i = 1, 2$$

dónde $\mathcal{A}_0 = \frac{\mathcal{R}_0^2}{2}$ y $\mathcal{A} = \mathcal{A}_1 + \mathcal{A}_2$

- **Componentes del tensor de orientación molecular**

$$\begin{aligned} \mathcal{B} \frac{\partial s_{ir}}{\partial \eta} &= (1 - s_{ir}) \left[(1 + s_{ix}) \frac{d\mathcal{B}}{d\eta} + \frac{1}{3} \frac{\mathcal{C}(\eta)}{\mathcal{A}(\eta)\xi + \mathcal{A}_0(\eta)} (3 + 2s_{ir} - s_{ix}) \right] \\ &\quad - \frac{\phi_i}{\hat{\lambda}_i} \left\{ s_{ir} - \frac{N_i}{3} [(1 - s_{ir})(s_{ir} + 3\Pi_{is})] \right\} \quad i = 1, 2 \end{aligned}$$

$$\begin{aligned} \mathcal{B} \frac{\partial s_{ix}}{\partial \eta} &= (s_{ix} + 1) \left[(2 - s_{ix}) \frac{d\mathcal{B}}{d\eta} + \frac{1}{3} \frac{\mathcal{C}(\eta)}{\mathcal{A}(\eta)\xi + \mathcal{A}_0(\eta)} (2s_{ir} - s_{ix}) \right] \\ &\quad - \frac{\phi_i}{\hat{\lambda}_i} \left\{ s_{ix} - \frac{N_i}{3} [(s_{ix} + 1)(s_{ix} - 3\Pi_{is})] \right\} \quad i = 1, 2 \end{aligned}$$

- **Grado de cristalización**

$$\mathcal{B} \frac{\partial \mathcal{Y}_i}{\partial \eta} = k_{Ai}(0) \exp(a_{2i}\mathcal{S}_i^2) (\mathcal{Y}_{\infty,i} - \mathcal{Y}_i) \quad i = 1, 2$$



FIBRAS ANULARES COMPUESTAS SEMICRISTALINAS

Condiciones de contorno

Tesis
Doctoral

Francisco
José Blanco
Rodríguez

1. Introducción
y objetivos

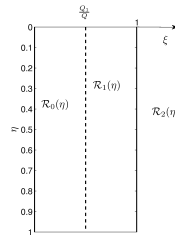
2. Modelado
matemático

3. Modelo 1-D

4. Modelo 2-D

5. Resultados
para fibras
compuestas

6. Conclusiones



- Velocidad axial

$$\mathcal{B}(0) = \mathcal{B}_0$$

$$\mathcal{B}(1) = D_r \mathcal{B}_0$$

- Perfil inicial de temperatura

$$\hat{T}_i(\xi, 0) = \hat{T}_{i0}(\xi) \quad i = 1, 2$$

- Condiciones radiales de temperatura

$$-\frac{\partial \hat{T}_1}{\partial \xi}(0, \eta) + Bi_1 \frac{\mathcal{A}}{\mathcal{R}_0} \hat{T}_1(0, \eta) = Bi_1 \frac{\mathcal{A}}{\mathcal{R}_0} \hat{T}_{\infty,1} \quad Bi_1 \equiv Bi \left(\frac{\hat{h}_1}{k_1} \right)$$

$$\hat{T}_1 \left(\frac{Q_1}{Q}, \eta \right) = \hat{T}_2 \left(\frac{Q_1}{Q}, \eta \right)$$

$$-\hat{k}_1 \frac{\partial \hat{T}_1}{\partial \xi} \left(\frac{Q_1}{Q}, \eta \right) = -\hat{k}_2 \frac{\partial \hat{T}_2}{\partial \xi} \left(\frac{Q_1}{Q}, \eta \right)$$

$$\frac{\partial \hat{T}_2}{\partial \xi}(1, \eta) + Bi_2 \frac{\mathcal{A}}{\mathcal{R}_2} \hat{T}_2(1, \eta) = Bi_2 \frac{\mathcal{A}}{\mathcal{R}_2} \hat{T}_{\infty,2}$$



FIBRAS ANULARES COMPUESTAS SEMICRISTALINAS

Condiciones de contorno

Tesis
Doctoral

Francisco
José Blanco
Rodríguez

1. Introducción
y objetivos

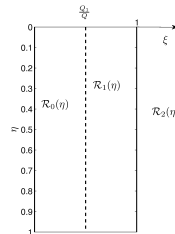
2. Modelado
matemático

3. Modelo 1-D

4. Modelo 2-D

5. Resultados
para fibras
compuestas

6. Conclusiones



- **Velocidad axial**

$$\mathcal{B}(0) = \mathcal{B}_0$$

$$\mathcal{B}(1) = D_r \mathcal{B}_0$$

- **Perfil inicial de temperatura**

$$\hat{T}_i(\xi, 0) = \hat{T}_{i0}(\xi) \quad i = 1, 2$$

- **Condiciones radiales de temperatura**

$$-\frac{\partial \hat{T}_1}{\partial \xi}(0, \eta) + Bi_1 \frac{\mathcal{A}}{\mathcal{R}_0} \hat{T}_1(0, \eta) = Bi_1 \frac{\mathcal{A}}{\mathcal{R}_0} \hat{T}_{\infty, 1} \quad Bi_1 \equiv Bi \left(\frac{\hat{h}_1}{k_1} \right)$$

$$\hat{T}_1 \left(\frac{Q_1}{Q}, \eta \right) = \hat{T}_2 \left(\frac{Q_1}{Q}, \eta \right)$$

$$-\hat{k}_1 \frac{\partial \hat{T}_1}{\partial \xi} \left(\frac{Q_1}{Q}, \eta \right) = -\hat{k}_2 \frac{\partial \hat{T}_2}{\partial \xi} \left(\frac{Q_1}{Q}, \eta \right)$$

$$\frac{\partial \hat{T}_2}{\partial \xi}(1, \eta) + Bi_2 \frac{\mathcal{A}}{\mathcal{R}_2} \hat{T}_2(1, \eta) = Bi_2 \frac{\mathcal{A}}{\mathcal{R}_2} \hat{T}_{\infty, 2}$$



FIBRAS ANULARES COMPUESTAS SEMICRISTALINAS

Condiciones de contorno

Tesis
Doctoral

Francisco
José Blanco
Rodríguez

1. Introducción
y objetivos

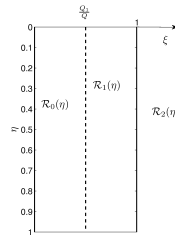
2. Modelado
matemático

3. Modelo 1-D

4. Modelo 2-D

5. Resultados
para fibras
compuestas

6. Conclusiones



- **Velocidad axial**

$$\mathcal{B}(0) = \mathcal{B}_0$$

$$\mathcal{B}(1) = D_r \mathcal{B}_0$$

- **Perfil inicial de temperatura**

$$\hat{T}_i(\xi, 0) = \hat{T}_{i0}(\xi) \quad i = 1, 2$$

- **Condiciones radiales de temperatura**

$$-\frac{\partial \hat{T}_1}{\partial \xi}(0, \eta) + Bi_1 \frac{\mathcal{A}}{R_0} \hat{T}_1(0, \eta) = Bi_1 \frac{\mathcal{A}}{R_0} \hat{T}_{\infty,1} \quad Bi_1 \equiv Bi \left(\frac{\hat{h}_1}{k_1} \right)$$

$$\hat{T}_1 \left(\frac{Q_1}{Q}, \eta \right) = \hat{T}_2 \left(\frac{Q_1}{Q}, \eta \right)$$

$$-\hat{k}_1 \frac{\partial \hat{T}_1}{\partial \xi} \left(\frac{Q_1}{Q}, \eta \right) = -\hat{k}_2 \frac{\partial \hat{T}_2}{\partial \xi} \left(\frac{Q_1}{Q}, \eta \right)$$

$$\frac{\partial \hat{T}_2}{\partial \xi}(1, \eta) + Bi_2 \frac{\mathcal{A}}{R_2} \hat{T}_2(1, \eta) = Bi_2 \frac{\mathcal{A}}{R_2} \hat{T}_{\infty,2}$$



FIBRAS ANULARES COMPUESTAS SEMICRISTALINAS

Condiciones de contorno

Tesis
Doctoral

Francisco
José Blanco
Rodríguez

1. Introducción
y objetivos

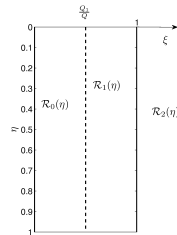
2. Modelado
matemático

3. Modelo 1-D

4. Modelo 2-D

5. Resultados
para fibras
compuestas

6. Conclusiones



- **Velocidad axial**

$$\mathcal{B}(0) = \mathcal{B}_0$$

$$\mathcal{B}(1) = D_r \mathcal{B}_0$$

- **Perfil inicial de temperatura**

$$\hat{T}_i(\xi, 0) = \hat{T}_{i0}(\xi) \quad i = 1, 2$$

- **Condiciones radiales de temperatura**

$$-\frac{\partial \hat{T}_1}{\partial \xi}(0, \eta) + Bi_1 \frac{\mathcal{A}}{\mathcal{R}_0} \hat{T}_1(0, \eta) = Bi_1 \frac{\mathcal{A}}{\mathcal{R}_0} \hat{T}_{\infty,1} \quad Bi_1 \equiv Bi \left(\frac{\hat{h}_1}{\hat{k}_1} \right)$$

$$\hat{T}_1\left(\frac{Q_1}{Q}, \eta\right) = \hat{T}_2\left(\frac{Q_1}{Q}, \eta\right)$$

$$-\hat{k}_1 \frac{\partial \hat{T}_1}{\partial \xi}\left(\frac{Q_1}{Q}, \eta\right) = -\hat{k}_2 \frac{\partial \hat{T}_2}{\partial \xi}\left(\frac{Q_1}{Q}, \eta\right)$$

$$\frac{\partial \hat{T}_2}{\partial \xi}(1, \eta) + Bi_2 \frac{\mathcal{A}}{\mathcal{R}_2} \hat{T}_2(1, \eta) = Bi_2 \frac{\mathcal{A}}{\mathcal{R}_2} \hat{T}_{\infty,2}$$



FIBRAS ANULARES COMPUESTAS SEMICRISTALINAS

Temperatura promedio

Tesis
Doctoral

Francisco
José Blanco
Rodríguez

1. Introducción
y objetivos

2. Modelado
matemático

3. Modelo 1-D

4. Modelo 2-D

5. Resultados
para fibras
compuestas

6. Conclusiones

- Temperatura promedio de los chorros

$$\langle \hat{T}_1 \rangle (\eta) = \frac{Q}{Q_1} \int_0^{\frac{Q_1}{Q}} \hat{T}_1(\xi, \eta) d\xi$$

$$\langle \hat{T}_2 \rangle (\eta) = \frac{Q}{Q_2} \int_{\frac{Q_1}{Q}}^1 \hat{T}_2(\xi, \eta) d\xi$$

- Ecuación de evolución de la temperatura promedio global de la fibra

$$\frac{d\langle \hat{T} \rangle}{d\eta} = - \frac{St}{\hat{\rho}_1 \hat{C}_1 Q_1 + \hat{\rho}_2 \hat{C}_2 Q_2} \cdot \left[\mathcal{R}_2(\eta) \hat{h}_2 \left(\hat{T}_2(1, \eta) - \hat{T}_{\infty, 2} \right) + \mathcal{R}_0(\eta) \hat{h}_1 \left(\hat{T}_1(0, \eta) - \hat{T}_{\infty, 1} \right) \right]$$



FIBRAS ANULARES COMPUESTAS SEMICRISTALINAS

Temperatura promedio

Tesis
Doctoral

Francisco
José Blanco
Rodríguez

1. Introducción
y objetivos

2. Modelado
matemático

3. Modelo 1-D

4. Modelo 2-D

5. Resultados
para fibras
compuestas

6. Conclusiones

● Temperatura promedio de los chorros

$$\langle \hat{T}_1 \rangle (\eta) = \frac{Q}{Q_1} \int_0^{\frac{Q_1}{Q}} \hat{T}_1(\xi, \eta) d\xi$$

$$\langle \hat{T}_2 \rangle (\eta) = \frac{Q}{Q_2} \int_{\frac{Q_1}{Q}}^1 \hat{T}_2(\xi, \eta) d\xi$$

● Ecuación de evolución de la temperatura promedio global de la fibra

$$\frac{d\langle \hat{T} \rangle}{d\eta} = - \frac{St}{\hat{\rho}_1 \hat{C}_1 Q_1 + \hat{\rho}_2 \hat{C}_2 Q_2} \left[\mathcal{R}_2(\eta) \hat{h}_2 \left(\hat{T}_2(1, \eta) - \hat{T}_{\infty, 2} \right) + \mathcal{R}_0(\eta) \hat{h}_1 \left(\hat{T}_1(0, \eta) - \hat{T}_{\infty, 1} \right) \right]$$



FIBRAS ANULARES COMPUESTAS SEMICRISTALINAS

Temperatura promedio

Tesis
Doctoral

Francisco
José Blanco
Rodríguez

1. Introducción
y objetivos

2. Modelado
matemático

3. Modelo 1-D

4. Modelo 2-D

5. Resultados
para fibras
compuestas

6. Conclusiones

- **Temperatura promedio de los chorros**

$$\langle \hat{T}_1 \rangle (\eta) = \frac{Q}{Q_1} \int_0^{\frac{Q_1}{Q}} \hat{T}_1(\xi, \eta) d\xi$$

$$\langle \hat{T}_2 \rangle (\eta) = \frac{Q}{Q_2} \int_{\frac{Q_1}{Q}}^1 \hat{T}_2(\xi, \eta) d\xi$$

- **Ecuación de evolución de la temperatura promedio global de la fibra**

$$\frac{d\langle \hat{T} \rangle}{d\eta} = - \frac{St}{\hat{\rho}_1 \hat{C}_1 Q_1 + \hat{\rho}_2 \hat{C}_2 Q_2} \cdot \left[\mathcal{R}_2(\eta) \hat{h}_2 \left(\hat{T}_2(1, \eta) - \hat{T}_{\infty, 2} \right) + \mathcal{R}_0(\eta) \hat{h}_1 \left(\hat{T}_1(0, \eta) - \hat{T}_{\infty, 1} \right) \right]$$



Tesis
Doctoral

Francisco
José Blanco
Rodríguez

1. Introducción
y objetivos

2. Modelado
matemático

3. Modelo 1-D

4. Modelo 2-D

5. Resultados
para fibras
compuestas

6. Conclusiones

5. RESULTADOS NUMÉRICOS PARA FIBRAS COMPUESTAS



PARÁMETROS DEL PROCESO

Casos estudiados

Tesis
Doctoral

Francisco
José Blanco
Rodríguez

1. Introducción
y objetivos

2. Modelado
matemático

3. Modelo 1-D

4. Modelo 2-D

5. Resultados
para fibras
compuestas

6. Conclusiones

Caso	Bi	\hat{H}_1	\hat{H}_2	\bar{P}_1	\bar{P}_2	$\frac{\hat{k}_2}{\hat{k}_1}$	\hat{D}_1	\hat{D}_2
1	5	20	20	1	5	1	1	1
2	5	20	20	1	5	0.2	1	1
3	5	20	20	1	5	5	1	1
4	5	20	20	1	5	1	10	1
5	5	20	20	1	5	1	0.1	1
6	5	40	20	1	5	1	1	1
7	5	10	20	1	5	1	1	1
8	5	20	20	1	5	1	1	10
9	5	20	20	1	5	1	1	0.1
10	5	20	40	1	5	1	1	1
11	5	20	10	1	5	1	1	1
12	10	20	20	1	5	1	1	1
13	2.5	20	20	1	5	1	1	1



CONDICIONES DE CONTORNO

Perfiles iniciales de temperatura, orientación molecular y cristalización

Tesis
Doctoral

Francisco
José Blanco
Rodríguez

1. Introducción
y objetivos

2. Modelado
matemático

3. Modelo 1-D

4. Modelo 2-D

5. Resultados
para fibras
compuestas

6. Conclusiones

- Perfil radial de temperatura

$$\hat{T}(\xi, 0) = \begin{cases} 1 + \Delta T \left(1 - \left(\frac{\xi}{\xi_I} \right)^2 \right) & 0 \leq \xi \leq \xi_I \\ 1 - \Delta T \left(\frac{\hat{k}_1}{\hat{k}_2} \right) \left(\left(\frac{\xi}{\xi_I} \right)^2 - 1 \right) & \xi_I \leq \xi \leq 1 \end{cases}$$

donde $\xi_I = \sqrt{\frac{Q_1}{Q}}$ y $\Delta T = 0,1 < \left(\frac{\hat{k}_2}{\hat{k}_1} \right) \left(\frac{Q_1}{Q_2} \right)$

- Perfil radial para el parámetro orden de la orientación molecular

$$\mathcal{S}(\xi, 0) = \begin{cases} S_{10} - \Delta S_1 \left(1 - 2 \left(\frac{\xi}{\xi_I} \right)^2 \right) & 0 \leq \xi \leq \xi_I \\ S_{20} + \Delta S_2 \left(1 - \frac{2}{\left(\frac{1-\xi_I}{2} \right)^2} (\xi - 1) (\xi_I - \xi) \right) & \xi_I \leq \xi \leq 1 \end{cases}$$

donde $(S_{10}, \Delta S_1) = (0,25, 0,10)$ and $(S_{20}, \Delta S_2) = (0,50, 0,20)$

- Perfil radial para el grado de cristalización

$$\mathcal{Y}(\xi, 0) = 0 \quad 0 \leq \xi \leq 1$$



CONDICIONES DE CONTORNO

Perfiles iniciales de temperatura, orientación molecular y cristalización

Tesis
Doctoral

Francisco
José Blanco
Rodríguez

1. Introducción
y objetivos

2. Modelado
matemático

3. Modelo 1-D

4. Modelo 2-D

5. Resultados
para fibras
compuestas

6. Conclusiones

- **Perfil radial de temperatura**

$$\hat{T}(\xi, 0) = \begin{cases} 1 + \Delta T \left(1 - \left(\frac{\xi}{\xi_I} \right)^2 \right) & 0 \leq \xi \leq \xi_I \\ 1 - \Delta T \left(\frac{\hat{k}_1}{\hat{k}_2} \right) \left(\left(\frac{\xi}{\xi_I} \right)^2 - 1 \right) & \xi_I \leq \xi \leq 1 \end{cases}$$

dónde $\xi_I = \sqrt{\frac{Q_1}{Q}}$ y $\Delta T = 0,1 < \left(\frac{\hat{k}_2}{\hat{k}_1} \right) \left(\frac{Q_1}{Q_2} \right)$

- **Perfil radial para el parámetro orden de la orientación molecular**

$$S(\xi, 0) = \begin{cases} S_{10} - \Delta S_1 \left(1 - 2 \left(\frac{\xi}{\xi_I} \right)^2 \right) & 0 \leq \xi \leq \xi_I \\ S_{20} + \Delta S_2 \left(1 - \frac{2}{\left(\frac{1-\xi_I}{2} \right)^2} (\xi - 1) (\xi_I - \xi) \right) & \xi_I \leq \xi \leq 1 \end{cases}$$

dónde $(S_{10}, \Delta S_1) = (0,25, 0,10)$ and $(S_{20}, \Delta S_2) = (0,50, 0,20)$

- **Perfil radial para el grado de cristalización**

$$\mathcal{Y}(\xi, 0) = 0 \quad 0 \leq \xi \leq 1$$



CONDICIONES DE CONTORNO

Perfiles iniciales de temperatura, orientación molecular y cristalización

Tesis
Doctoral

Francisco
José Blanco
Rodríguez

1. Introducción
y objetivos

2. Modelado
matemático

3. Modelo 1-D

4. Modelo 2-D

5. Resultados
para fibras
compuestas

6. Conclusiones

- Perfil radial de temperatura

$$\hat{T}(\xi, 0) = \begin{cases} 1 + \Delta T \left(1 - \left(\frac{\xi}{\xi_I} \right)^2 \right) & 0 \leq \xi \leq \xi_I \\ 1 - \Delta T \left(\frac{\hat{k}_1}{\hat{k}_2} \right) \left(\left(\frac{\xi}{\xi_I} \right)^2 - 1 \right) & \xi_I \leq \xi \leq 1 \end{cases}$$

donde $\xi_I = \sqrt{\frac{Q_1}{Q}}$ y $\Delta T = 0,1 < \left(\frac{\hat{k}_2}{\hat{k}_1} \right) \left(\frac{Q_1}{Q_2} \right)$

- Perfil radial para el parámetro orden de la orientación molecular

$$\mathcal{S}(\xi, 0) = \begin{cases} S_{10} - \Delta S_1 \left(1 - 2 \left(\frac{\xi}{\xi_I} \right)^2 \right) & 0 \leq \xi \leq \xi_I \\ S_{20} + \Delta S_2 \left(1 - \frac{2}{\left(\frac{1-\xi_I}{2} \right)^2} (\xi - 1) (\xi_I - \xi) \right) & \xi_I \leq \xi \leq 1 \end{cases}$$

donde $(S_{10}, \Delta S_1) = (0,25, 0,10)$ and $(S_{20}, \Delta S_2) = (0,50, 0,20)$

- Perfil radial para el grado de cristalización

$$\mathcal{Y}(\xi, 0) = 0 \quad 0 \leq \xi \leq 1$$



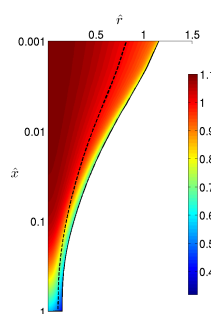
RESULTADOS BIDIMENSIONALES

Caso 1

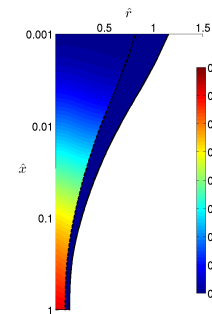
Tesis
Doctoral

Francisco
José Blanco
Rodríguez

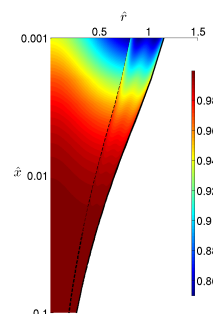
1. Introducción y objetivos
2. Modelado matemático
3. Modelo 1-D
4. Modelo 2-D
5. Resultados para fibras compuestas
6. Conclusiones



\hat{T}



y



S



DISTRIBUCIONES AXIALES

Caso 1

Tesis
Doctoral

Francisco
José Blanco
Rodríguez

1. Introducción
y objetivos

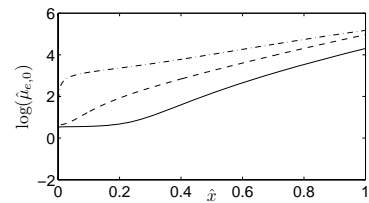
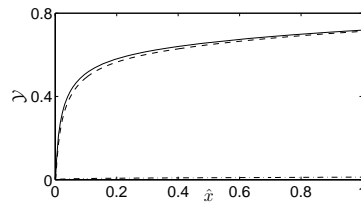
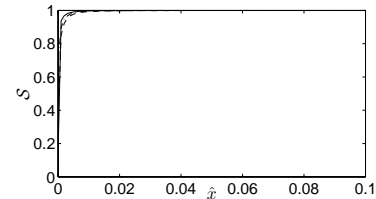
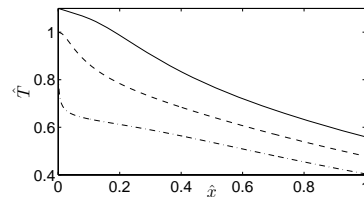
2. Modelado
matemático

3. Modelo 1-D

4. Modelo 2-D

5. Resultados
para fibras
compuestas

6. Conclusiones





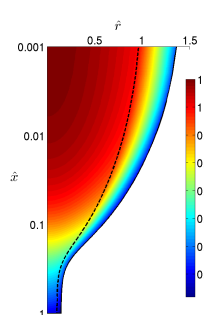
RESULTADOS BIDIMENSIONALES

Caso 2

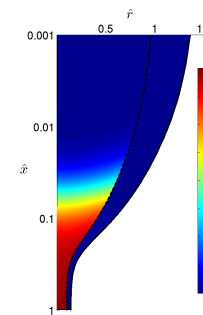
Tesis
Doctoral

Francisco
José Blanco
Rodríguez

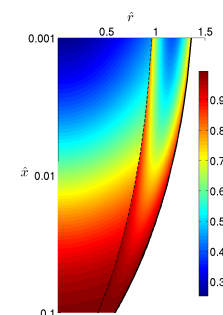
1. Introducción y objetivos
2. Modelado matemático
3. Modelo 1-D
4. Modelo 2-D
5. Resultados para fibras compuestas
6. Conclusiones



\hat{T}



y



S



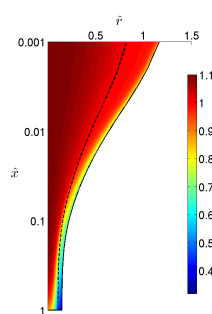
RESULTADOS BIDIMENSIONALES

Caso 3

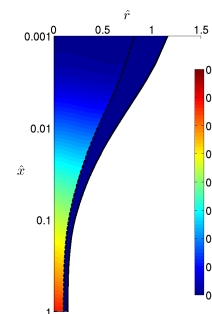
Tesis
Doctoral

Francisco
José Blanco
Rodríguez

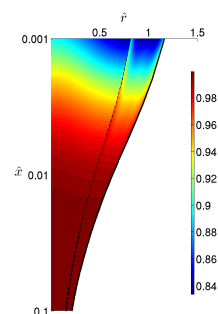
1. Introducción y objetivos
2. Modelado matemático
3. Modelo 1-D
4. Modelo 2-D
5. Resultados para fibras compuestas
6. Conclusiones



\hat{T}



\hat{y}



\hat{S}



DISTRIBUCIONES RADIALES

Temperatura

Tesis
Doctoral

Francisco
José Blanco
Rodríguez

1. Introducción
y objetivos

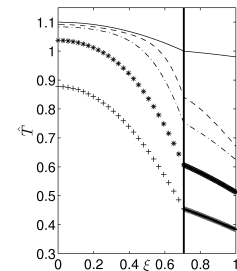
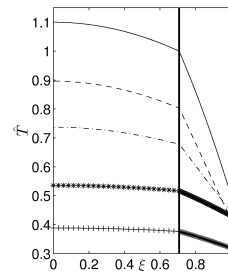
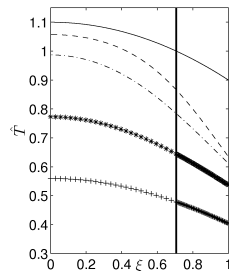
2. Modelado
matemático

3. Modelo 1-D

4. Modelo 2-D

5. Resultados
para fibras
compuestas

6. Conclusiones





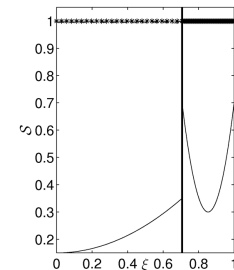
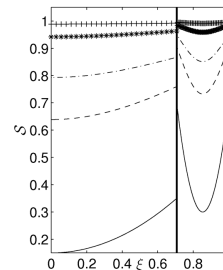
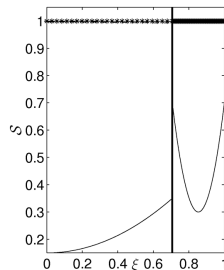
DISTRIBUCIONES RADIALES

Parámetro de orden de la orientación molecular

Tesis
Doctoral

Francisco
José Blanco
Rodríguez

1. Introducción y objetivos
2. Modelado matemático
3. Modelo 1-D
4. Modelo 2-D
5. Resultados para fibras compuestas
6. Conclusiones





RESULTADOS PROMEDIADOS

Variación de la energía de activación, \hat{H}_1 , de la viscosidad dinámica del núcleo

Tesis
Doctoral

Francisco
José Blanco
Rodríguez

1. Introducción
y objetivos

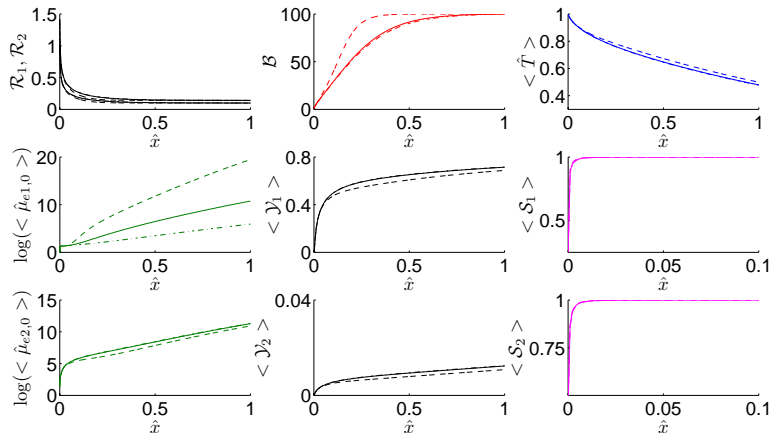
2. Modelado
matemático

3. Modelo 1-D

4. Modelo 2-D

5. Resultados
para fibras
compuestas

6. Conclusiones





COMPARACIÓN DE MODELOS

Modelo 1-D vs. Modelo 2-D

Tesis
Doctoral

Francisco
José Blanco
Rodríguez

1. Introducción
y objetivos

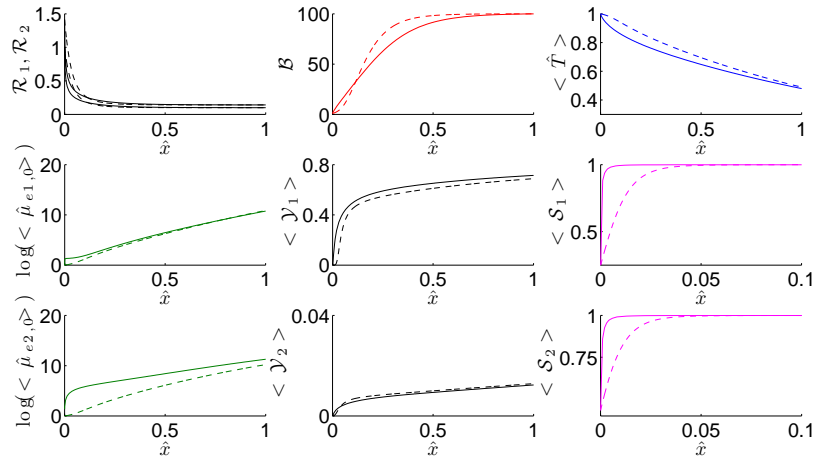
2. Modelado
matemático

3. Modelo 1-D

4. Modelo 2-D

5. Resultados
para fibras
compuestas

6. Conclusiones





Tesis
Doctoral

Francisco
José Blanco
Rodríguez

1. Introducción
y objetivos

2. Modelado
matemático

3. Modelo 1-D

4. Modelo 2-D

5. Resultados
para fibras
compuestas

6. Conclusiones

6. CONCLUSIONS



CONCLUSIONS

Tesis
Doctoral

Francisco
José Blanco
Rodríguez

1. Introducción
y objetivos

2. Modelado
matemático

3. Modelo 1-D

4. Modelo 2-D

5. Resultados
para fibras
compuestas

6. Conclusiones

- ① The two-dimensional model presented is really a **hybrid model**.
- ② **Integro-differential type model**; its results highly dependent on \hat{D}_i and \hat{H}_i .
- ③ **Temperature non-uniformities** exist even for small Biot numbers.
- ④ **Good qualitative agreement** between the 1-D and 2-D models.
- ⑤ **Crystallization** of the compound fibres is **mostly affected by thermal effects** rather than by FIC.
- ⑥ **Solidification** of the compound fibres is mainly **due to the increase in dynamic viscosity**.



CONCLUSIONS

Tesis
Doctoral

Francisco
José Blanco
Rodríguez

1. Introducción
y objetivos

2. Modelado
matemático

3. Modelo 1-D

4. Modelo 2-D

5. Resultados
para fibras
compuestas

6. Conclusiones

- ① The two-dimensional model presented is really a **hybrid model**.
- ② Integro-differential type model; its results highly dependent on \hat{D}_i and \hat{H}_i .
- ③ Temperature non-uniformities exist even for small Biot numbers.
- ④ Good qualitative agreement between the 1-D and 2-D models.
- ⑤ Crystallization of the compound fibres is mostly affected by thermal effects rather than by FIC.
- ⑥ Solidification of the compound fibres is mainly due to the increase in dynamic viscosity.



CONCLUSIONS

Tesis
Doctoral

Francisco
José Blanco
Rodríguez

1. Introducción
y objetivos

2. Modelado
matemático

3. Modelo 1-D

4. Modelo 2-D

5. Resultados
para fibras
compuestas

6. Conclusiones

- ① The two-dimensional model presented is really a **hybrid model**.
- ② **Integro-differential type model**; its results highly dependent on \hat{D}_i and \hat{H}_i .
- ③ Temperature non-uniformities exist even for small Biot numbers.
- ④ Good qualitative agreement between the 1-D and 2-D models.
- ⑤ Crystallization of the compound fibres is mostly affected by thermal effects rather than by FIC.
- ⑥ Solidification of the compound fibres is mainly due to the increase in dynamic viscosity.



CONCLUSIONS

Tesis
Doctoral

Francisco
José Blanco
Rodríguez

1. Introducción
y objetivos

2. Modelado
matemático

3. Modelo 1-D

4. Modelo 2-D

5. Resultados
para fibras
compuestas

6. Conclusiones

- ① The two-dimensional model presented is really a **hybrid model**.
- ② **Integro-differential type model**; its results highly dependent on \hat{D}_i and \hat{H}_i .
- ③ **Temperature non-uniformities** exist even for small Biot numbers.
- ④ Good qualitative agreement between the 1-D and 2-D models.
- ⑤ Crystallization of the compound fibres is **mostly affected by thermal effects rather than by FIC**.
- ⑥ Solidification of the compound fibres is mainly **due to the increase in dynamic viscosity**.



CONCLUSIONS

Tesis
Doctoral

Francisco
José Blanco
Rodríguez

1. Introducción
y objetivos

2. Modelado
matemático

3. Modelo 1-D

4. Modelo 2-D

5. Resultados
para fibras
compuestas

6. Conclusiones

- ① The two-dimensional model presented is really a **hybrid model**.
- ② **Integro-differential type model**; its results highly dependent on \hat{D}_i and \hat{H}_i .
- ③ **Temperature non-uniformities** exist even for small Biot numbers.
- ④ **Good qualitative agreement** between the 1-D and 2-D models.
- ⑤ Crystallization of the compound fibres is **mostly affected by thermal effects rather than by FIC**.
- ⑥ Solidification of the compound fibres is mainly **due to the increase in dynamic viscosity**.



CONCLUSIONS

Tesis
Doctoral

Francisco
José Blanco
Rodríguez

1. Introducción
y objetivos

2. Modelado
matemático

3. Modelo 1-D

4. Modelo 2-D

5. Resultados
para fibras
compuestas

6. Conclusiones

- ① The two-dimensional model presented is really a **hybrid model**.
- ② **Integro-differential type model**; its results highly dependent on \hat{D}_i and \hat{H}_i .
- ③ **Temperature non-uniformities** exist even for small Biot numbers.
- ④ **Good qualitative agreement** between the 1-D and 2-D models.
- ⑤ **Crystallization** of the compound fibres is **mostly affected by thermal effects** rather than by FIC.
- ⑥ **Solidification** of the compound fibres is mainly **due to the increase in dynamic viscosity**.



CONCLUSIONS

Tesis
Doctoral

Francisco
José Blanco
Rodríguez

1. Introducción
y objetivos

2. Modelado
matemático

3. Modelo 1-D

4. Modelo 2-D

5. Resultados
para fibras
compuestas

6. Conclusiones

- ① The two-dimensional model presented is really a **hybrid model**.
- ② **Integro-differential type model**; its results highly dependent on \hat{D}_i and \hat{H}_i .
- ③ **Temperature non-uniformities** exist even for small Biot numbers.
- ④ **Good qualitative agreement** between the 1-D and 2-D models.
- ⑤ **Crystallization** of the compound fibres is **mostly affected by thermal effects** rather than by FIC.
- ⑥ **Solidification** of the compound fibres is mainly **due to the increase in dynamic viscosity**.



CONTRIBUTIONS

Tesis Doctoral

Francisco
José Blanco
Rodríguez

1. Introducción
y objetivos

2. Modelado
matemático

3. Modelo 1-D

4. Modelo 2-D

5. Resultados
para fibras
compuestas

6. Conclusiones

- ① Extension of the existing one-dimensional model using a diagonal and traceless tensor for the molecular orientation.
- ② Numerical implementation of the above model using MATLAB®.
- ③ Development of a hybrid two-dimensional model based on the one-dimensional equations for geometry and axial velocity.
- ④ Implementation on MATLAB® of an iterative FDM based on a mapping transformation.
- ⑤ Determining the most influential parameters on the melt spinning process by an extensive parametric study.
- ⑥ Comparison extensively between the results of both models:
 - Same qualitative trends.
 - Different (one-sign vs. two-sign) curvature velocity profile, under certain conditions.
 - Large differences may exist near the maximum swell section.
 - Non-uniformities temperature profile at the take-up point predicted by the 2-D model.



CONTRIBUTIONS

Tesis
Doctoral

Francisco
José Blanco
Rodríguez

1. Introducción
y objetivos

2. Modelado
matemático

3. Modelo 1-D

4. Modelo 2-D

5. Resultados
para fibras
compuestas

6. Conclusiones

- ① Extension of the existing one-dimensional model using a diagonal and traceless tensor for the molecular orientation.
- ② Numerical implementation of the above model using MATLAB®.
- ③ Development of a hybrid two-dimensional model based on the one-dimensional equations for geometry and axial velocity.
- ④ Implementation on MATLAB® of an iterative FDM based on a mapping transformation.
- ⑤ Determining the most influential parameters on the melt spinning process by an extensive parametric study.
- ⑥ Comparison extensively between the results of both models:
 - Same qualitative trends.
 - Different (one-sign vs. two-sign) curvature velocity profile, under certain conditions.
 - Large differences may exist near the maximum swell section.
 - Non-uniformities temperature profile at the take-up point predicted by the 2-D model.



CONTRIBUTIONS

Tesis
Doctoral

Francisco
José Blanco
Rodríguez

1. Introducción
y objetivos

2. Modelado
matemático

3. Modelo 1-D

4. Modelo 2-D

5. Resultados
para fibras
compuestas

6. Conclusiones

- ① Extension of the existing one-dimensional model using a diagonal and traceless tensor for the molecular orientation.
- ② Numerical implementation of the above model using MATLAB®.
- ③ Development of a hybrid two-dimensional model based on the one-dimensional equations for geometry and axial velocity.
- ④ Implementation on MATLAB® of an iterative FDM based on a mapping transformation.
- ⑤ Determining the most influential parameters on the melt spinning process by an extensive parametric study.
- ⑥ Comparison extensively between the results of both models:
 - Same qualitative trends.
 - Different (one-sign vs. two-sign) curvature velocity profile, under certain conditions.
 - Large differences may exist near the maximum swell section.
 - Non-uniformities temperature profile at the take-up point predicted by the 2-D model.



CONTRIBUTIONS

Tesis
Doctoral

Francisco
José Blanco
Rodríguez

1. Introducción
y objetivos

2. Modelado
matemático

3. Modelo 1-D

4. Modelo 2-D

5. Resultados
para fibras
compuestas

6. Conclusiones

- ① Extension of the existing one-dimensional model using a diagonal and traceless tensor for the molecular orientation.
- ② Numerical implementation of the above model using MATLAB®.
- ③ Development of a hybrid two-dimensional model based on the one-dimensional equations for geometry and axial velocity.
- ④ Implementation on MATLAB® of an iterative FDM based on a mapping transformation.
- ⑤ Determining the most influential parameters on the melt spinning process by an extensive parametric study.
- ⑥ Comparison extensively between the results of both models:
 - Same qualitative trends.
 - Different (one-sign vs. two-sign) curvature velocity profile, under certain conditions.
 - Large differences may exist near the maximum swell section.
 - Non-uniformities temperature profile at the take-up point predicted by the 2-D model.



CONTRIBUTIONS

Tesis
Doctoral

Francisco
José Blanco
Rodríguez

1. Introducción
y objetivos

2. Modelado
matemático

3. Modelo 1-D

4. Modelo 2-D

5. Resultados
para fibras
compuestas

6. Conclusiones

- ① Extension of the existing one-dimensional model using a diagonal and traceless tensor for the molecular orientation.
- ② Numerical implementation of the above model using MATLAB®.
- ③ Development of a hybrid two-dimensional model based on the one-dimensional equations for geometry and axial velocity.
- ④ Implementation on MATLAB® of an iterative FDM based on a mapping transformation.
- ⑤ Determining the most influential parameters on the melt spinning process by an extensive parametric study.
- ⑥ Comparison extensively between the results of both models:
 - Same qualitative trends.
 - Different (one-sign vs. two-sign) curvature velocity profile, under certain conditions.
 - Large differences may exist near the maximum swell section.
 - Non-uniformities temperature profile at the take-up point predicted by the 2-D model.



CONTRIBUTIONS

Tesis
Doctoral

Francisco
José Blanco
Rodríguez

1. Introducción
y objetivos

2. Modelado
matemático

3. Modelo 1-D

4. Modelo 2-D

5. Resultados
para fibras
compuestas

6. Conclusiones

- ① Extension of the existing one-dimensional model using a diagonal and traceless tensor for the molecular orientation.
- ② Numerical implementation of the above model using MATLAB®.
- ③ Development of a hybrid two-dimensional model based on the one-dimensional equations for geometry and axial velocity.
- ④ Implementation on MATLAB® of an iterative FDM based on a mapping transformation.
- ⑤ Determining the most influential parameters on the melt spinning process by an extensive parametric study.
- ⑥ Comparison extensively between the results of both models:
 - Same qualitative trends.
 - Different (one-sign vs. two-sign) curvature velocity profile, under certain conditions.
 - Large differences may exist near the maximum swell section.
 - Non-uniformities temperature profile at the take-up point predicted by the 2-D model.



CONTRIBUTIONS

Tesis
Doctoral

Francisco
José Blanco
Rodríguez

1. Introducción
y objetivos

2. Modelado
matemático

3. Modelo 1-D

4. Modelo 2-D

5. Resultados
para fibras
compuestas

6. Conclusiones

- ① Extension of the existing one-dimensional model using a diagonal and traceless tensor for the molecular orientation.
- ② Numerical implementation of the above model using MATLAB®.
- ③ Development of a hybrid two-dimensional model based on the one-dimensional equations for geometry and axial velocity.
- ④ Implementation on MATLAB® of an iterative FDM based on a mapping transformation.
- ⑤ Determining the most influential parameters on the melt spinning process by an extensive parametric study.
- ⑥ Comparison extensively between the results of both models:
 - Same qualitative trends.
 - Different (one-sign vs. two-sign) curvature velocity profile, under certain conditions.
 - Large differences may exist near the maximum swell section.
 - Non-uniformities temperature profile at the take-up point predicted by the 2-D model.



SUGGESTIONS FOR FUTURE WORK

Tesis
Doctoral

Francisco
José Blanco
Rodríguez

1. Introducción
y objetivos

2. Modelado
matemático

3. Modelo 1-D

4. Modelo 2-D

5. Resultados
para fibras
compuestas

6. Conclusiones

- ① Development of a fully two-dimensional model of the melt spinning of non-isothermal single-component single-phase semi-crystalline jets.
- ② Development of a fully two-dimensional model of the melt spinning of non-isothermal bi-component solid and hollow compound single-phase semi-crystalline jets.
- ③ Improvement the model by **accounting for the effect of air drag and latent heat of crystallization**. Not important for moderate draw ratios.
- ④ Development and validation of a symmetric but **non-diagonal molecular orientation tensor**.



SUGGESTIONS FOR FUTURE WORK

Tesis
Doctoral

Francisco
José Blanco
Rodríguez

1. Introducción
y objetivos

2. Modelado
matemático

3. Modelo 1-D

4. Modelo 2-D

5. Resultados
para fibras
compuestas

6. Conclusiones

- ① Development of a fully two-dimensional model of the melt spinning of non-isothermal single-component single-phase semi-crystalline jets.
- ② Development of a fully two-dimensional model of the melt spinning of non-isothermal bi-component solid and hollow compound single-phase semi-crystalline jets.
- ③ Improvement the model by **accounting for the effect of air drag and latent heat of crystallization**. Not important for moderate draw ratios.
- ④ Development and validation of a symmetric but **non-diagonal molecular orientation tensor**.



SUGGESTIONS FOR FUTURE WORK

Tesis
Doctoral

Francisco
José Blanco
Rodríguez

1. Introducción
y objetivos

2. Modelado
matemático

3. Modelo 1-D

4. Modelo 2-D

5. Resultados
para fibras
compuestas

6. Conclusiones

- ① Development of a fully two-dimensional model of the melt spinning of non-isothermal single-component single-phase semi-crystalline jets.
- ② Development of a fully two-dimensional model of the melt spinning of non-isothermal bi-component solid and hollow compound single-phase semi-crystalline jets.
- ③ Improvement the model by **accounting for the effect of air drag and latent heat of crystallization**. Not important for moderate draw ratios.
- ④ Development and validation of a symmetric but **non-diagonal molecular orientation tensor**.



SUGGESTIONS FOR FUTURE WORK

Tesis
Doctoral

Francisco
José Blanco
Rodríguez

1. Introducción
y objetivos

2. Modelado
matemático

3. Modelo 1-D

4. Modelo 2-D

5. Resultados
para fibras
compuestas

6. Conclusiones

- ① Development of a fully two-dimensional model of the melt spinning of non-isothermal single-component single-phase semi-crystalline jets.
- ② Development of a fully two-dimensional model of the melt spinning of non-isothermal bi-component solid and hollow compound single-phase semi-crystalline jets.
- ③ Improvement the model by **accounting for the effect of air drag and latent heat of crystallization**. Not important for moderate draw ratios.
- ④ Development and validation of a symmetric but **non-diagonal molecular orientation tensor**.



SUGGESTIONS FOR FUTURE WORK

Tesis
Doctoral

Francisco
José Blanco
Rodríguez

1. Introducción
y objetivos

2. Modelado
matemático

3. Modelo 1-D

4. Modelo 2-D

5. Resultados
para fibras
compuestas

6. Conclusiones

- ① Development of a fully two-dimensional model of the melt spinning of non-isothermal single-component single-phase semi-crystalline jets.
- ② Development of a fully two-dimensional model of the melt spinning of non-isothermal bi-component solid and hollow compound single-phase semi-crystalline jets.
- ③ Improvement the model by **accounting for the effect of air drag and latent heat of crystallization**. Not important for moderate draw ratios.
- ④ Development and validation of a symmetric but **non-diagonal molecular orientation tensor**.



ACERCA DE...

Tesis
Doctoral

Francisco
José Blanco
Rodríguez

1. Introducción
y objetivos

2. Modelado
matemático

3. Modelo 1-D

4. Modelo 2-D

5. Resultados
para fibras
compuestas

6. Conclusiones

Francisco José Blanco Rodríguez

e-mail: f jblanco@lcc.uma.es

website: <http://www.lcc.uma.es/~fjblanco>

Documento creado con la clase BEAMER del procesador de
texto L^AT_EX.

GRACIAS POR SU ATENCIÓN